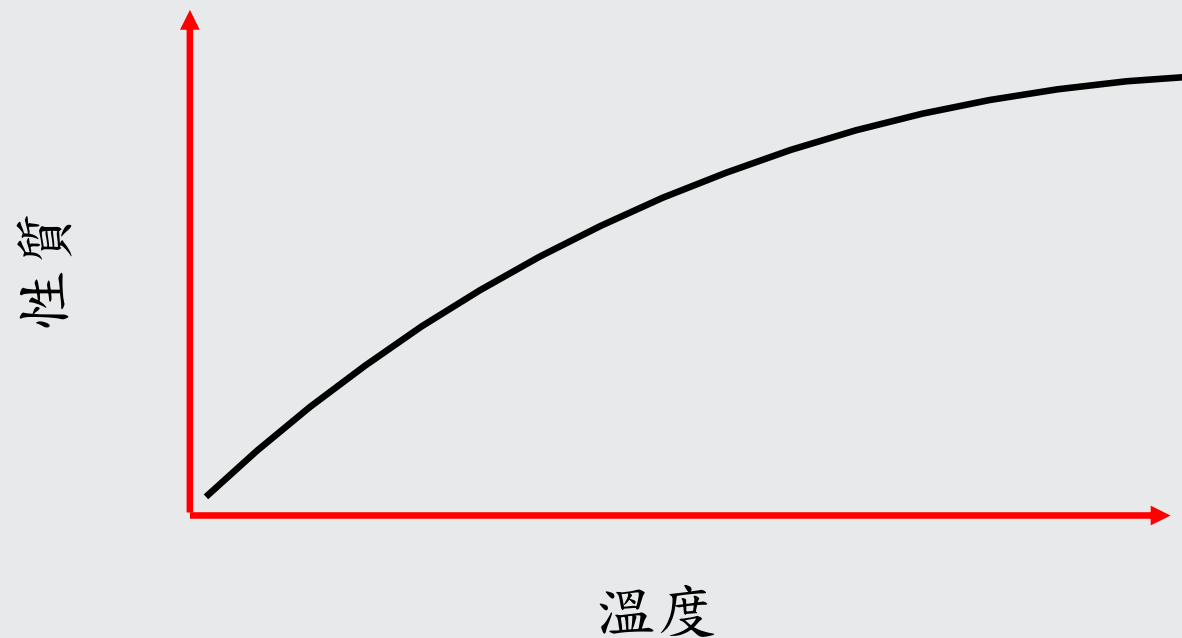


DSC 204 *F1 Phoenix*®

Features and Capability

熱分析

搜集物質的特性隨著溫度變化所相應的函數關係的技術稱為“熱分析”。

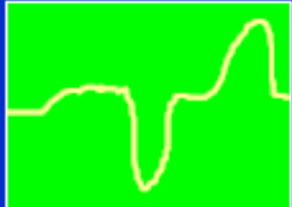
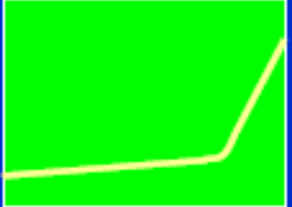
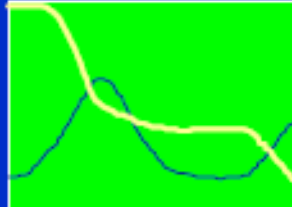



熱分析技術

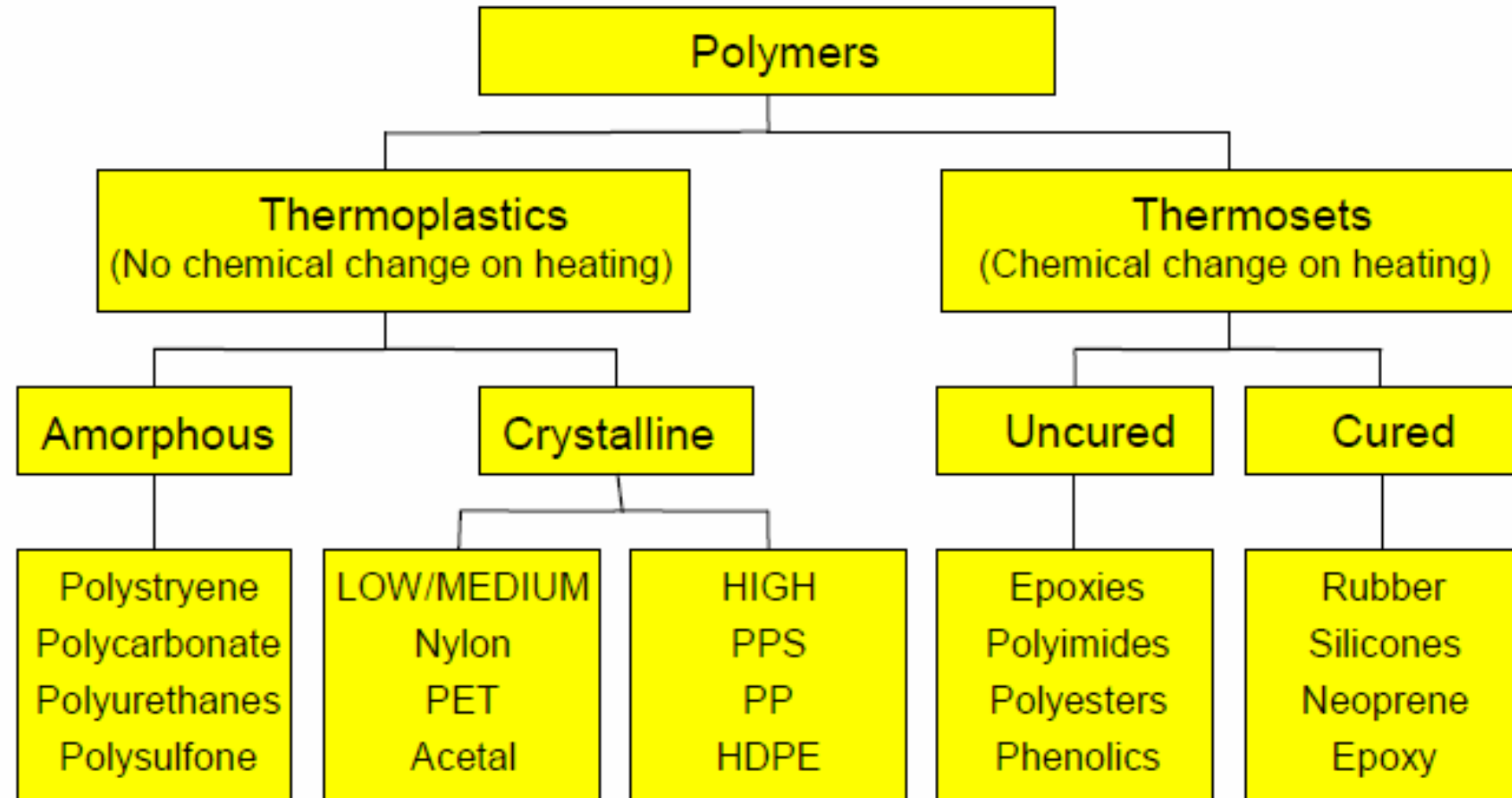
- 示差掃描量熱儀(Differential Scanning Calorimetry DSC)
- 示差熱分析儀(Differential Thermal Analysis, DTA)
- 熱重分析儀(Thermogravimetric Analysis, TGA)
- 高解析度熱分析儀(High-Resolution TGA™)
- 示差掃描量熱-熱重分析聯用(Simultaneous DSC-TGA)
- 熱機械分析儀(Thermomechanical Analysis TMA)
- 動態熱機械分析儀(Dynamic Mechanical Analysis DMA)
- 介電性質分析(Dielectric Analysis DEA)
- 微熱分析儀-原子力顯微鏡與熱分析技術聯用- uTA
(Micro TA - Atomic Force Microscope & TA)™

Thermal Analysis Techniques



DSC 	Heat flow vs. Temp <ul style="list-style-type: none">- Tm, Tc, Tg- ΔH, curing time, curing degree- Reaction rate, kinetics
TMA 	Dimensional Change vs. Temp <ul style="list-style-type: none">- CTE- Tg- Softening point
DMA 	Viscoelastic property vs. Temp <ul style="list-style-type: none">- Storage/Loss/Complex Modulus (E', E'', E^*)- $\tan \delta$- Viscosity and master curve
TGA 	Weight Loss vs. Temp <ul style="list-style-type: none">- Decomposition temperature- %Wt percentage- Oxidative time

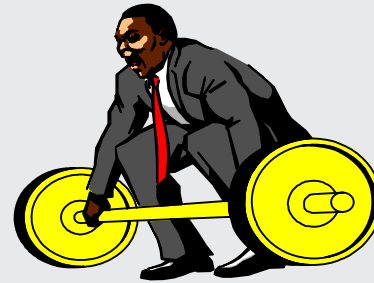
Classifications of Polymers



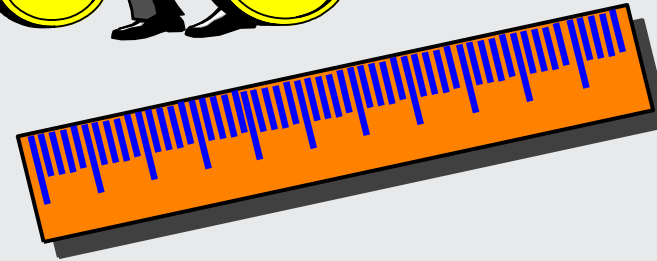
常用熱分析技術量測的物理特性



- 重量 (Weight) - TGA



- 尺度 (Length) - TMA



- 熱流 (Heat Flow) - DSC



- 模量 (Modulus) - DMA



Differential Scanning Calorimeter (示差掃描量熱儀) (DSC)

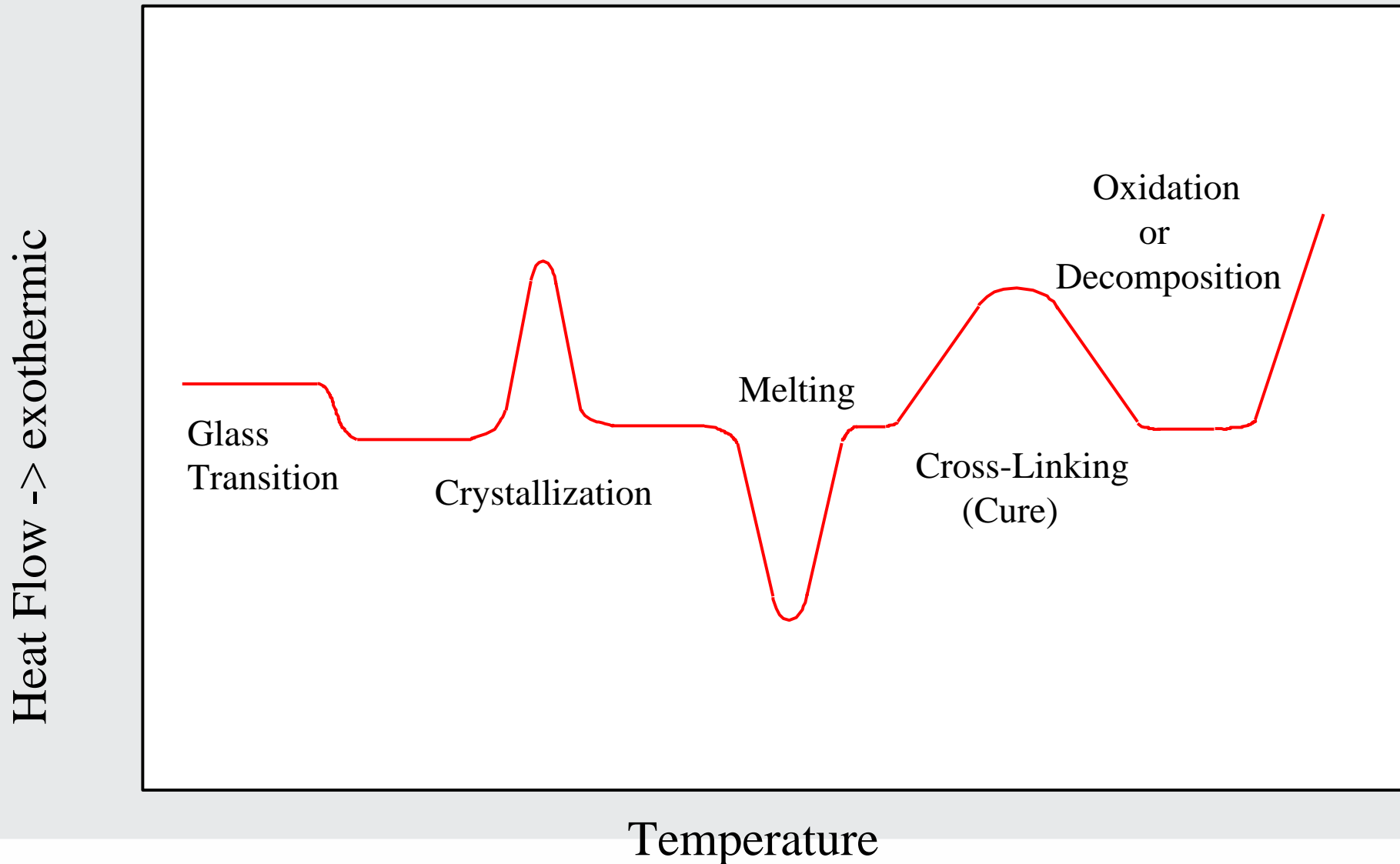
在程式溫度（升／降／恆溫及其組合）過程中，測量樣品與參考物之間的**熱流差**，以表徵所有與熱效應有關的物理變化和化學變化。

Applications of DSC



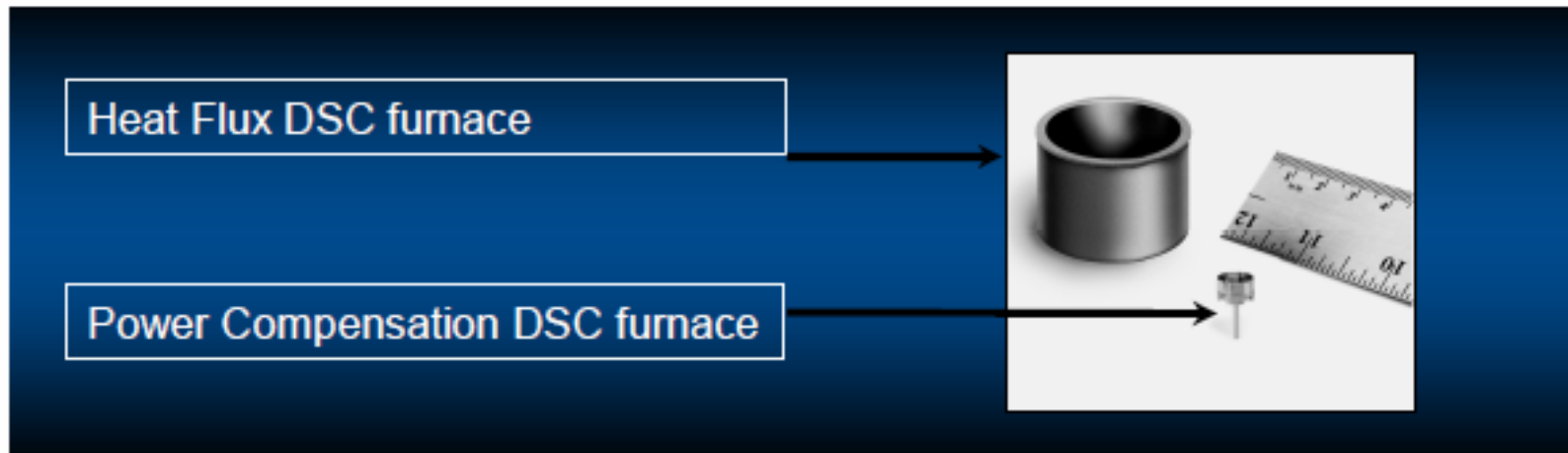
相變化點	Phase Transition	熔融熱	ΔH
玻璃轉移溫度	Tg	反應熱	ΔH
熔點	Melting point	活化能	Ea
冷結晶溫度	Crystal Temperature	氧化導引時間	O.I.T.
降溫結晶溫度	Cold Crystal Temperature	反應動力學	Dynamic
結晶度	Crystallinity	交連	Curing
結晶熱	Crystal Energy	純度	Purity
結晶半週期	Crystal Period	比熱	Cp

DSC: Typical DSC Transitions

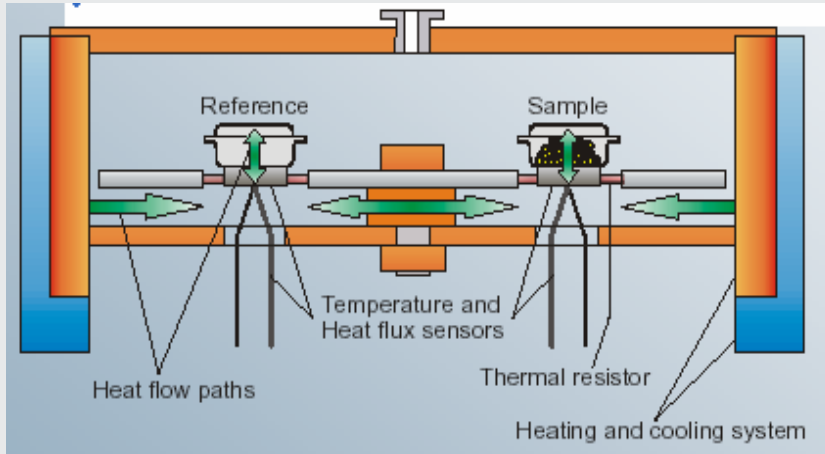


The design principles of DSC

- *Heat Flux DSC*
- *Power Compensation DSC*



Heat Flux DSC function principle

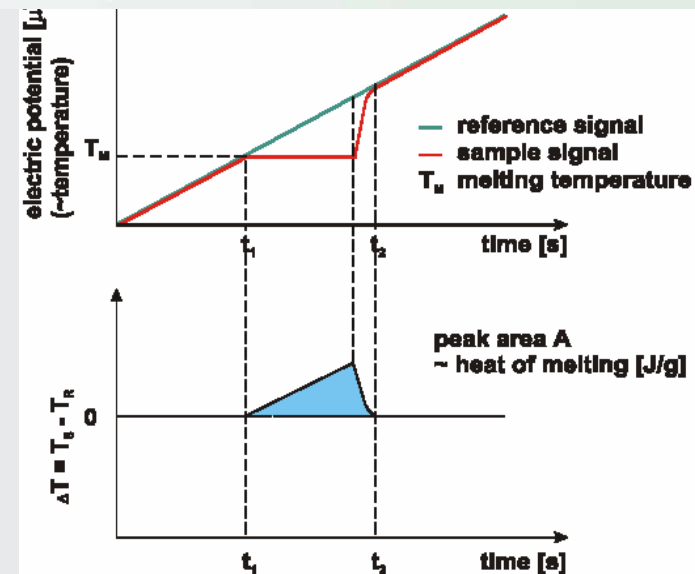
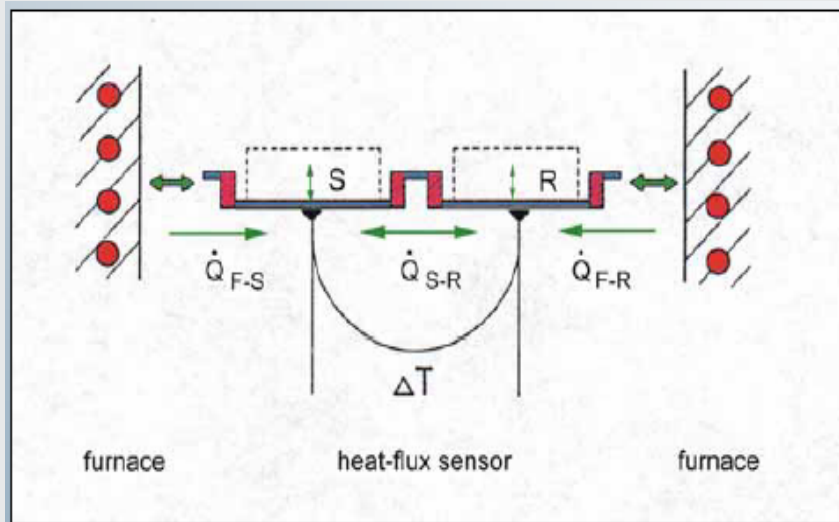


• 樣品熱效應引起參比與樣品之間的熱流不平衡

$$Q = \lambda A \frac{\Delta T}{\Delta X}$$

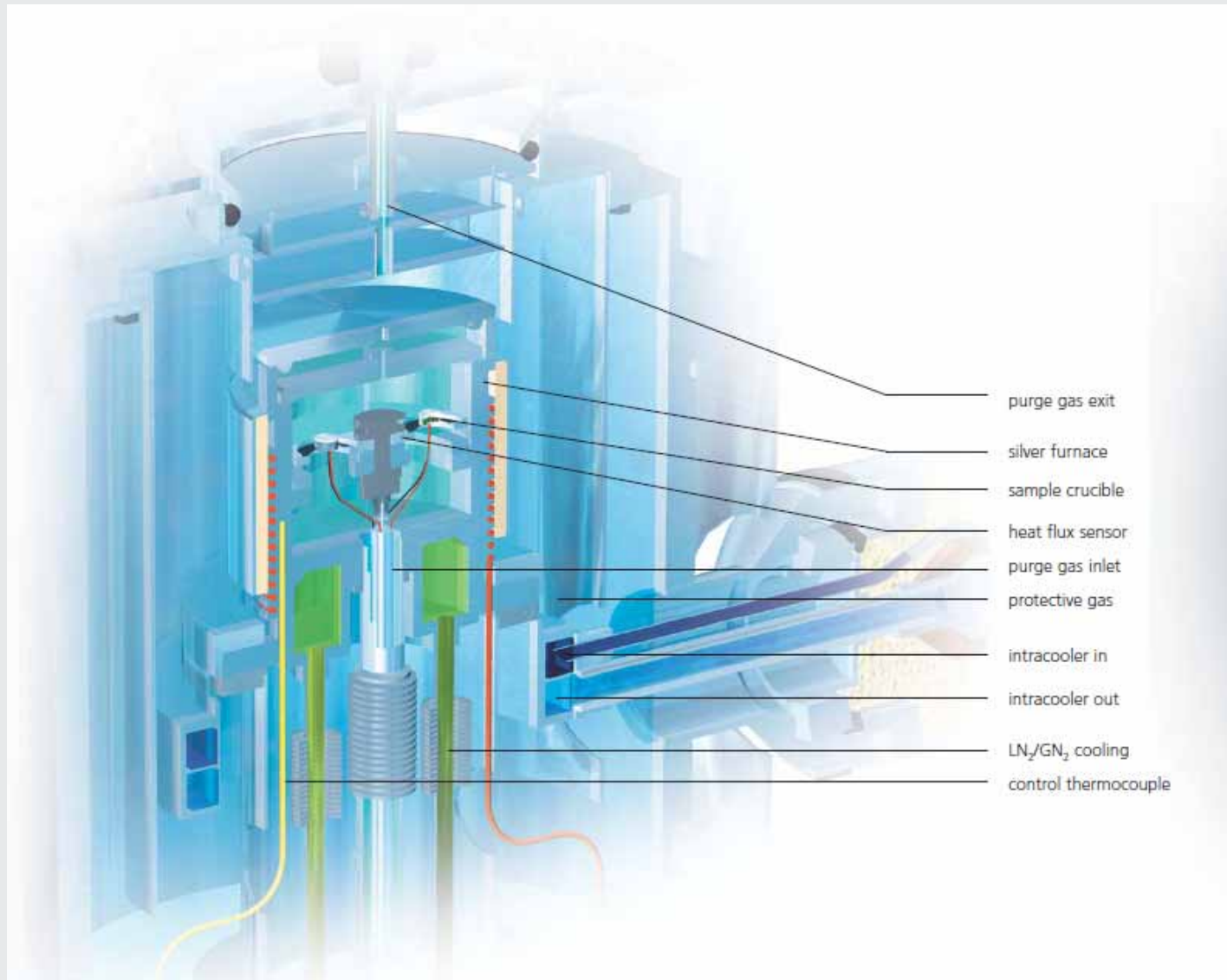
• 由於熱阻的存在，參比與樣品之間的溫度差 (ΔT) 與熱流差成一定的比例關係。將 ΔT 對時間積分，可得到熱焓：

$$\Delta H = K \int_{0,t} \Delta T dt \quad K = f(\text{溫度, 熱阻, 材料性質, ...})$$



DSC signal (first order transition)

DSC 204 *F1 Phoenix*[®], Schematic Design



Exchangeable DSC Sensor Types



new τ -Sensor

-180 ... 700 °C

short response time

silver sensor

τ - 感測器，回應速度最快，具有非常理想的峰分離能力。

μ - 感測器，靈敏度為普通感測器的十幾倍。

μ -Sensor

-150 ... 400 °C

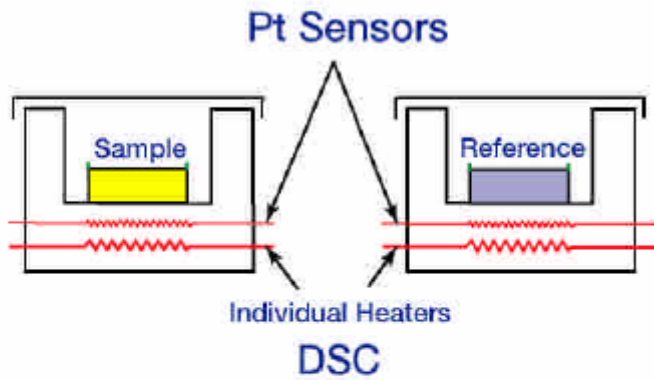
high sensitivity

silicon sensor

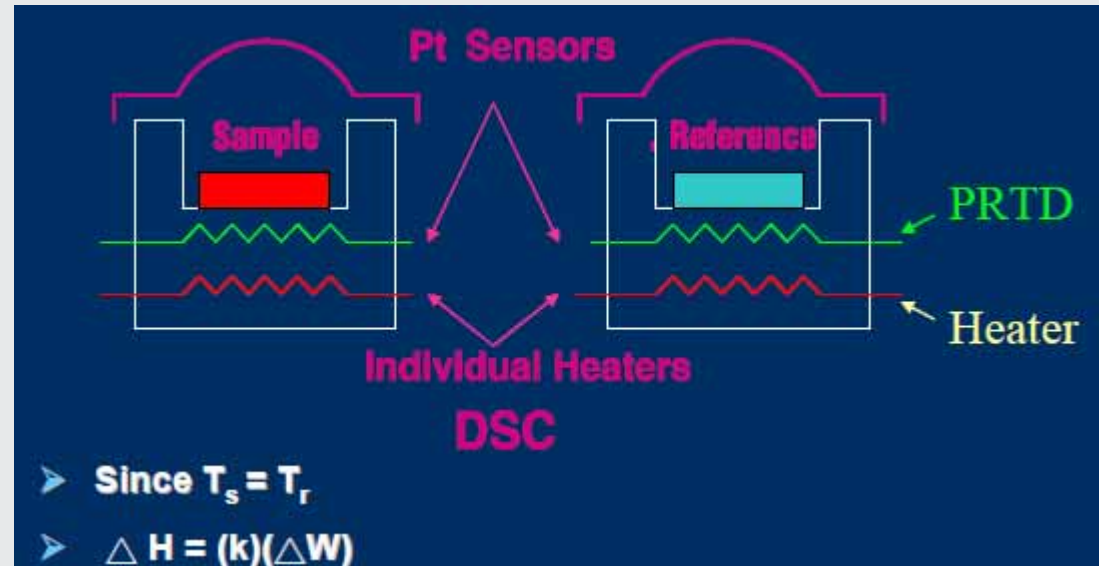


Power Compensation DSC function principle

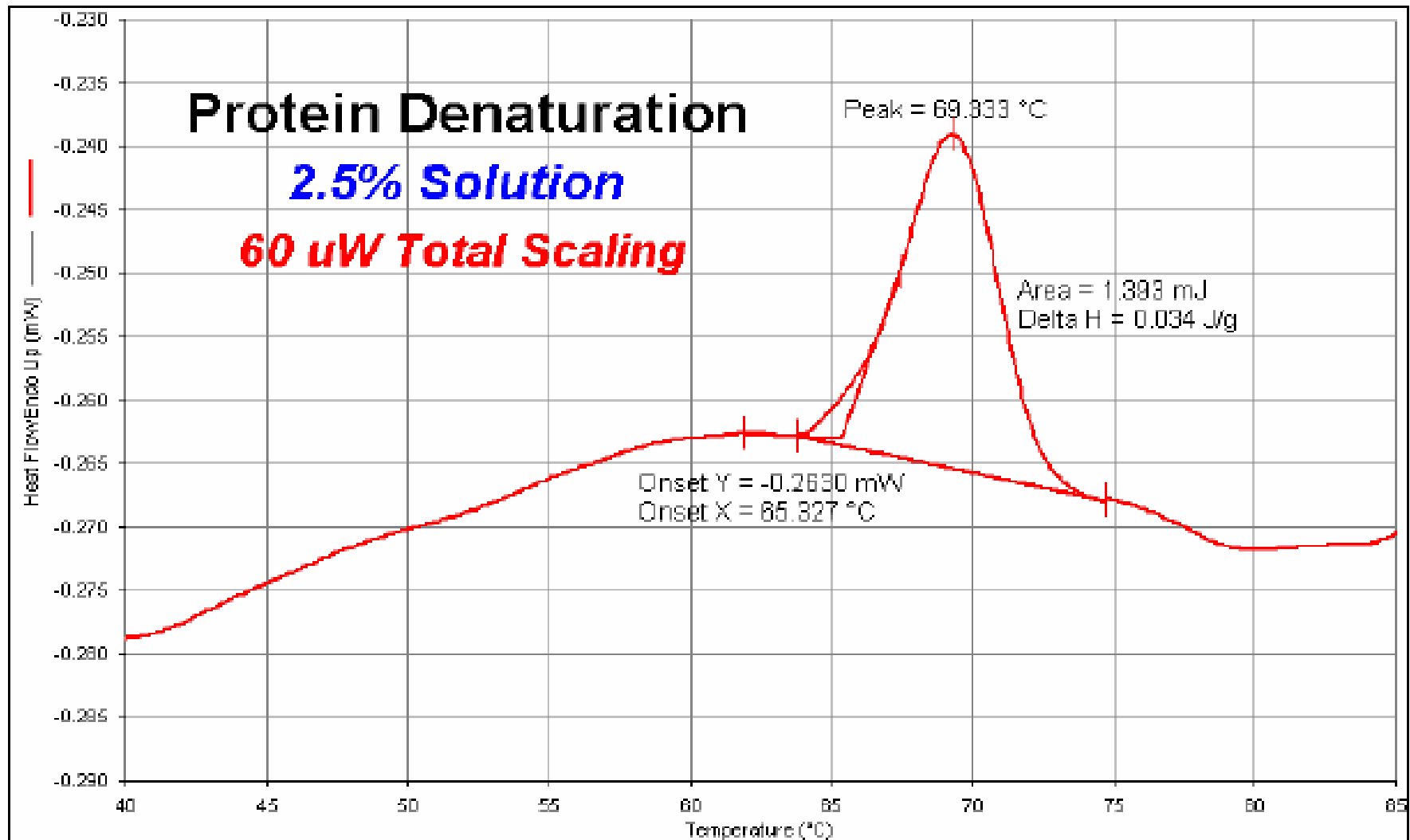
熱補償式 Power Compensation DSC



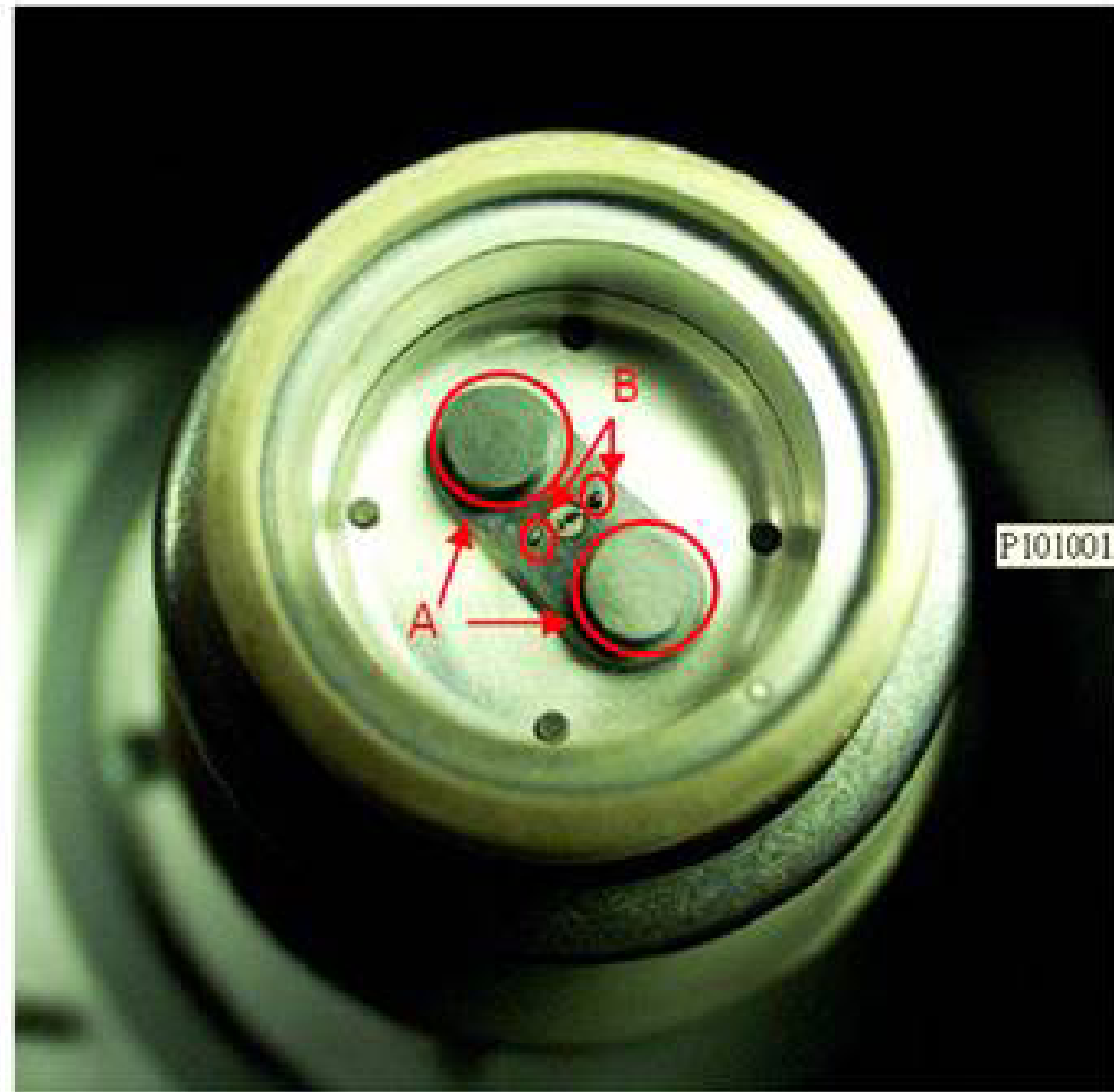
- Measure ΔH directly
- simple mathematical operations
- smaller furnace



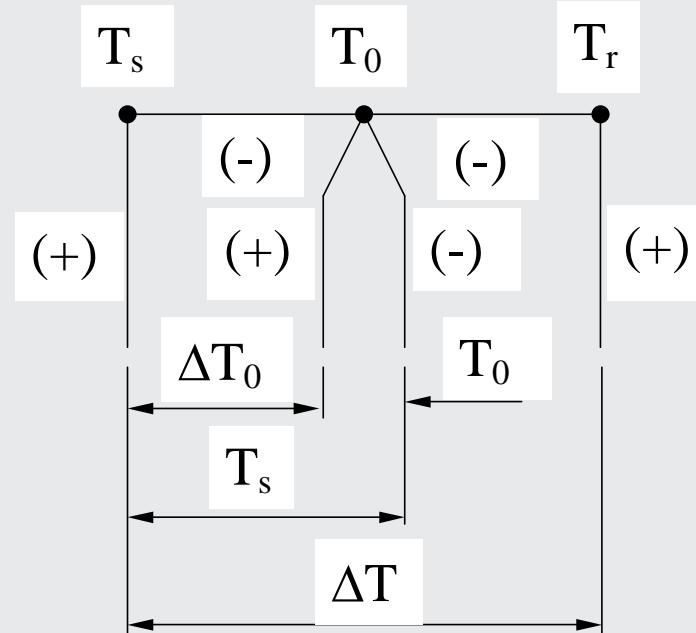
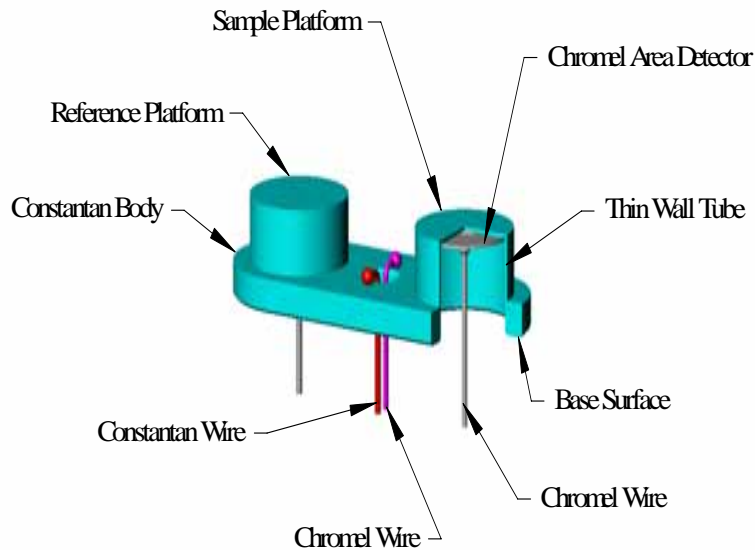
Protein Denaturation 蛋白質變質測試



TA 公司 - Tzero DSC Cell 構造



Tzero Sensor Structure / Thermocouple Circuit



Constantan (-)

Chromel (+)

T_0 is used for temperature control

$$T_s = T_0 - \Delta T_0$$

DSC 204 *F1 Phoenix*[®], Schematic Design



***DSC 204 F1 Phoenix*[®]**



***DSC 204 F1 Phoenix*[®] - ASC**

DSC 204 F1 Auto Sampler



DSC 204 F1 Phoenix[®]



Technical data

- Temperature range: -180 ... 700°C
- Heating and cooling rates: 0.001 ... 100 K/min
- DSC detection limit: 0.1 μ W (depending on the sensor type)
- Exchangeable sensors: fast τ -sensor, high sensitive μ -sensor
- Several cooling devices:
 - compressed air (to RT)
 - Intracooler (-85 ... 600°C)
 - liquid nitrogen (-180 ... 700°C)
- Electronically controlled gas flow for purge and protective gases
- Specific heat measurements possible (software option)
- Advanced Software available: Thermokinetics[®], Peak Separation, Purity Determination, ChemReo[®], etc.
- Automatic Sample Changer (ASC) for 64 samples and all crucibles

DSC 204 F1 *Phoenix*[®]



Already Prepared for Different Cooling Devices

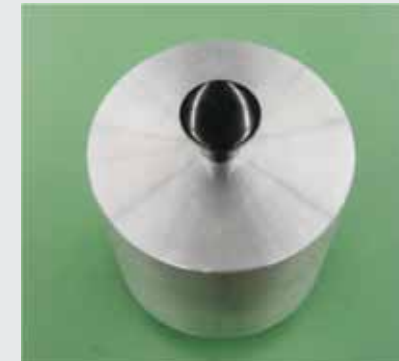
Liquid / gaseous nitrogen cooling

(LN₂ / GN₂)

-180 ... 700 °C



Aluminium cooling body



Intra-Cooler

-85 ... 600 °C



Quench Cooling Can

Compressed air cooling

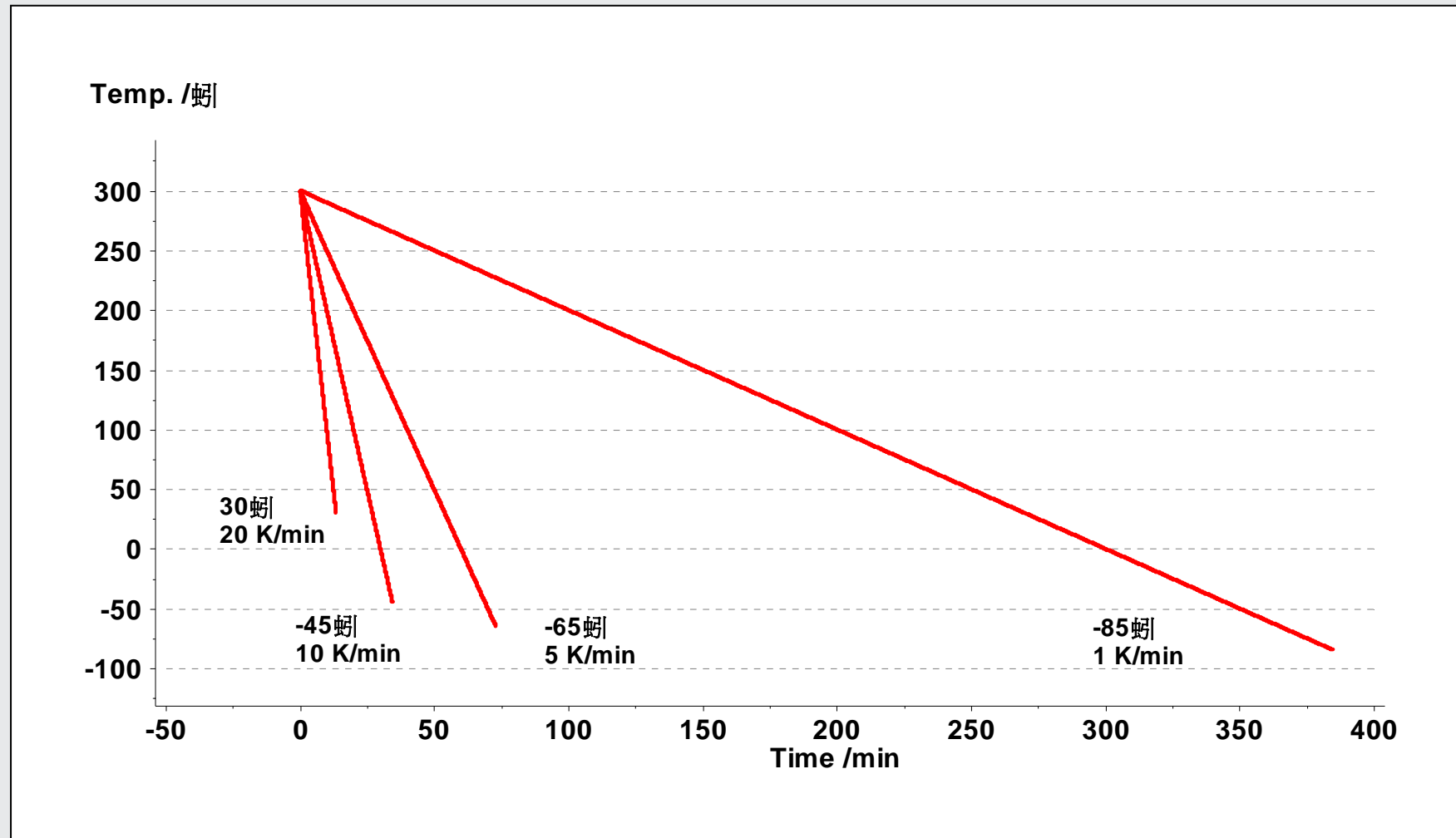
RT ... 700 °C



Compressed air



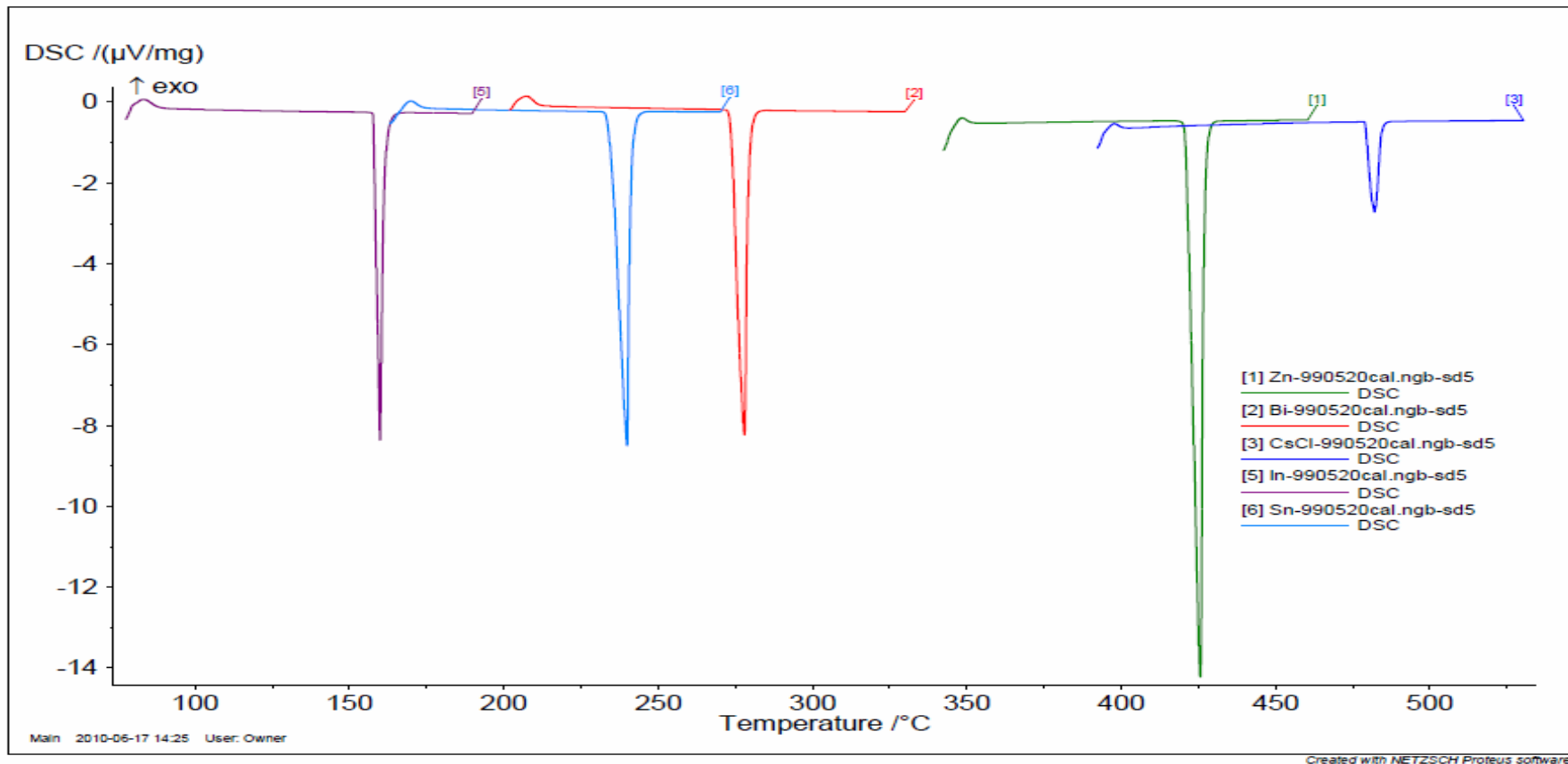
DSC 204 *F1 Phoenix*[®], Intracooler



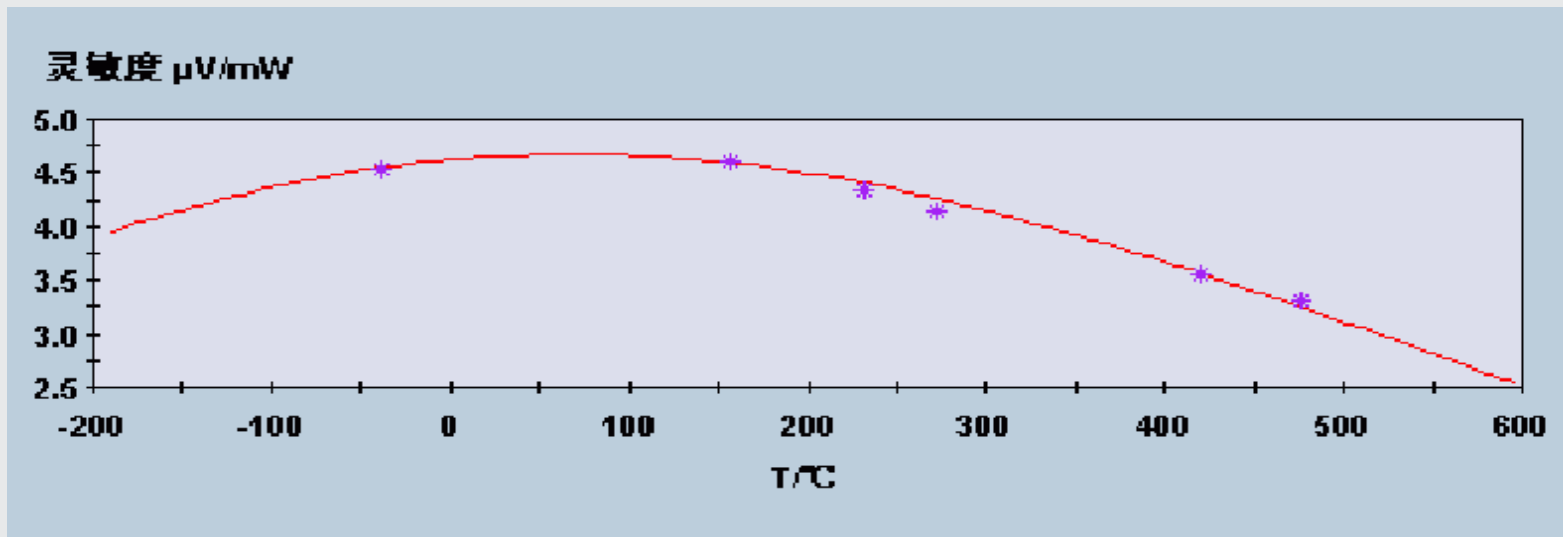
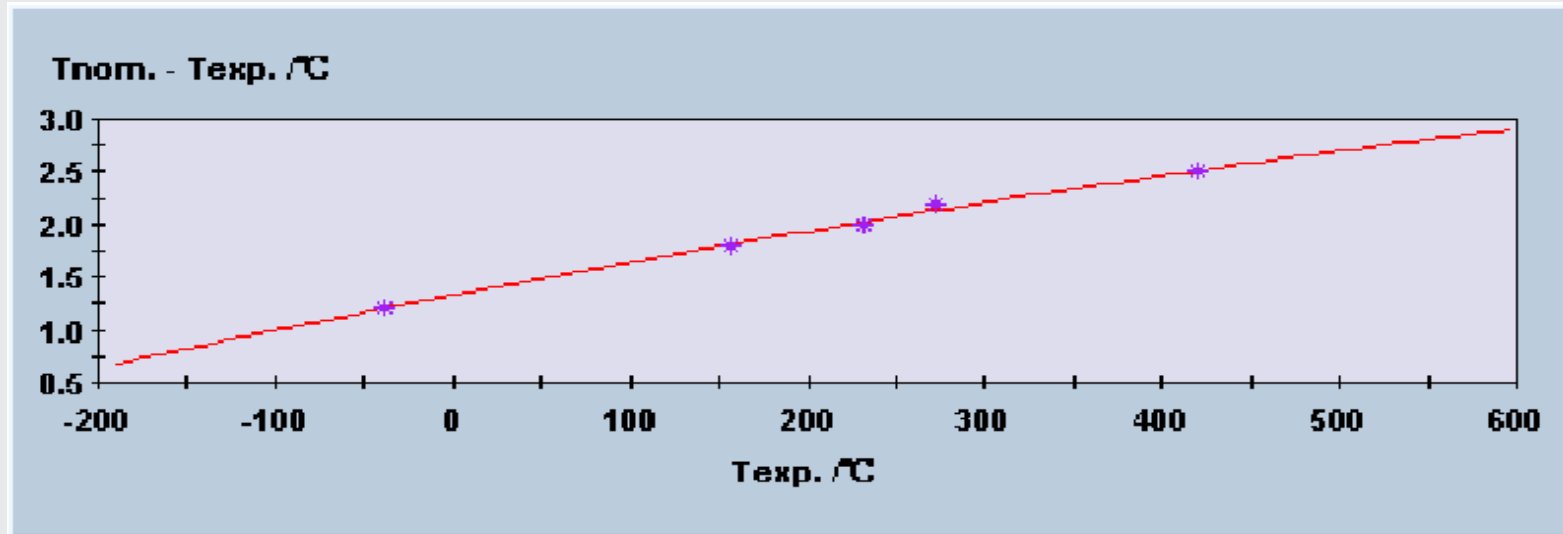
Netzsch DSC 的特點

- * 德國精密工藝製造;
- * 隱藏式爐體設計,不受外界環境影響.
- * 熱流靈敏度高, 0.1 uW
- * 基線穩定性, 10 uW
- * 配置8點溫度校正, 溫度準確性高, 正確性 +/- 0.1°C, 精確性 +/- 0.01°C
C6H12, Hg, KNO3, In, Bi, CsCl, Sn, Zn
- * 爐體可長時間於 600°C 恆溫
- * 爐體氣密性和熱絕緣性佳
- * 整體成形的輕質銀鑄造, 不容易腐蝕, 使用壽命長
- * 三路氣體設計, 保護爐體, 污染清除容易, 使用方便(選件MFC,質量流量控制)
- * 樣品自動進樣器(選配件)
- * 坩鍋多樣性: 固體, 液體, 高壓坩鍋, 等, 充分滿足需求
- * 因為污染清除容易, 爐體不會腐蝕, 維修成本低廉
- * DSC F1 真空度高, 可以和 FTIR 或 Mass 連用.

DSC Calibration Curves



DSC 溫度與熱焓的校正



DSC 溫度與熱焓實際量測與理論值建檔



Sensitivity Calculation - NETZSCH DSC 200 F3 on 414/6 via USB

Heating Rate: 10 Atmosphere: N2 Crucible: Pan Al, open

Furnace: Std DSC 200F3, TC: E Sample Carrier: DSC 200F3 t-sensor, TC: E

	Substance	Temp. °C	理論 Enthalpy J/g	實際 Peak Area uV*mg	Sensit.Exp uV/mW	權重 Mathem. Weighting	結果 Sensit. Calc. uV/mW
1	C6H12	-87.0	-79.400	-79.400	1.000	1.000	1.000
2	C10H16	-64.7	-22.300	-22.300	1.000	1.000	1.000
3	Hg	-38.8	-11.400	-11.400	1.000	1.000	1.000
4	H2O	0.0	-333.400	-333.400	1.000	1.000	1.000
5	Ga	29.8	-80.000	-80.000	1.000	1.000	1.000
6	Biphenyl	69.2	-120.500	-120.500	1.000	1.000	1.000
7	Benzoic acid	122.4	-147.400	-147.400	1.000	1.000	1.000
8	KNO3	128.7	-50.000	-50.000	1.000	1.000	1.000
9	Indium	156.6	-28.600	-28.600	1.000	10.000	1.000
10	Ge	184.2	-26.600	-26.600	1.000	1.000	1.000

Remark:
Temperature range: -170.0 °C - 605.0 °C

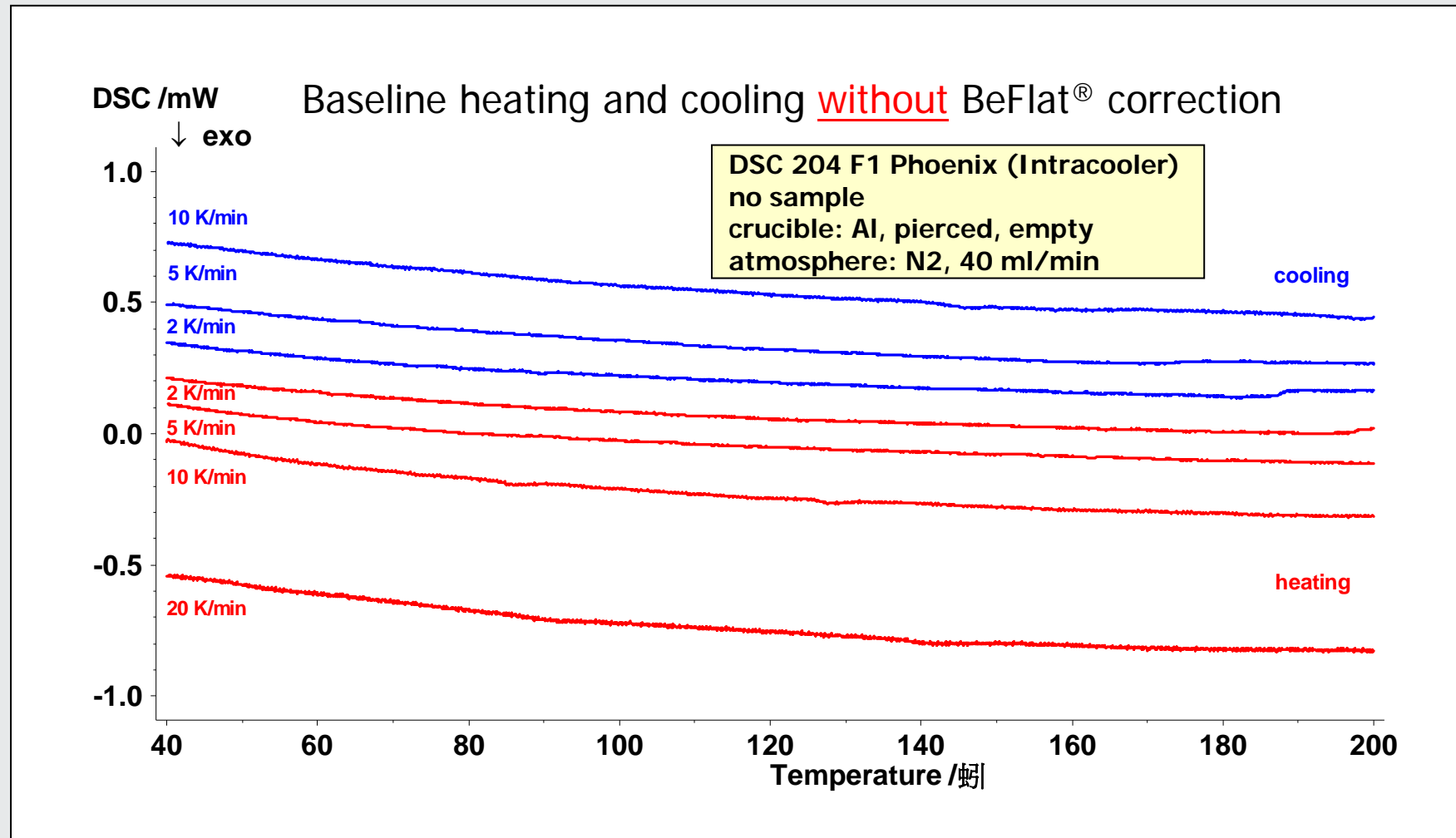
Buttons: Sort, Coefficient, Calculate, Graph, Print, Add, Insert, Delete, OK, Cancel, Help

DSC 溫度與熱焓的理論值

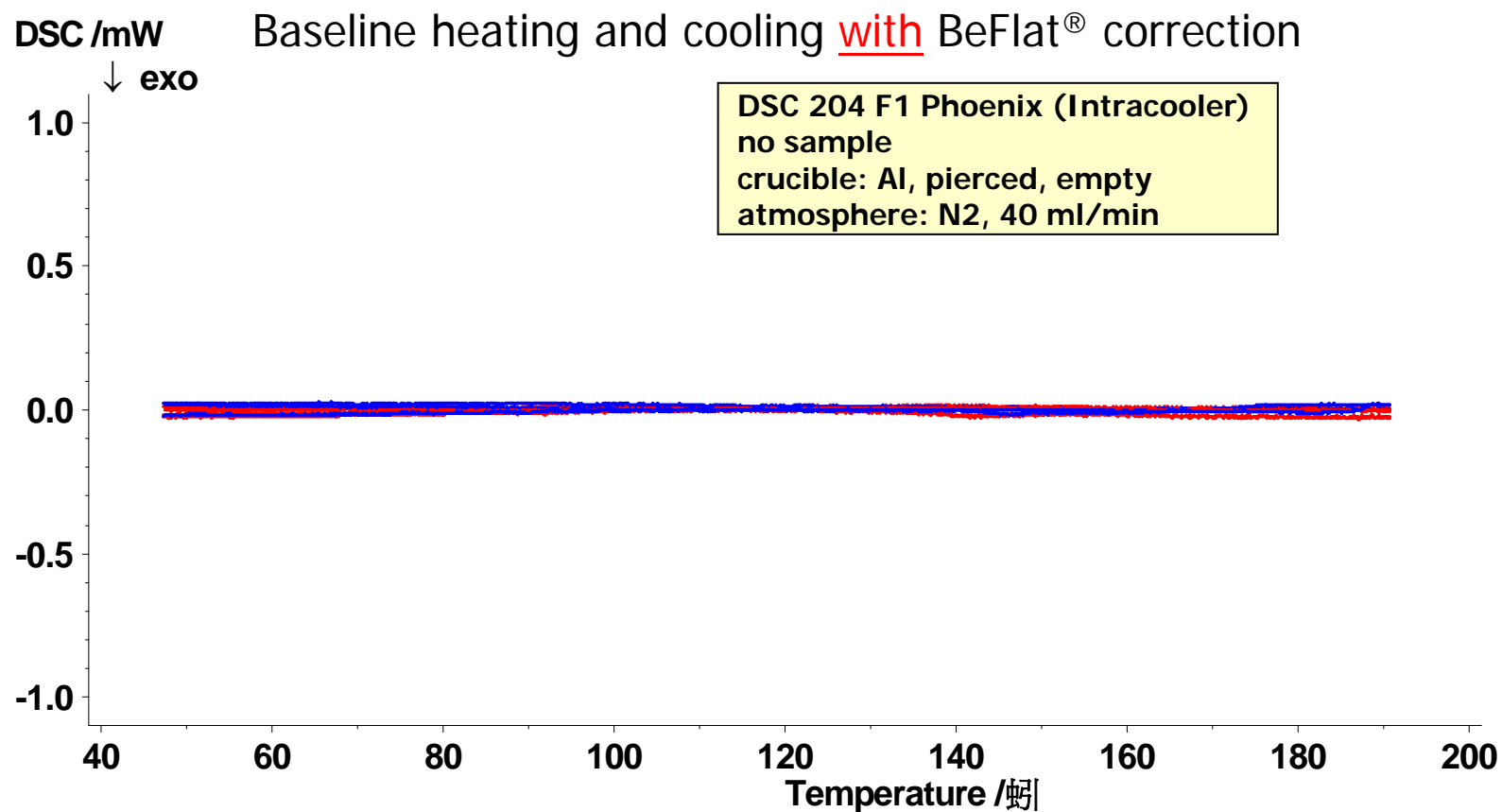


標準物質	理論熔點 °C	理論熔融熱焓 J/g
C6H12	-87	-79.4
Hg	-38.8	-11.44
KNO3	127.7	-50.24
In	156.6	-28.6
Sn	231.9	-60.5
Bi	271.4	-53.3
Zn	419.5	-107.5
CsCl	476	-17.22

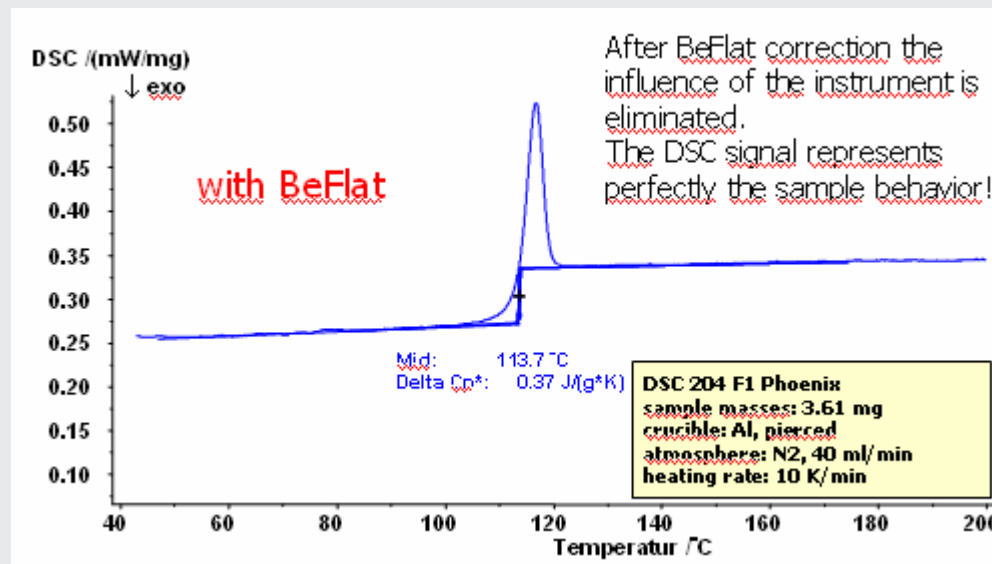
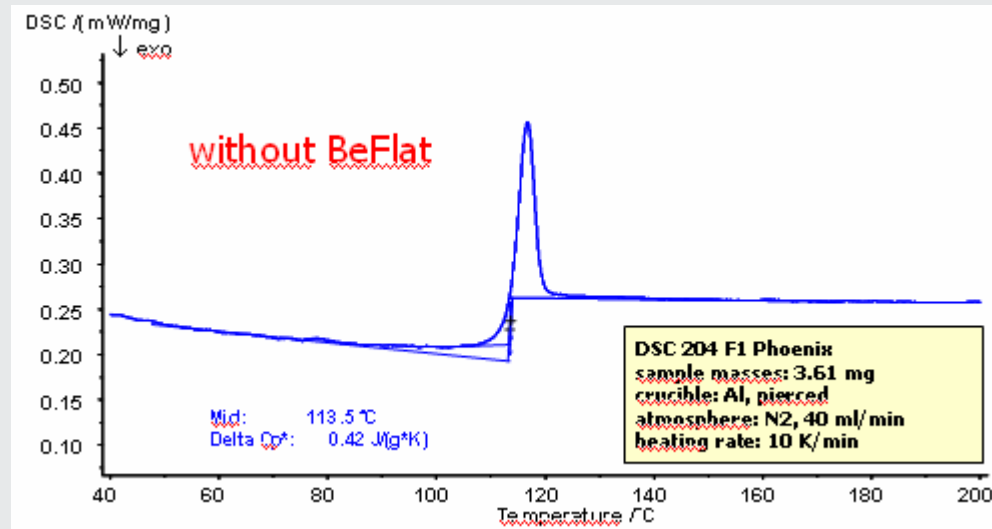
BeFlat



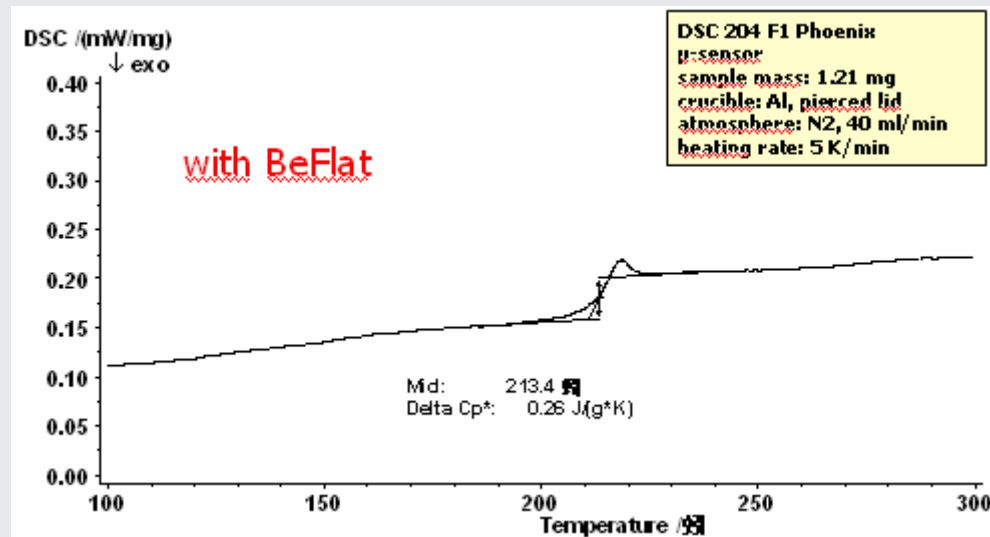
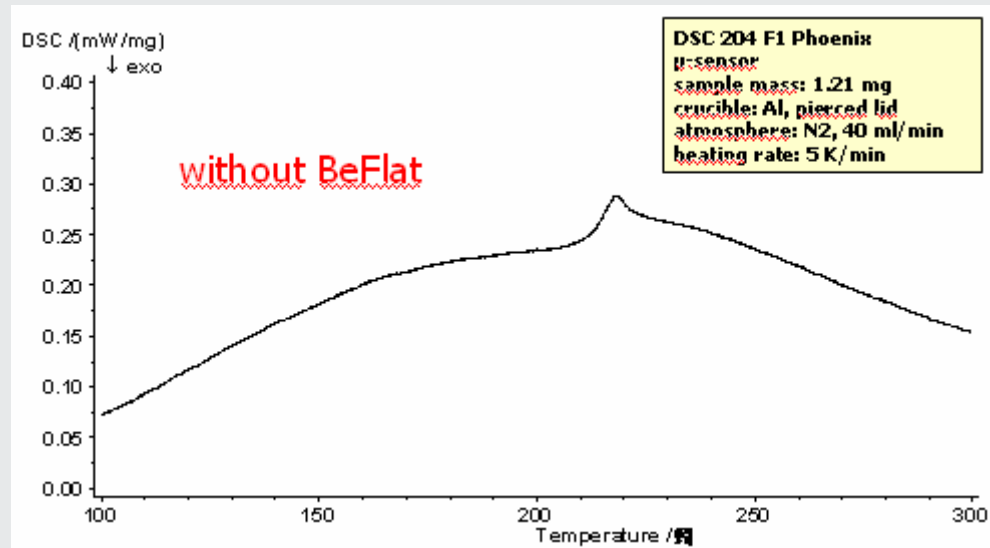
BeFlat



BeFlat (Styrene-Acrylonitrile, SAN)



BeFlat (Polyetherimide, PEI)



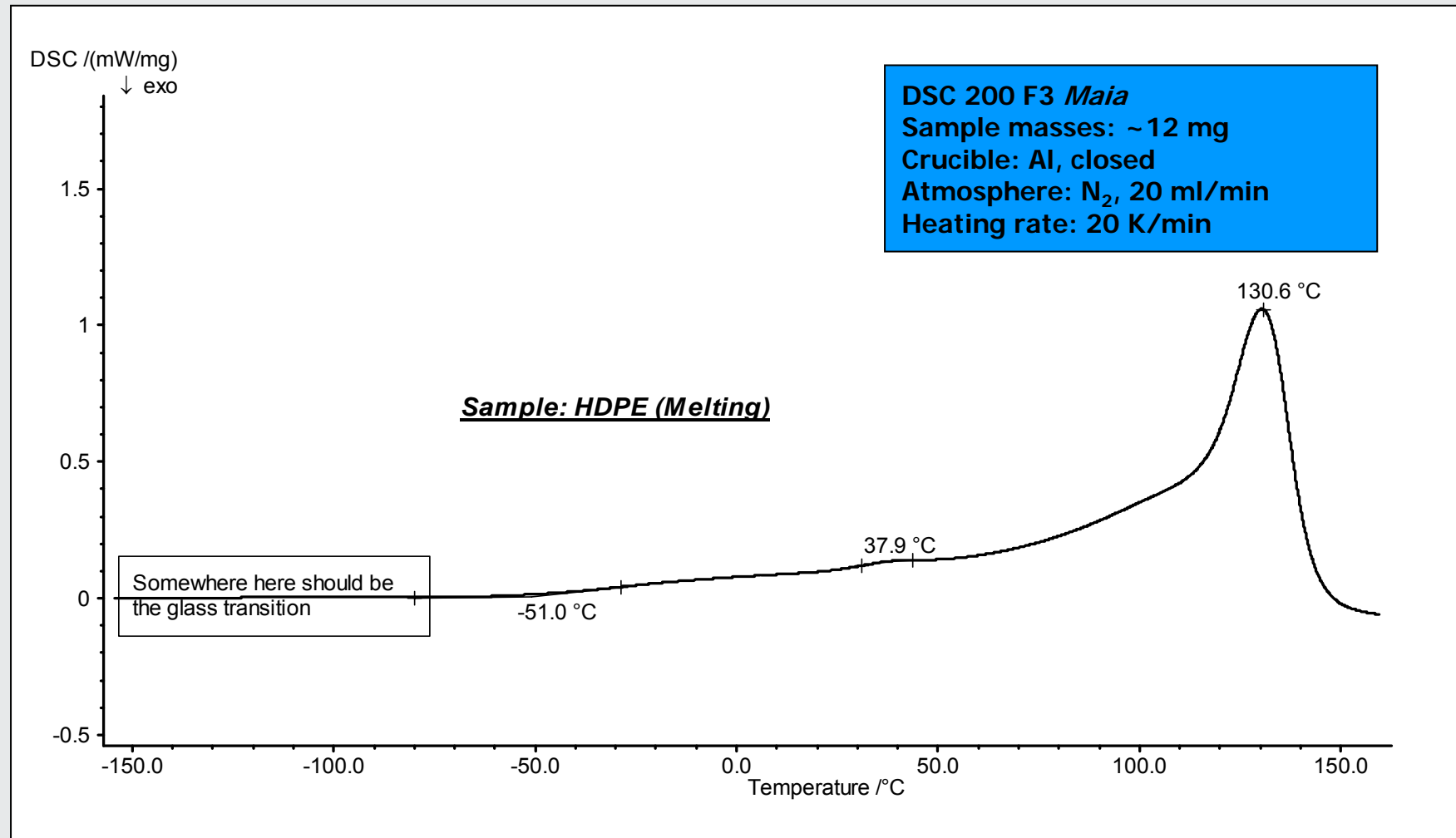
Application – HDPE-Packaging



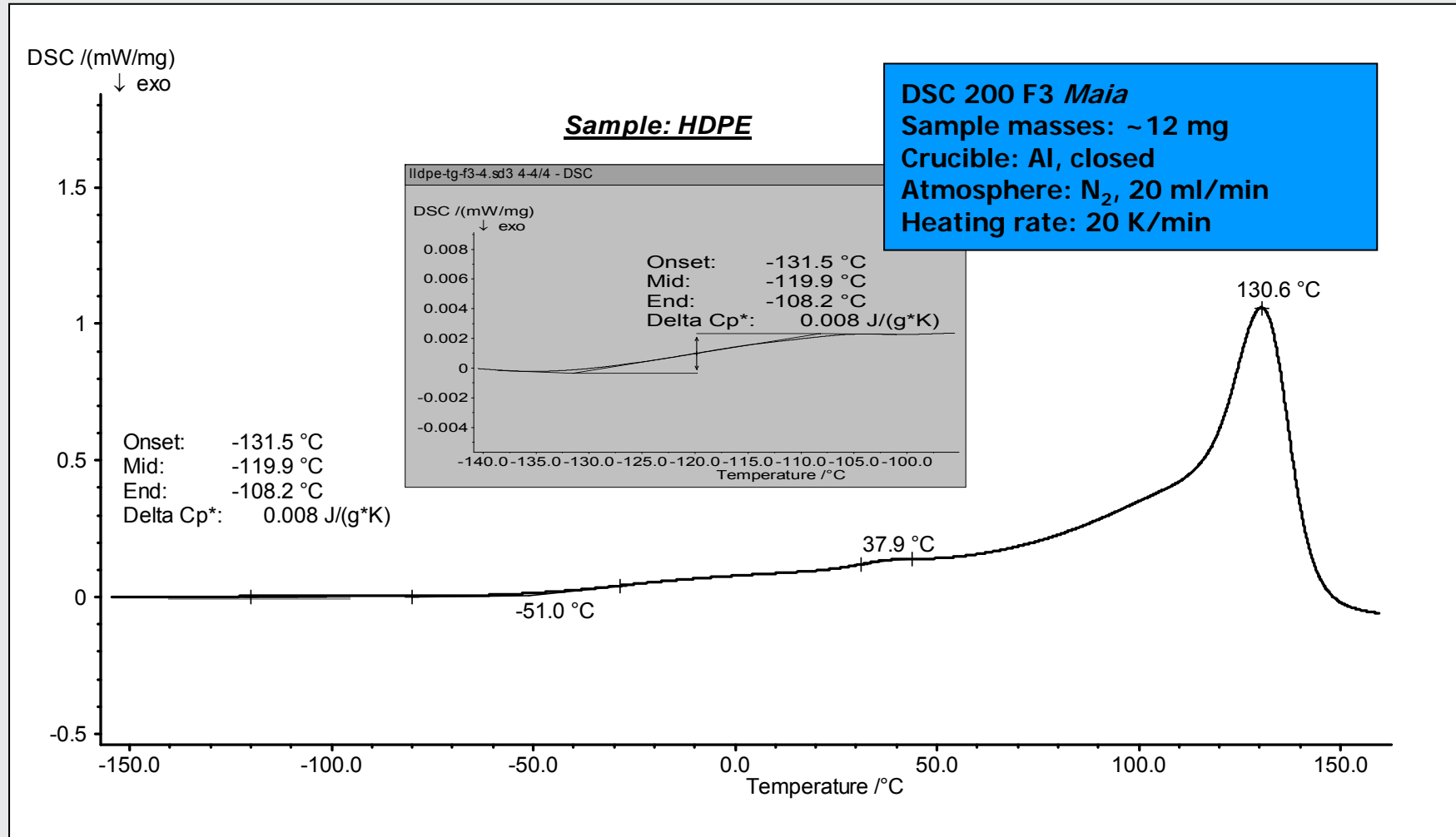
HDPE = High-Density Polyethylene



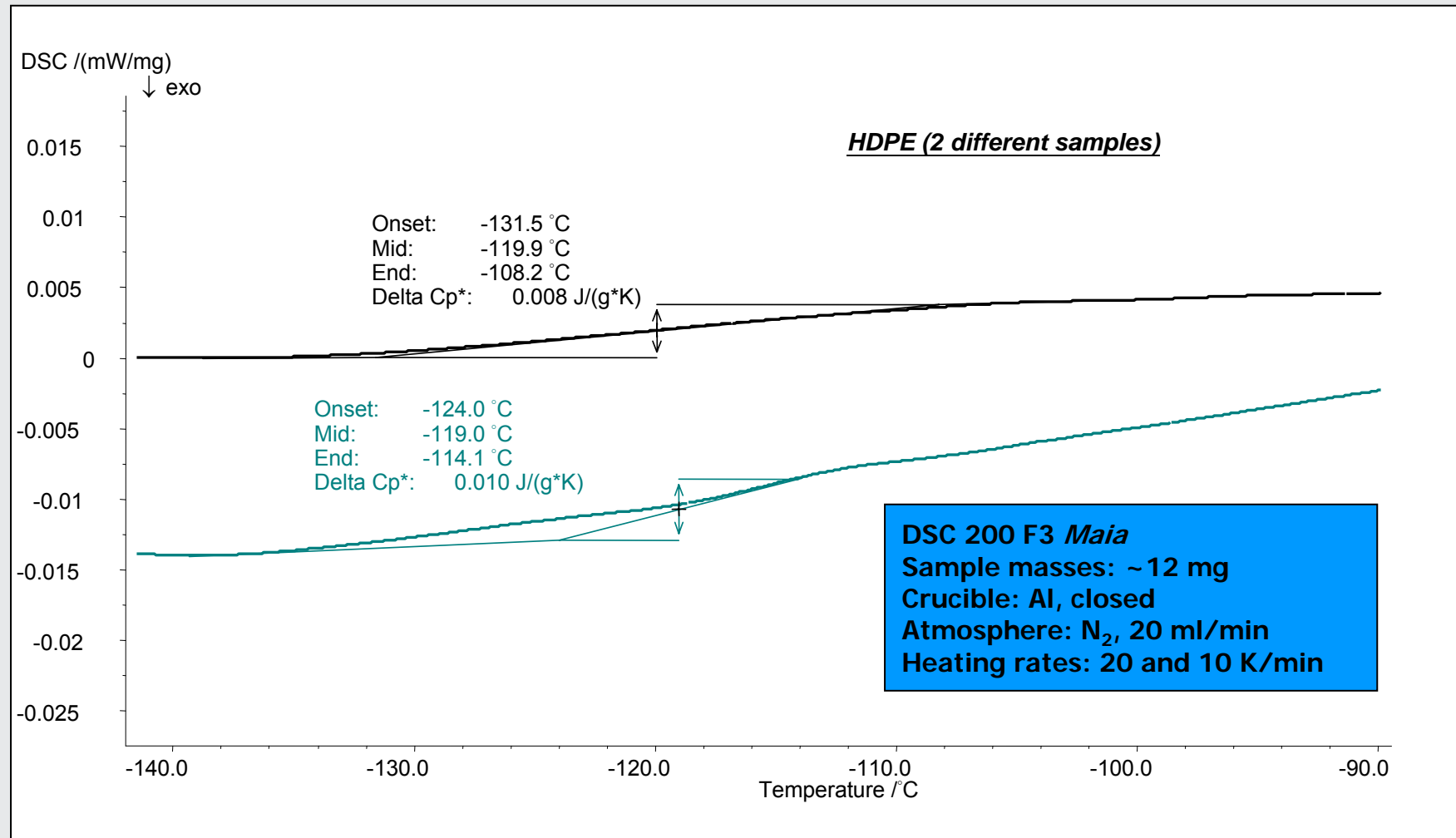
Application - HDPE



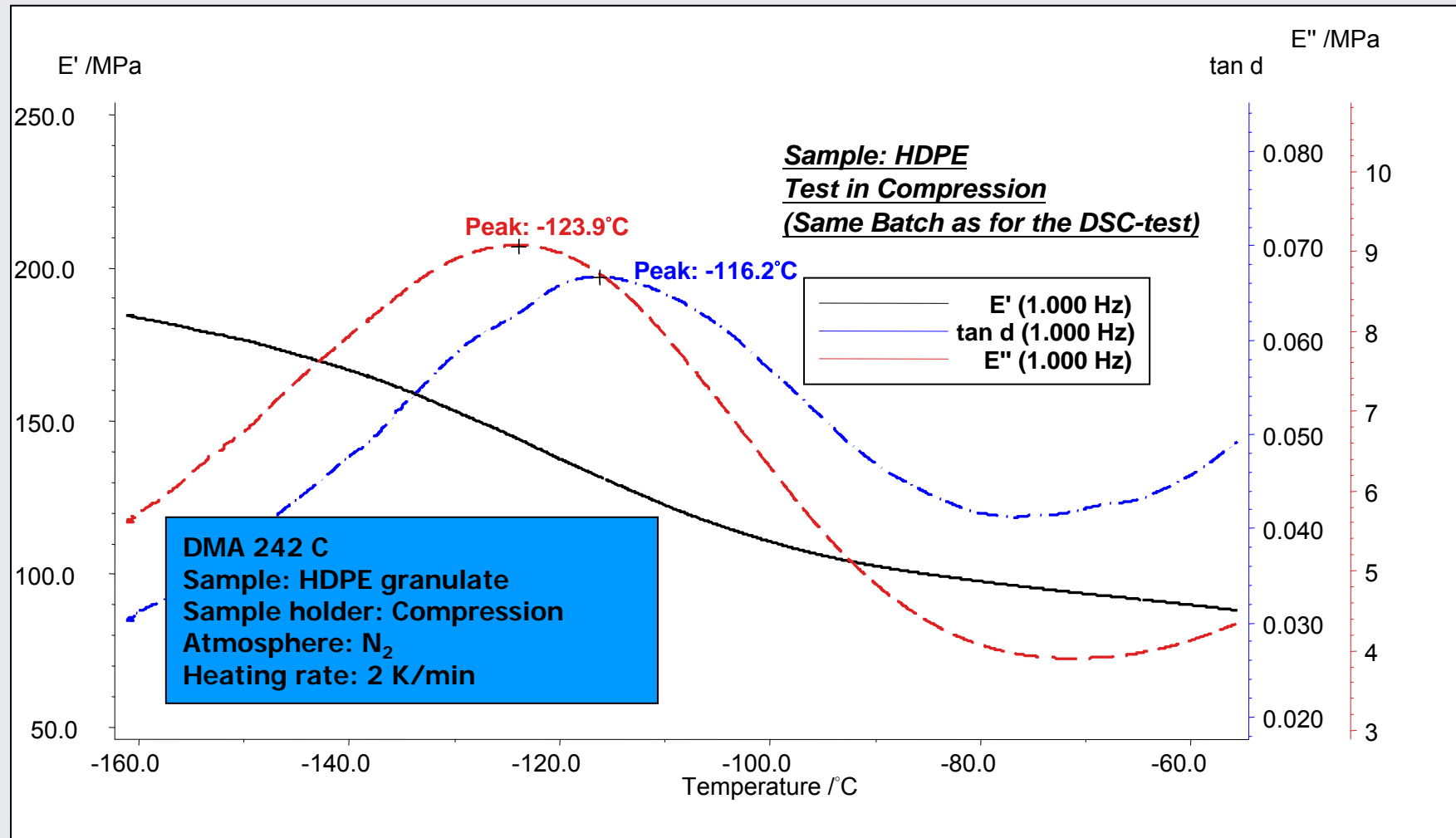
Application - HDPE



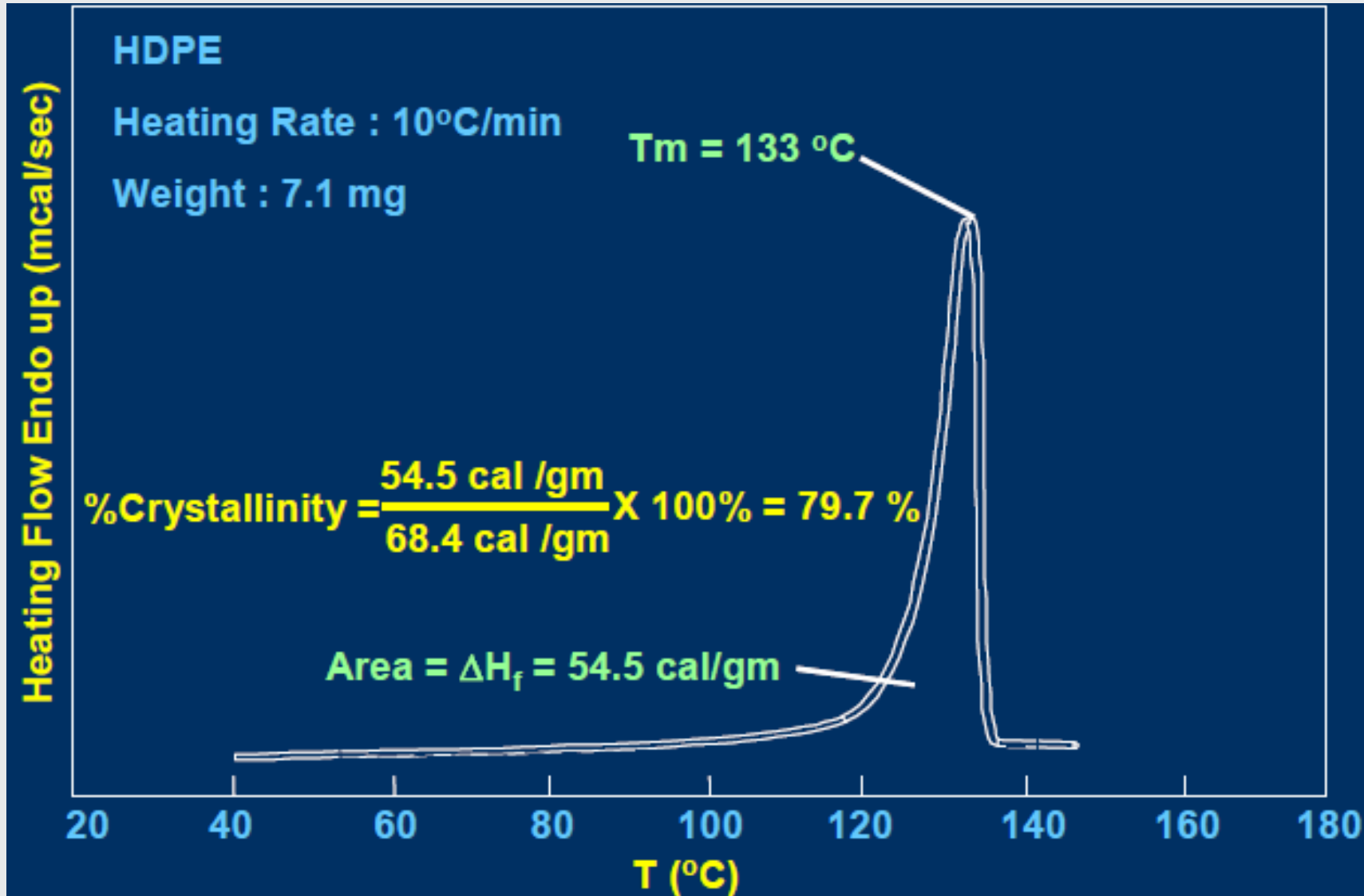
Application - HDPE



Application - HDPE



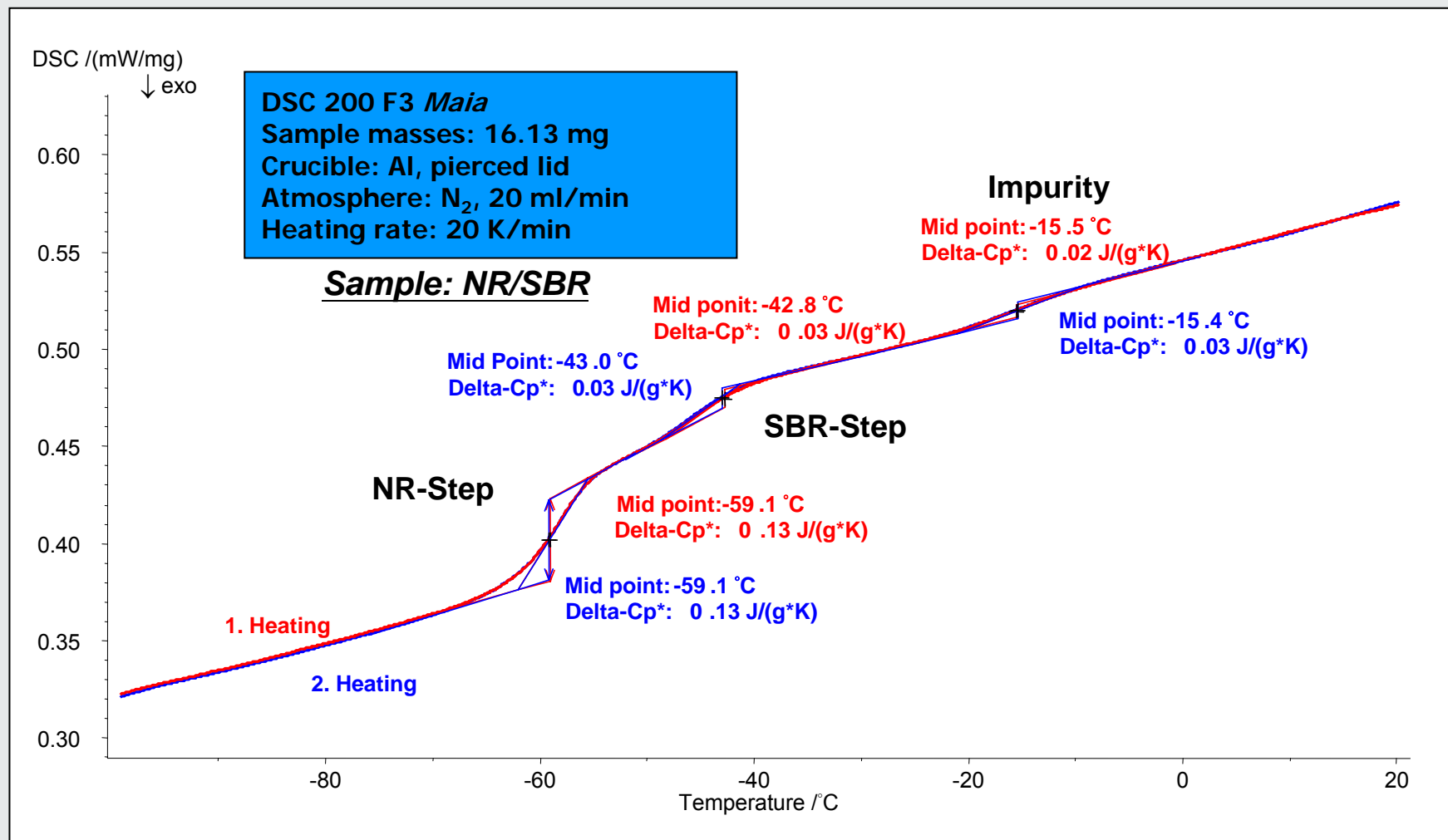
Analysis of T_m –calculation of crystallinity



Application – NR/SBR



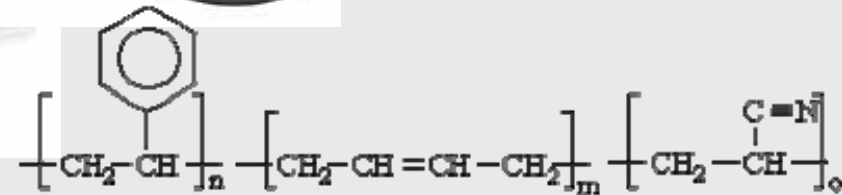
Application – NR/SBR



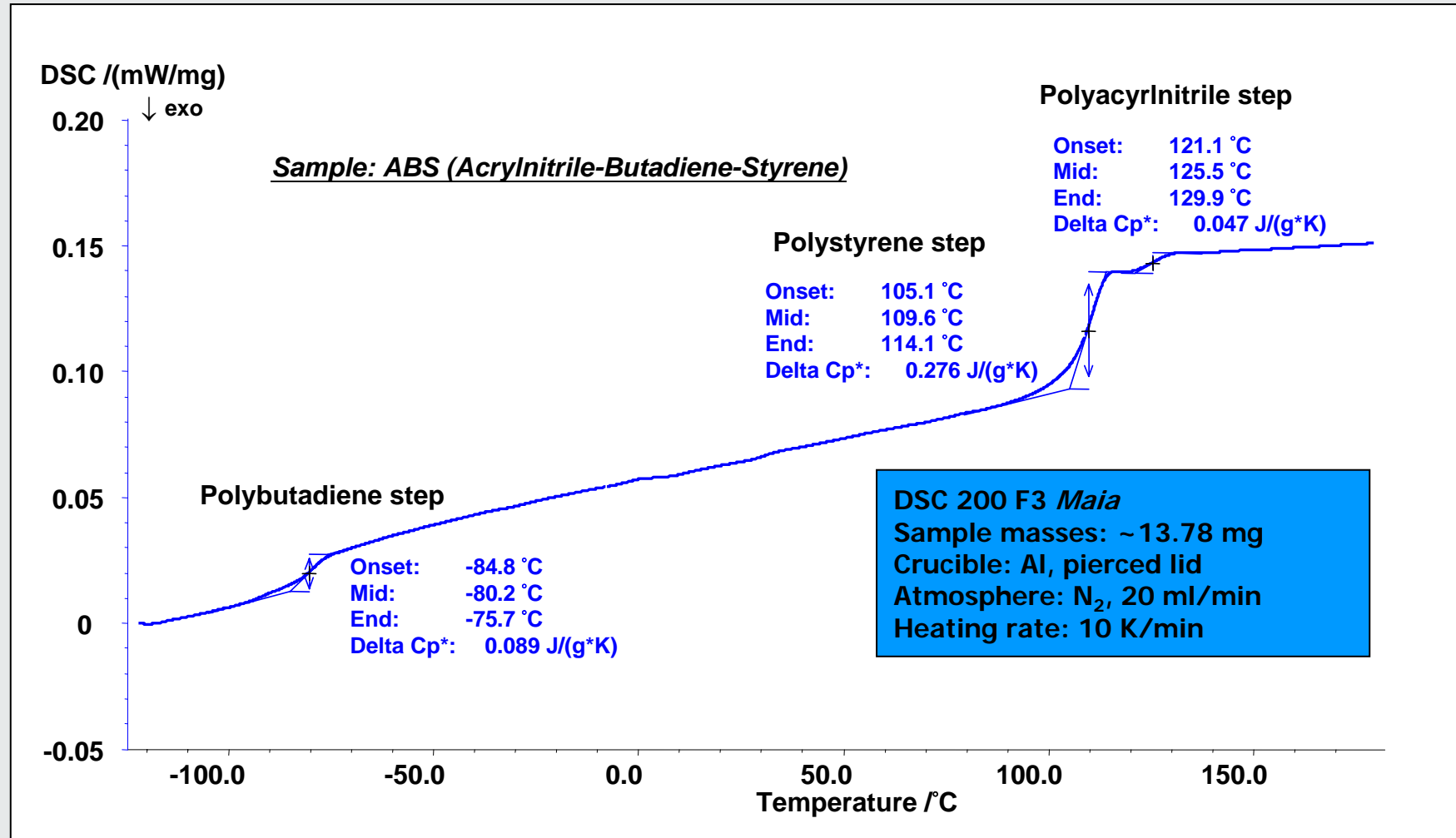
ABS = Acrylnitrile-Butadiene-Styrene-Terpolymer



Application – ABS



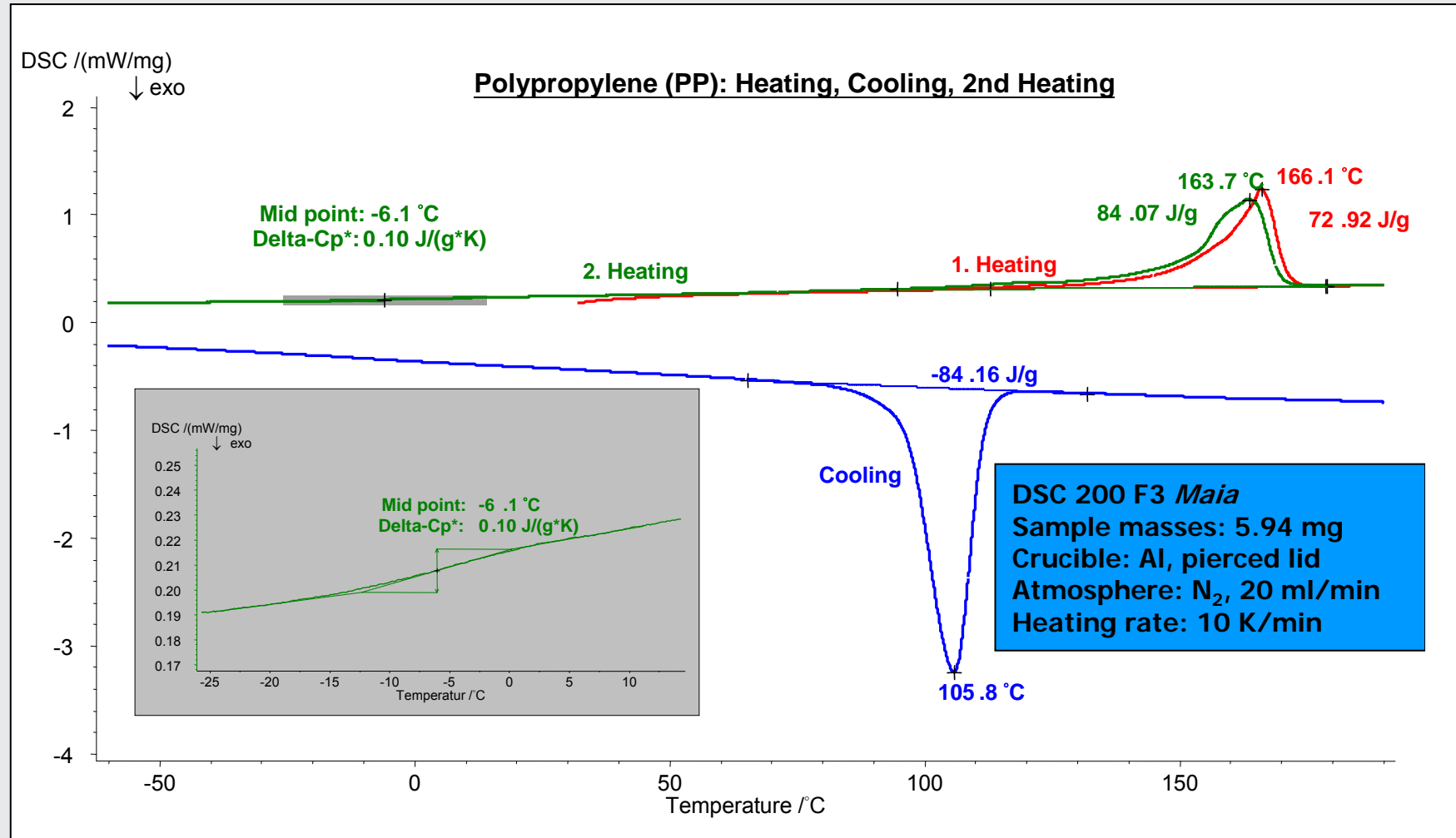
Application – ABS



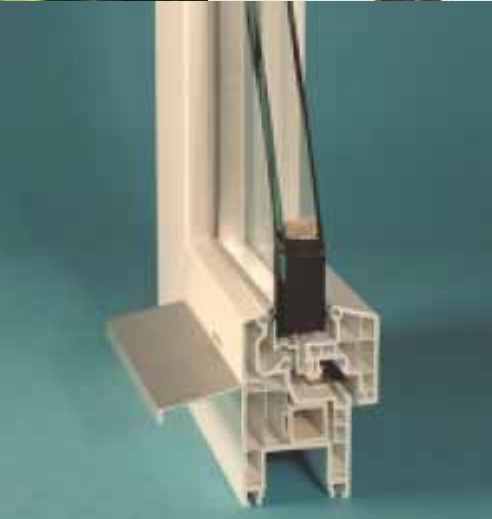
PP = Poly-Propylene



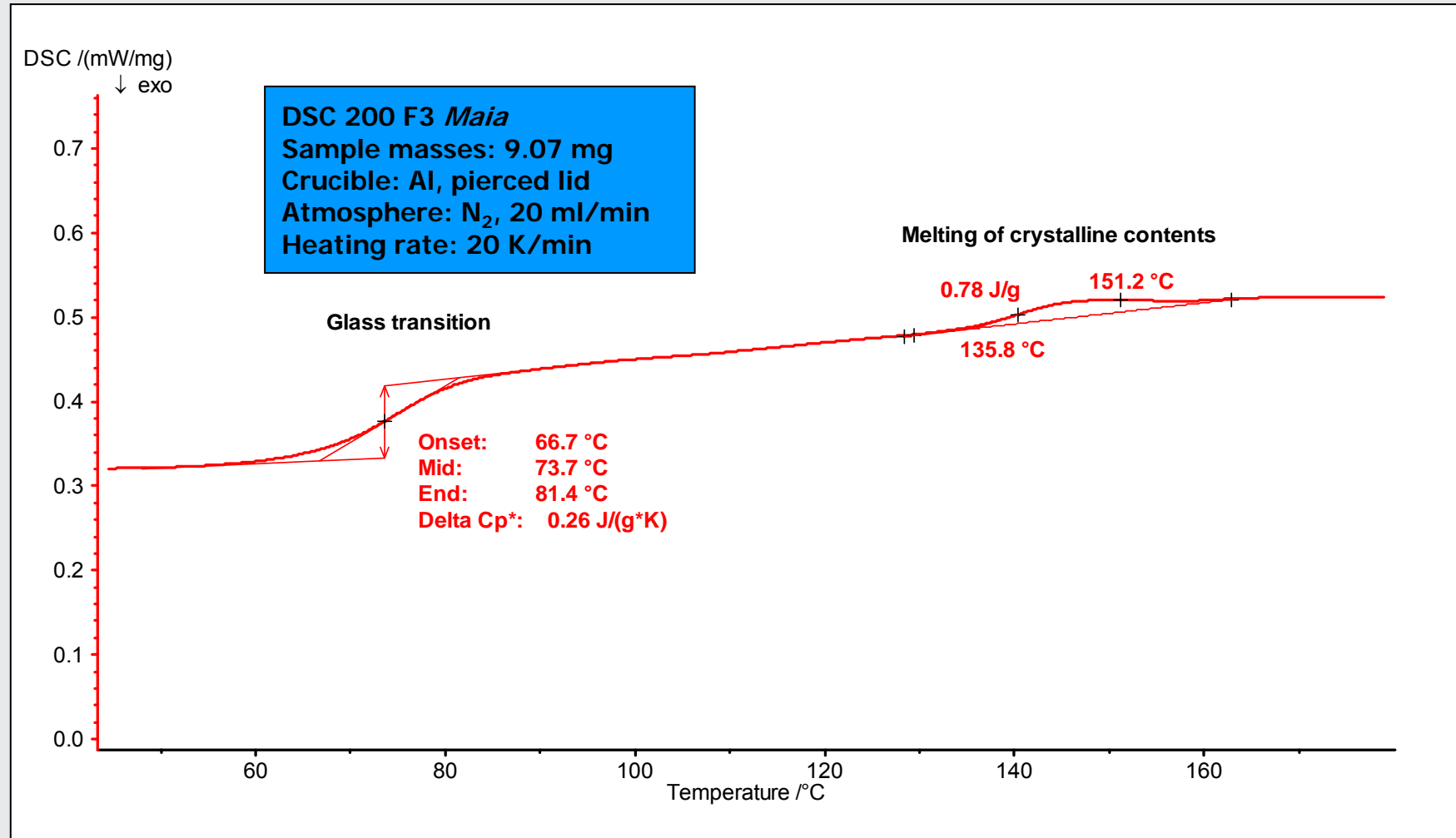
Application – PP



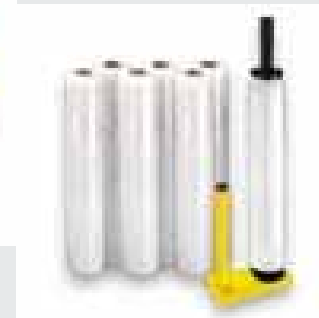
PVC = Poly-Vinyl-Chloride



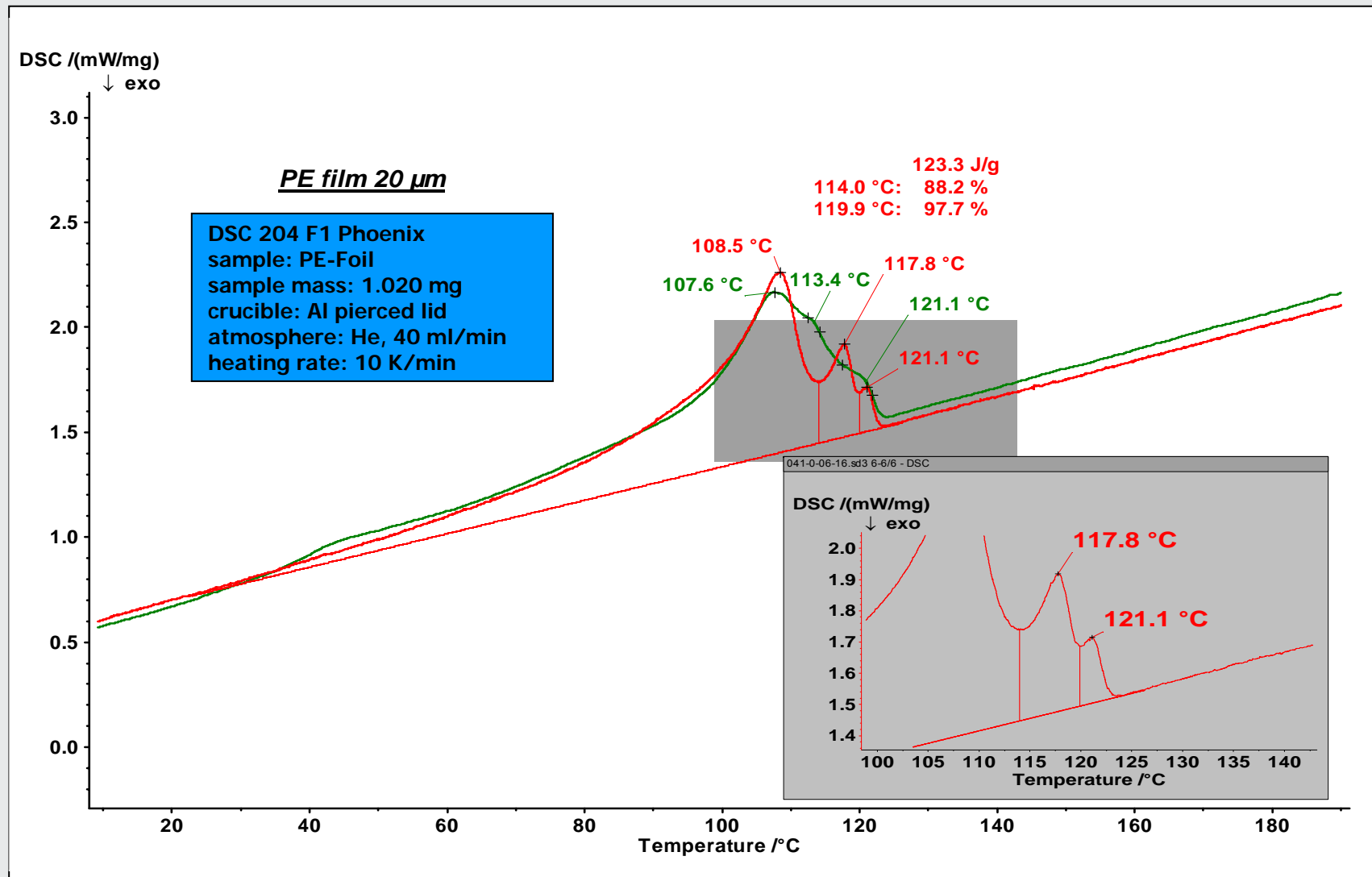
Application – PVC



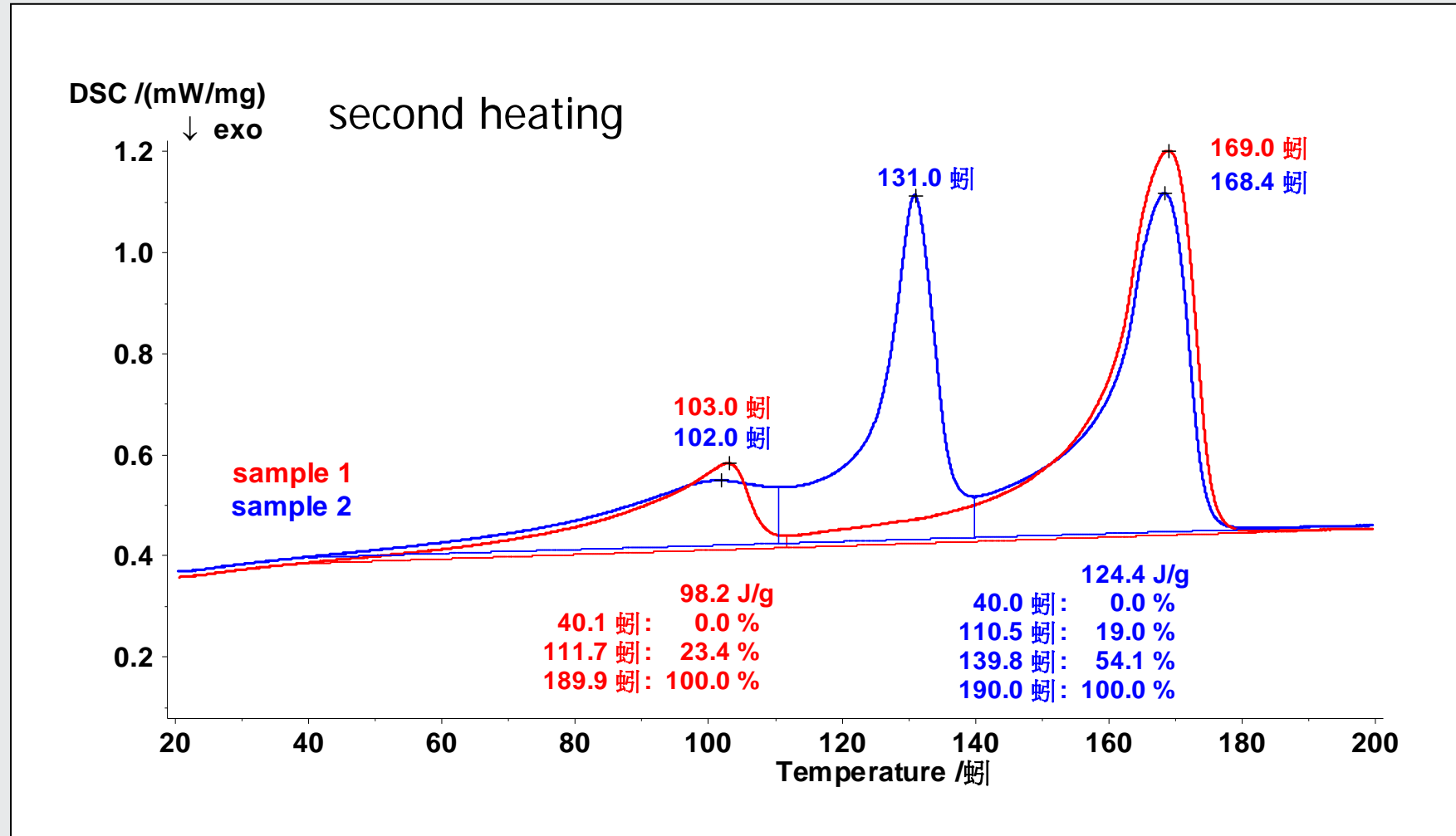
Application τ -Sensor: Separation of the Components of a PE-Blend



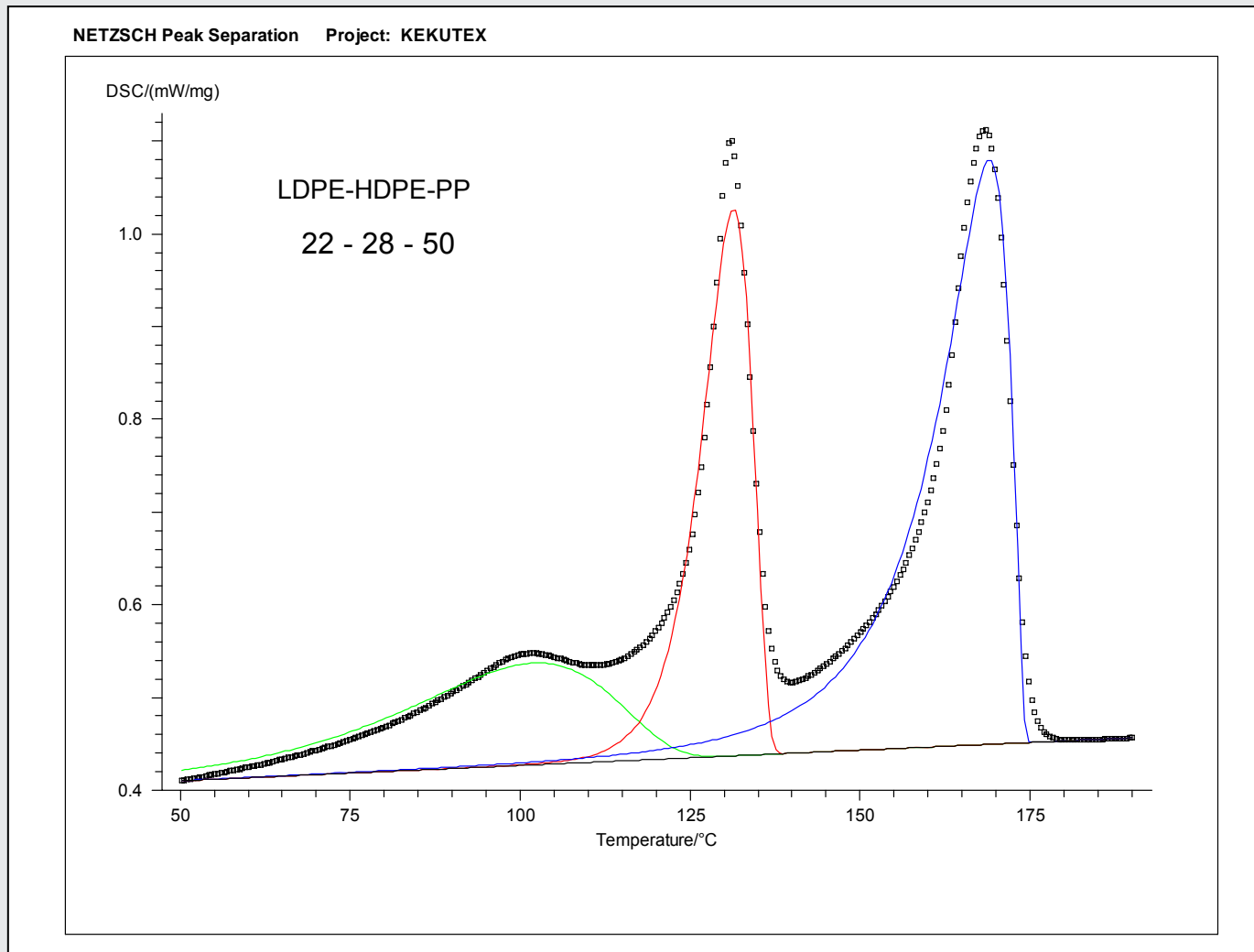
Application τ -Sensor: Separation of the Components of a PE-Blend



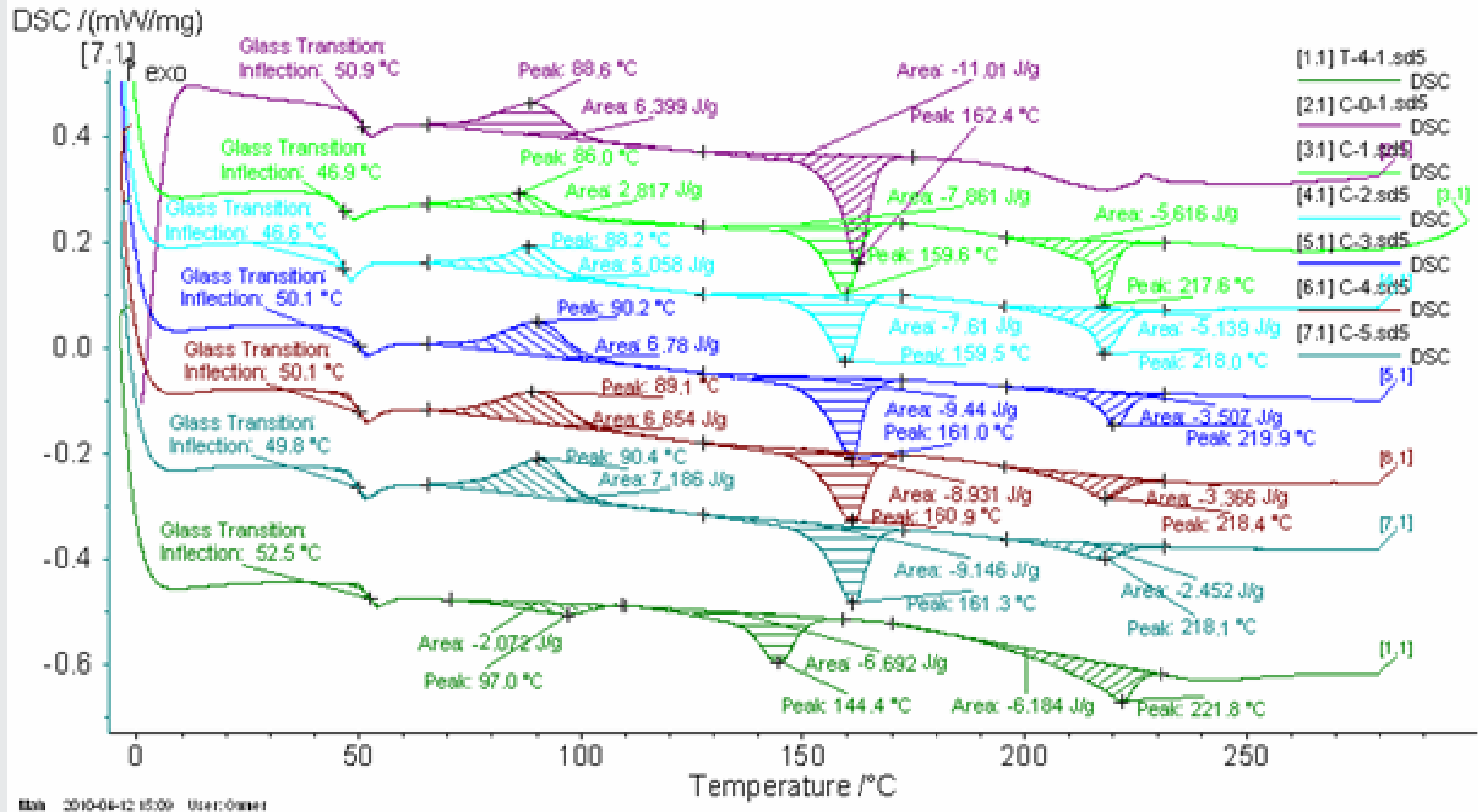
LDPE-HDPE-PP



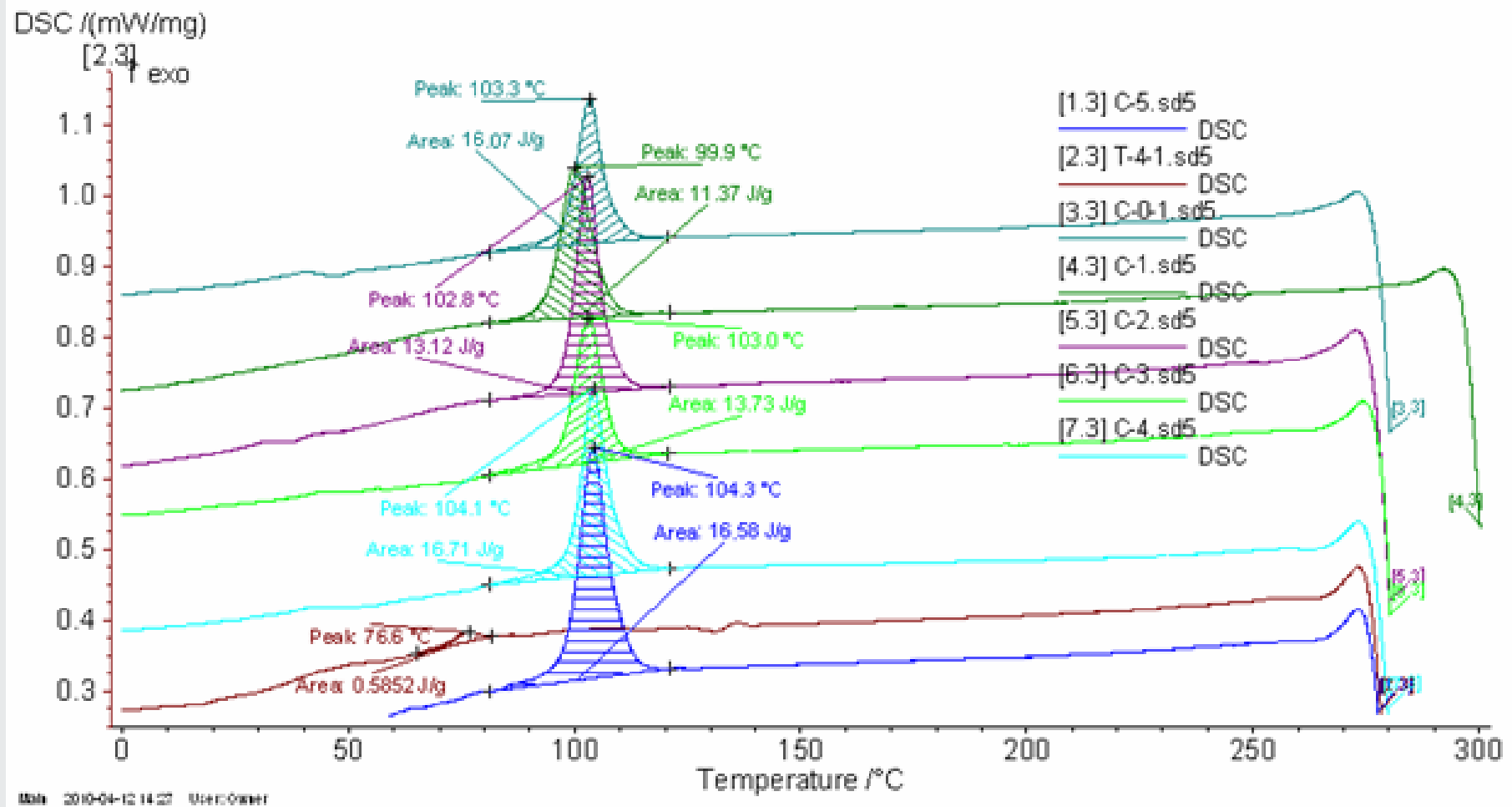
LDPE-HDPE-PP (Peak Separation)



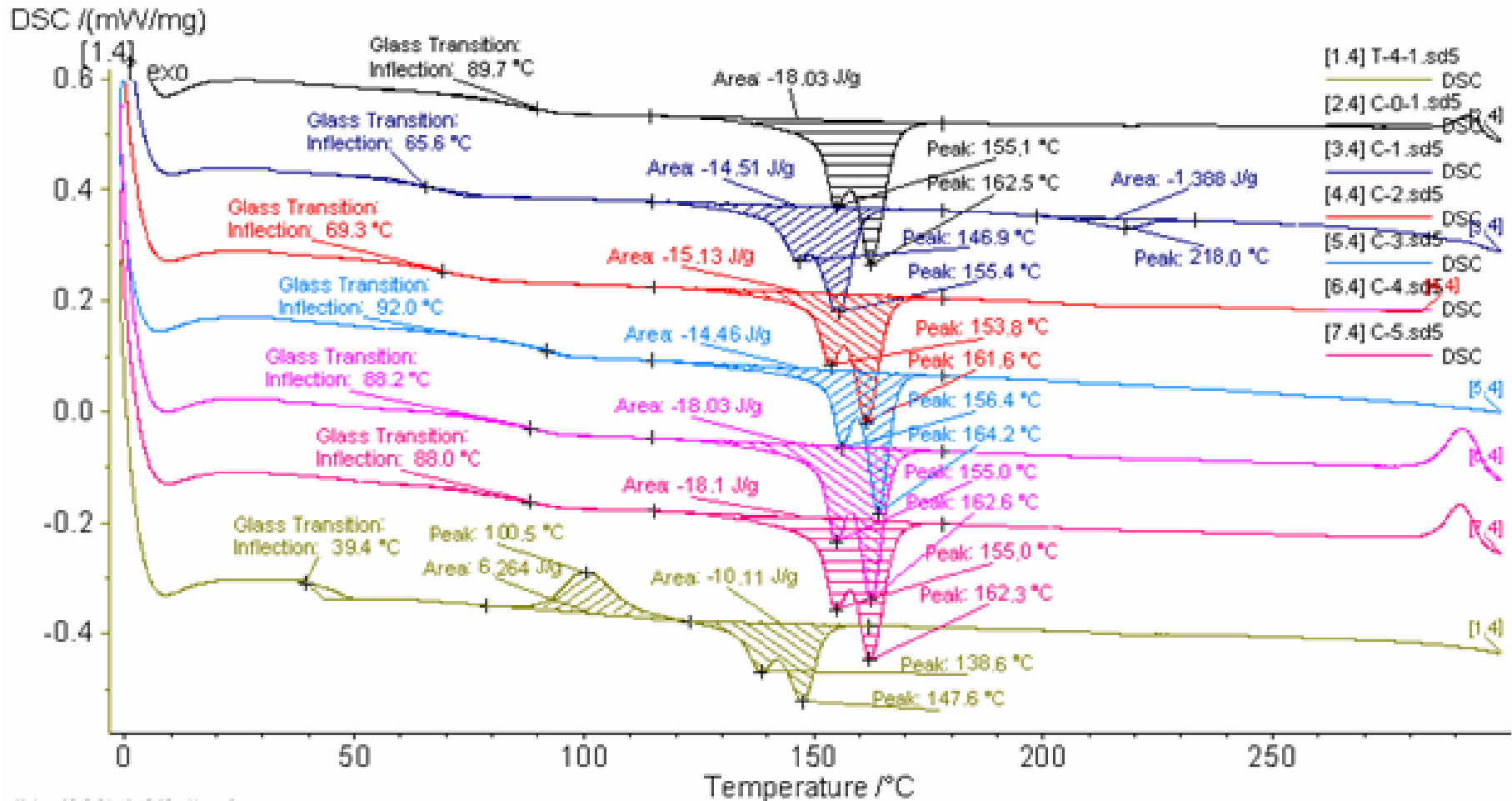
DSC 不同配方及加工條件量測-Part 1 (First Heating Rate 10°C/min)



DSC 不同配方及加工條件量測-Part 2 (First Cooling Rate 10°C/min)



DSC 不同配方及加工條件量測-Part 3 (Second Heating Rate 10°C/min)

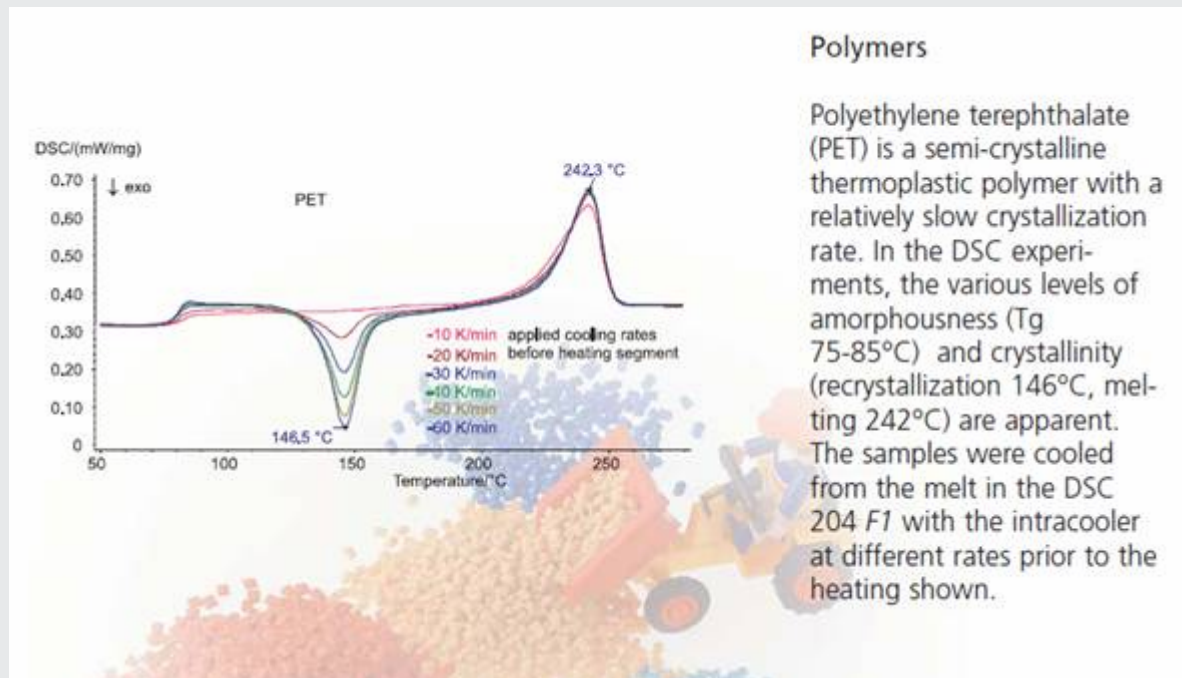


Date: 2016-04-12 15:23 User: Owner

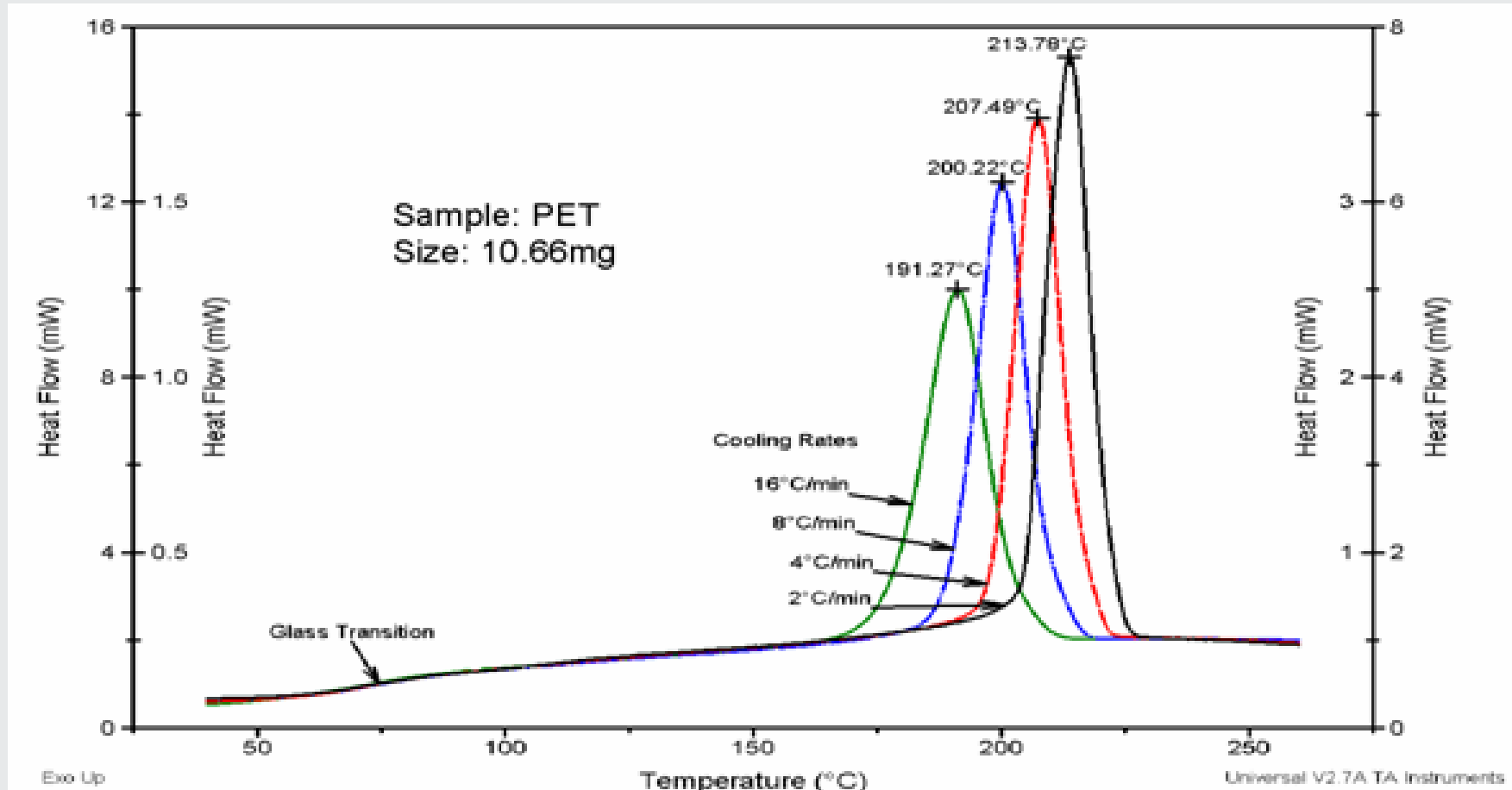
DSC 不同配方及加工條件量測-Part 4 (結論說明)



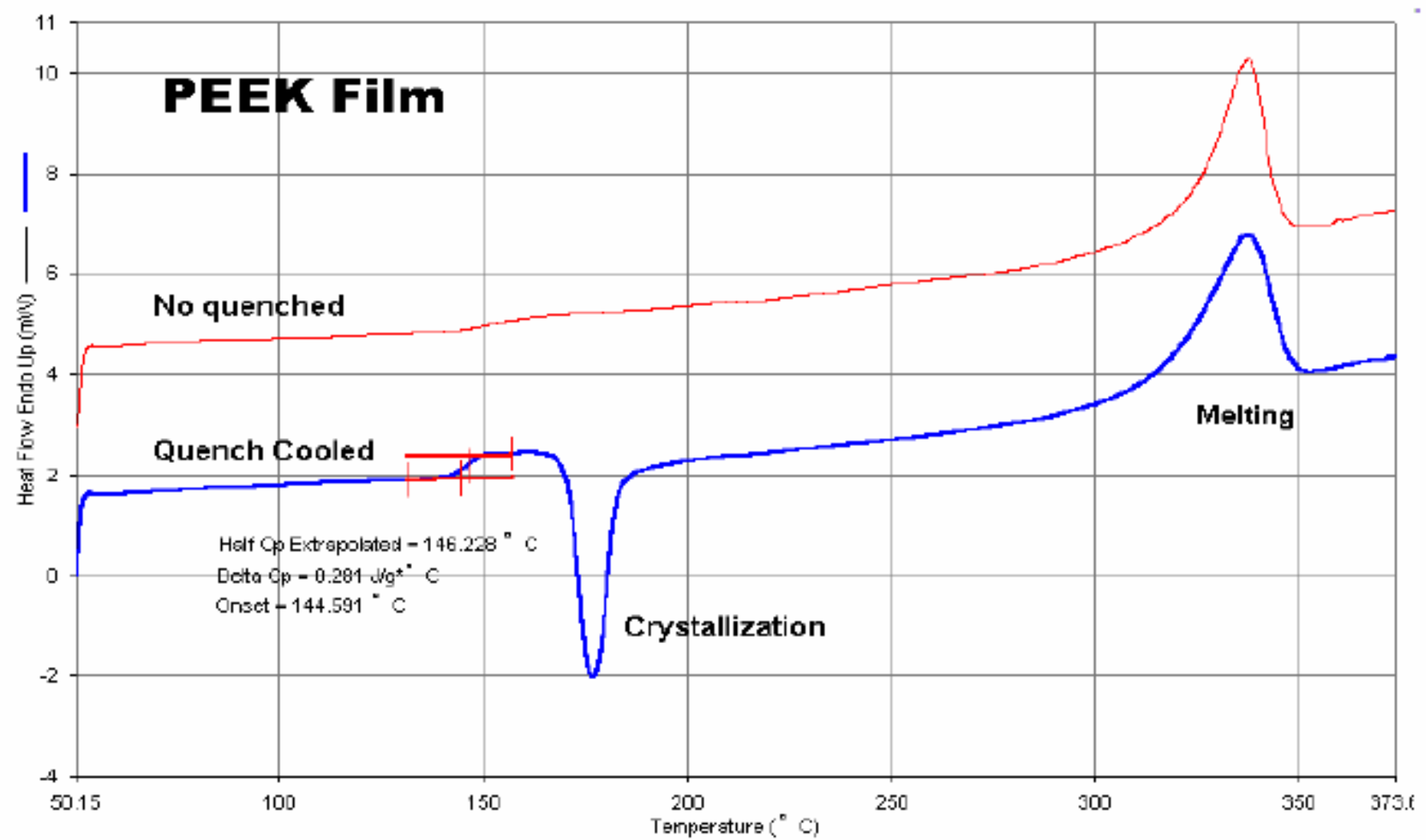
以下的圖是PET以不同的冷卻速率做實驗再做第二次加熱的曲線，
紅色曲線(10°C/min cooling rate)為例，冷卻過程樣品會有結晶現象，再次加熱時就看不到再結晶現象，
靛藍色曲線(60°C/min cooling rate)為例，冷卻過程樣品由於冷卻速率太快沒有結晶現象，再次加熱時就看到再結晶現象，
其它的不同冷卻速率再次加熱後所得到不同的再次結晶熱。
至於貴司的樣品T-4在冷卻過程看不到(很小)冷卻結晶，可能10°C/min對此T-4的樣品冷卻速率太快，來不及結晶，
所以在第二次加熱時會看到再結晶現象。



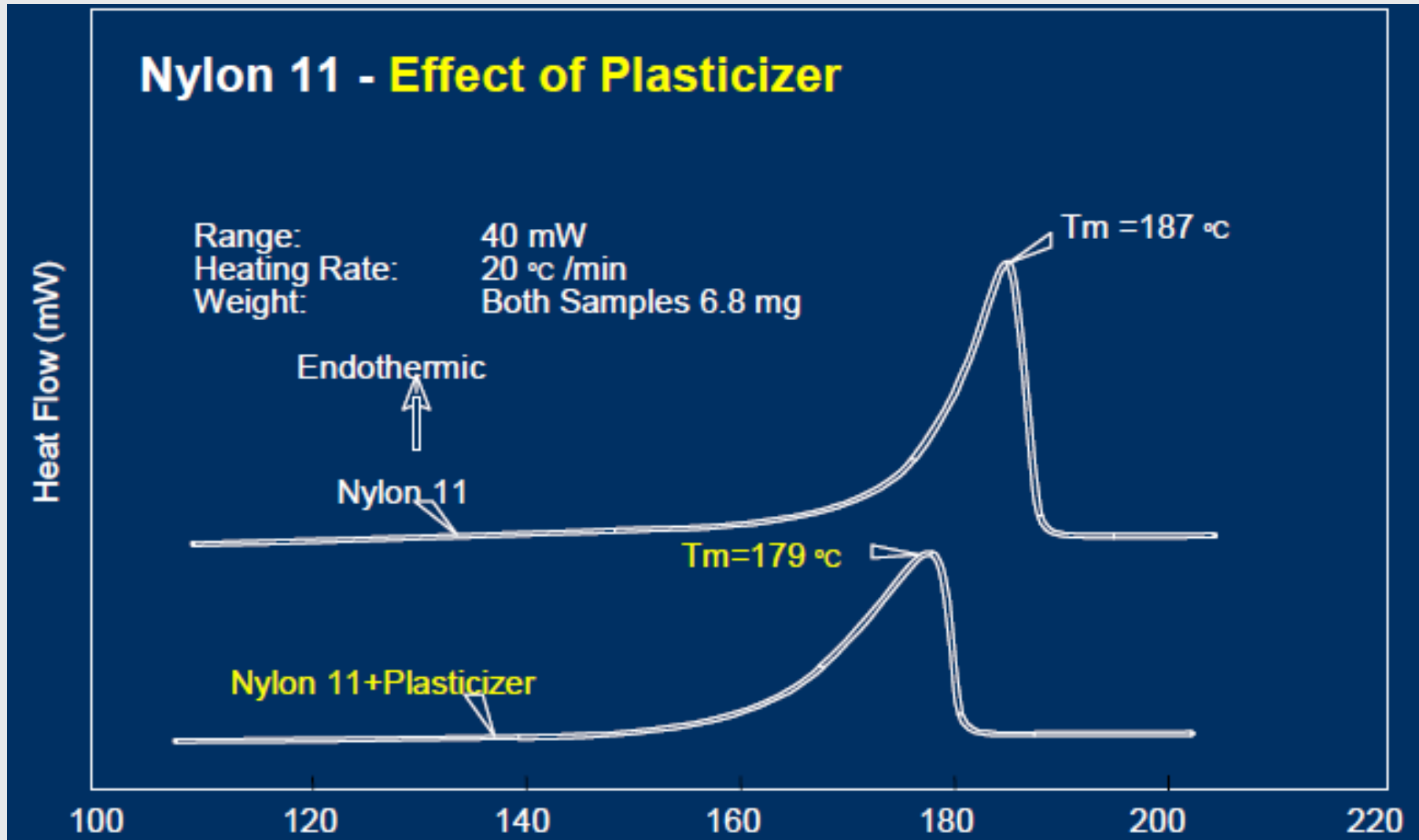
冷却速率对 PET 结晶的影响



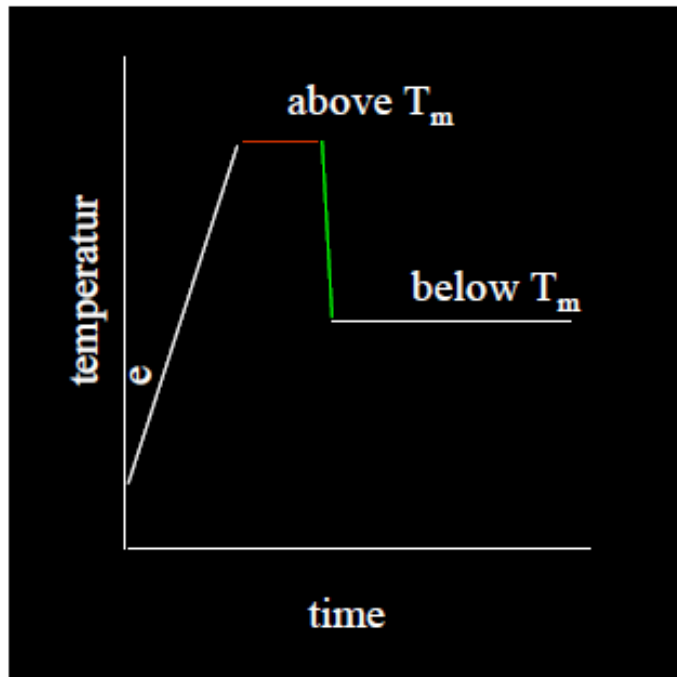
Tg of Polymers—history of heat process can alter Tg



Analysis of T_m -effect of plasticizer

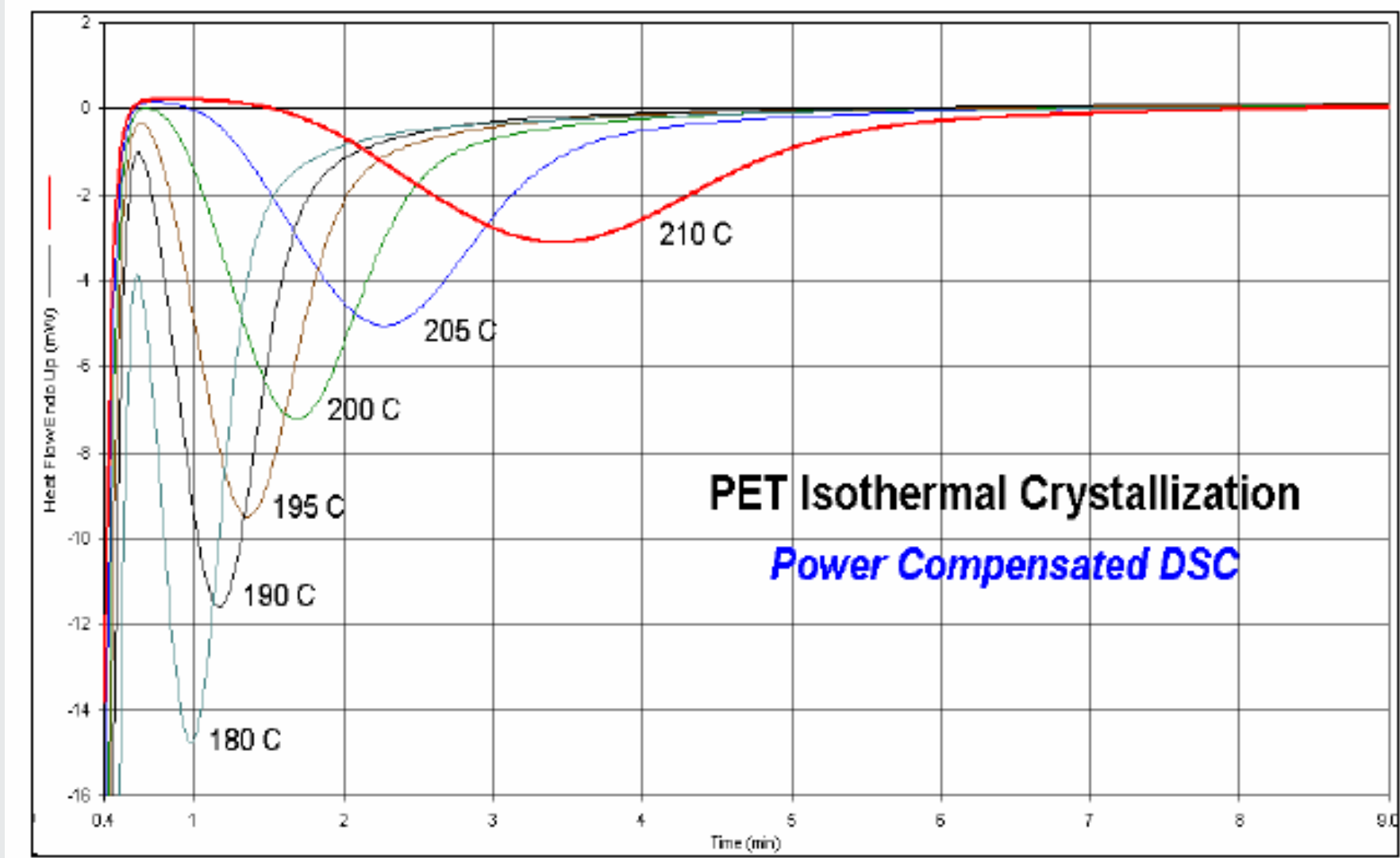


Isothermal test for crystallinity

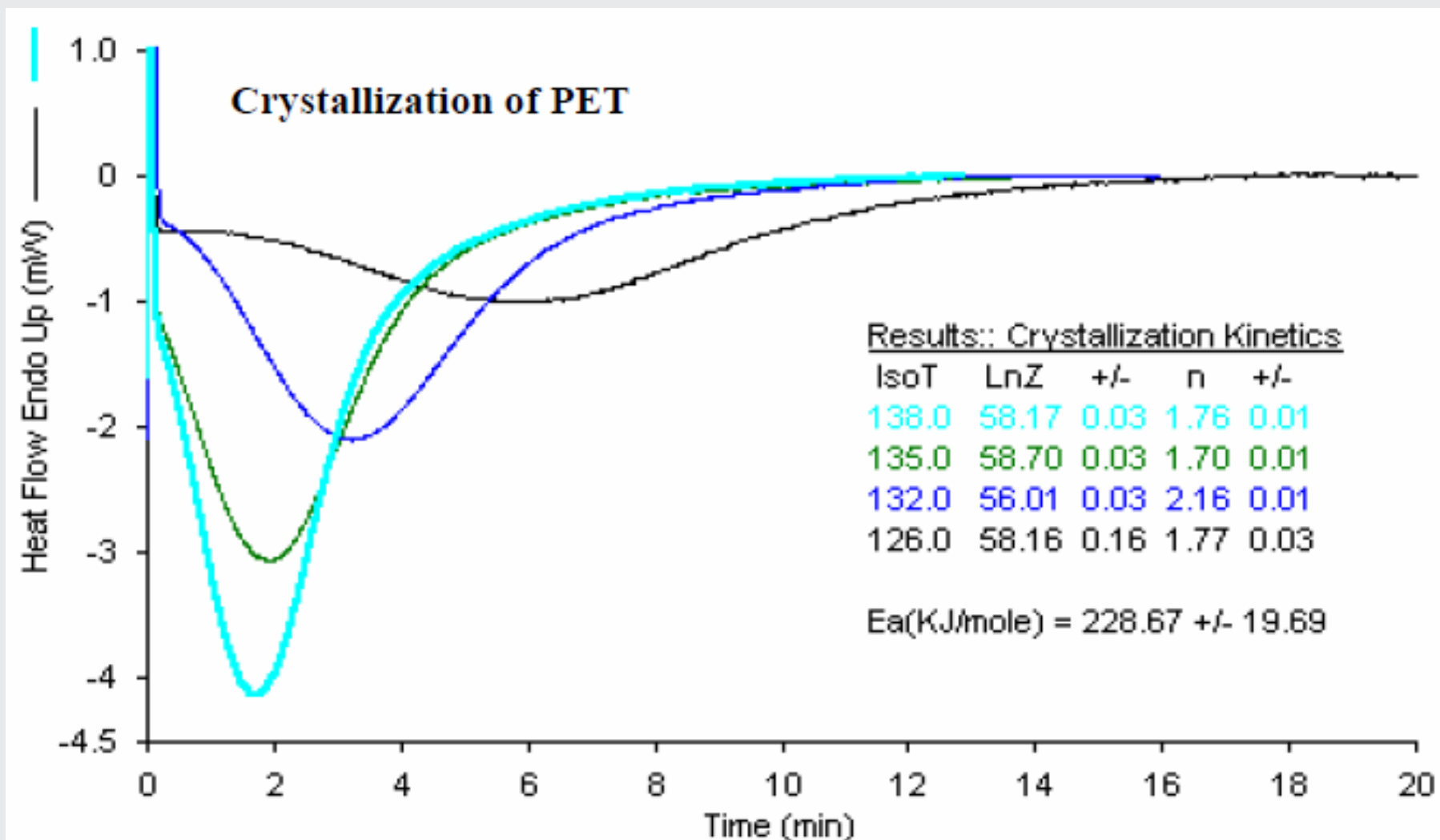


- *Heat the sample over T_m for a period for complete melting*
- *Quench the sample at $T < T_m$*
- *Measure heat change in sample*

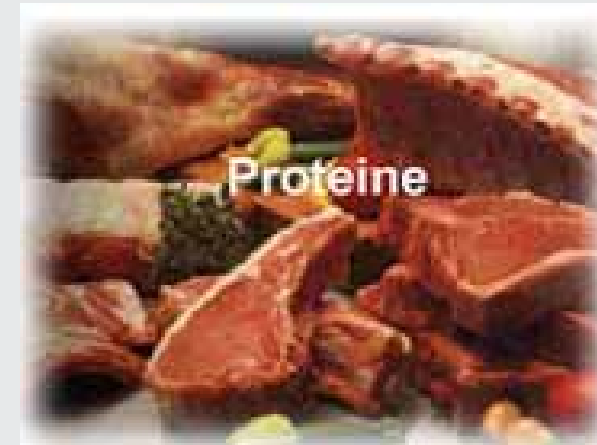
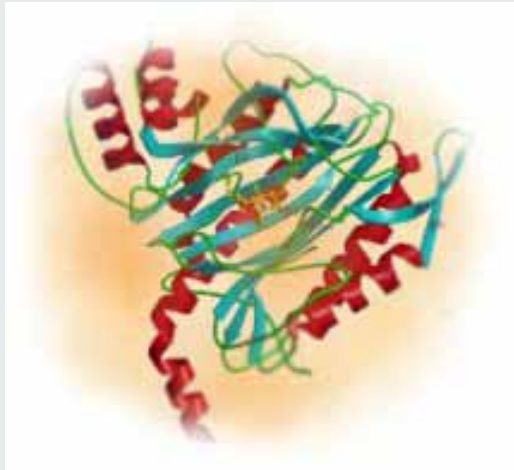
Isothermal test for crystallinity



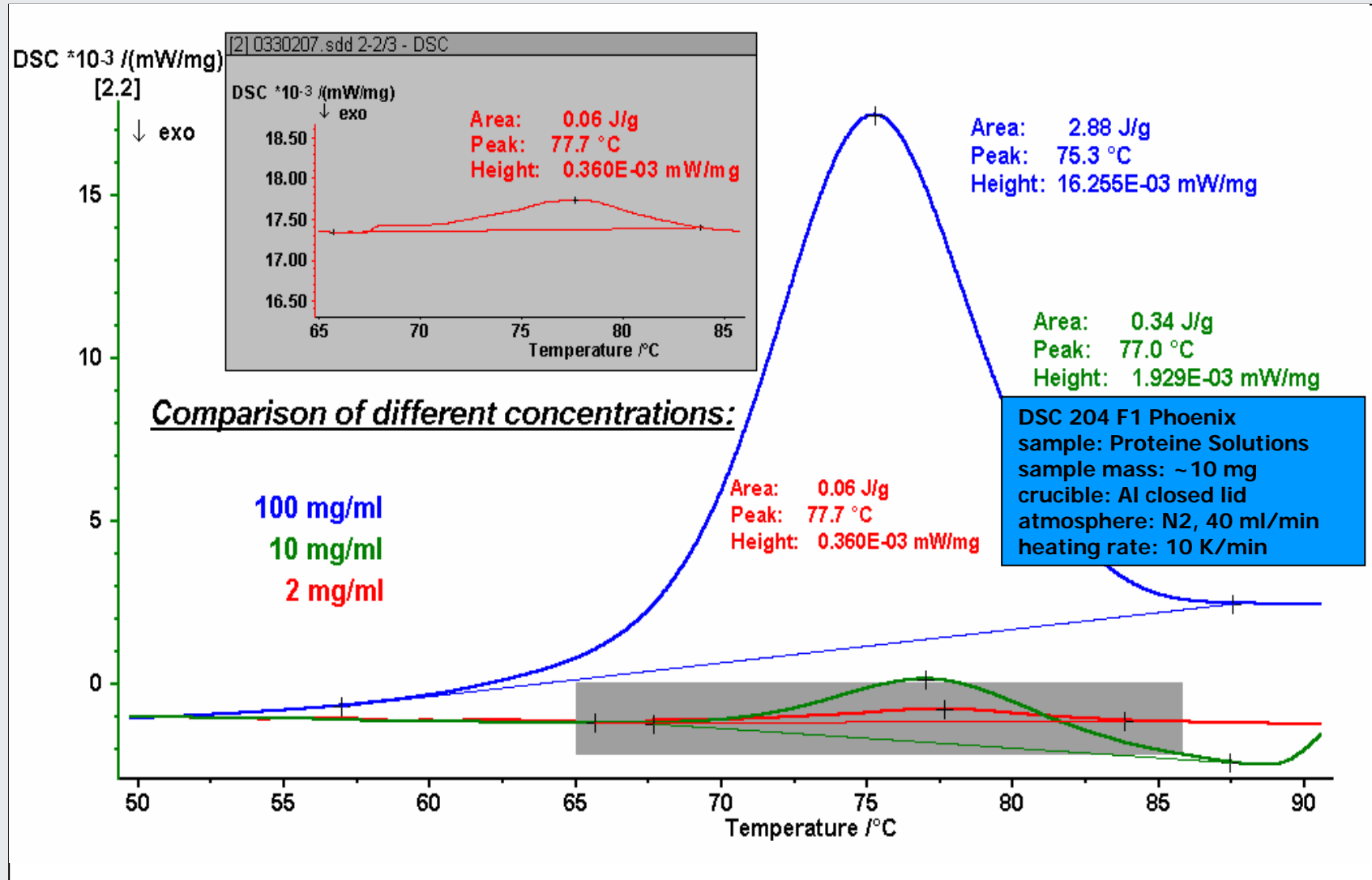
動力學分析-- Isothermal Kinetics(Option)



Application μ -Sensor: Denaturation of Proteine Solutions



Application μ -Sensor: Denaturation of Proteine Solutions

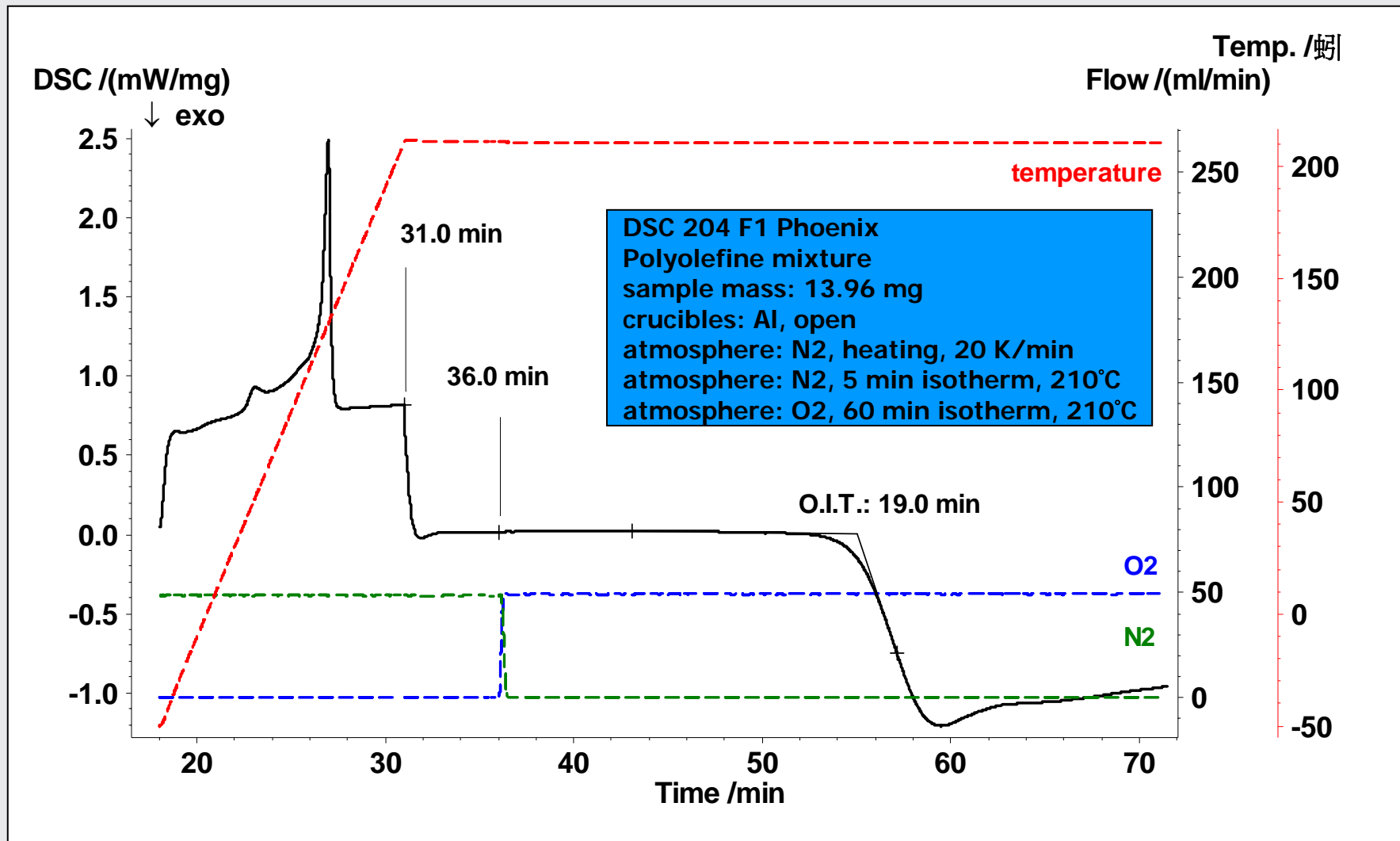


Application – HDPE (O.I.T.-Tests) **NETZSCH**

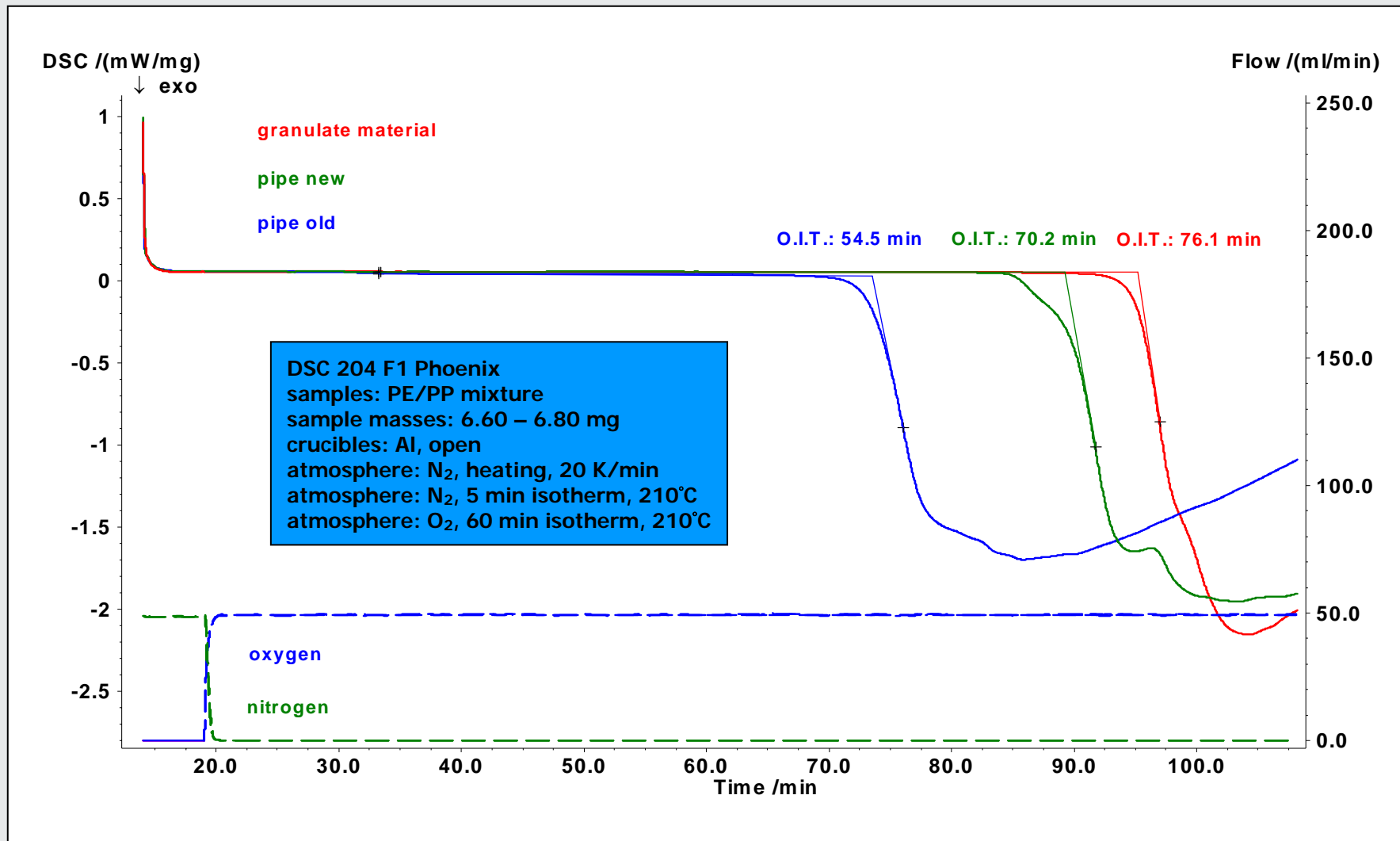
The DSC 200 F3 *Maia*[®] allows determination of the oxidative induction time (O.I.T.) according to well-established standards (ASTM D 38 95, ASTM D 6186, EN 728 und ISO 11357-3).



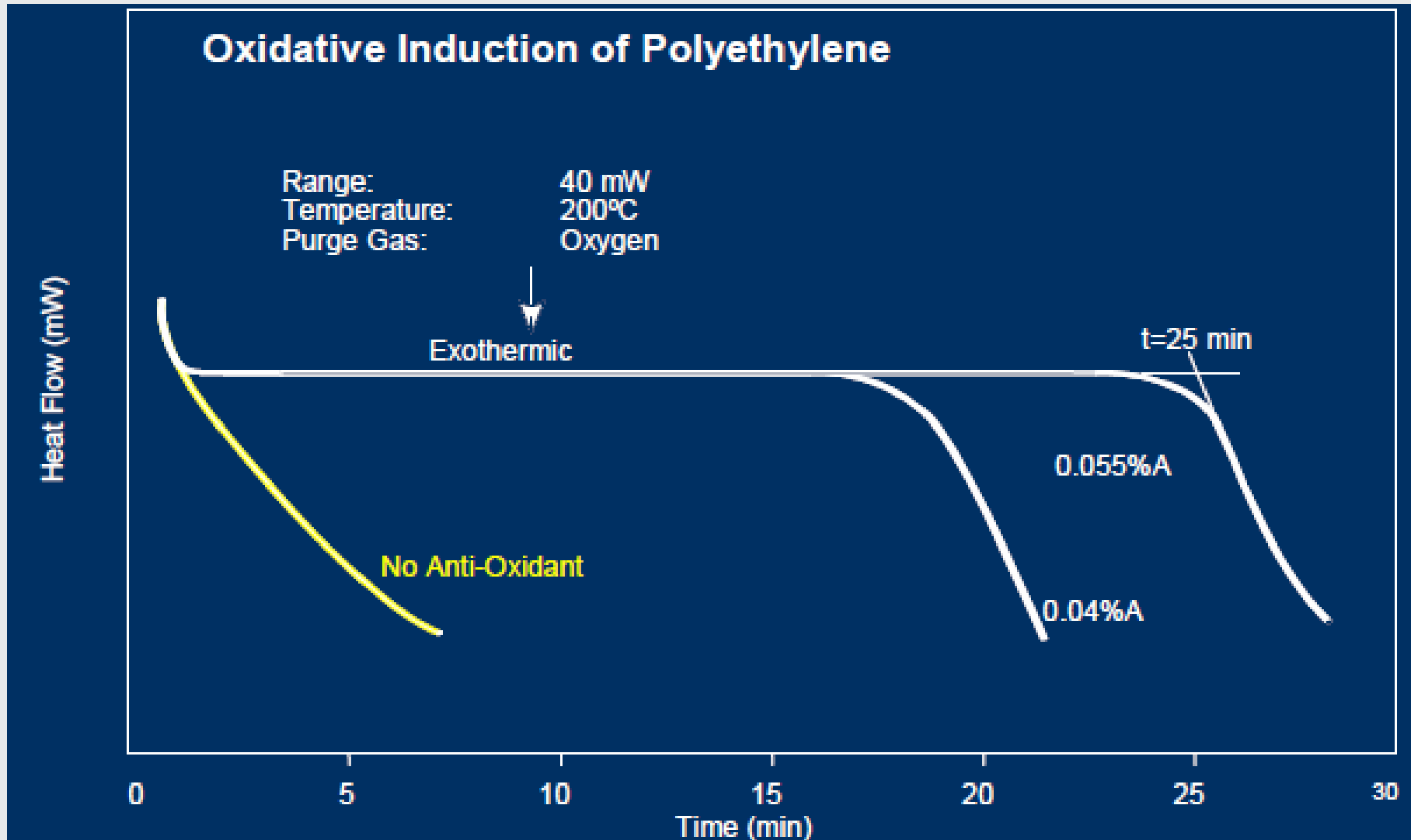
Oxidation Induction Time (O.I.T.)



Oxidation Induction Time (O.I.T.) Application on a PE/PP-Pipe Material



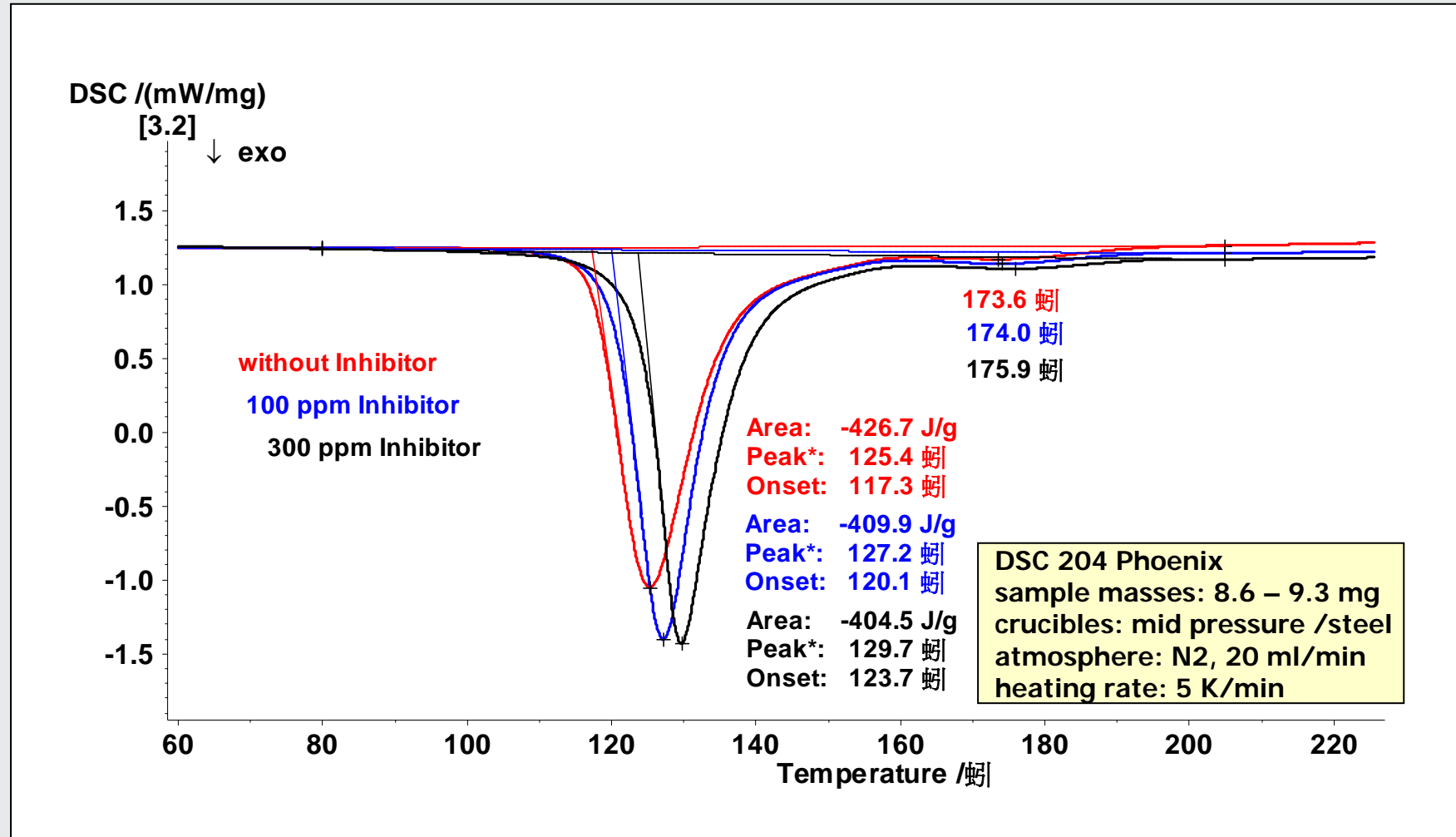
Oxidative induction of PE (To know the anti-oxidation capability)



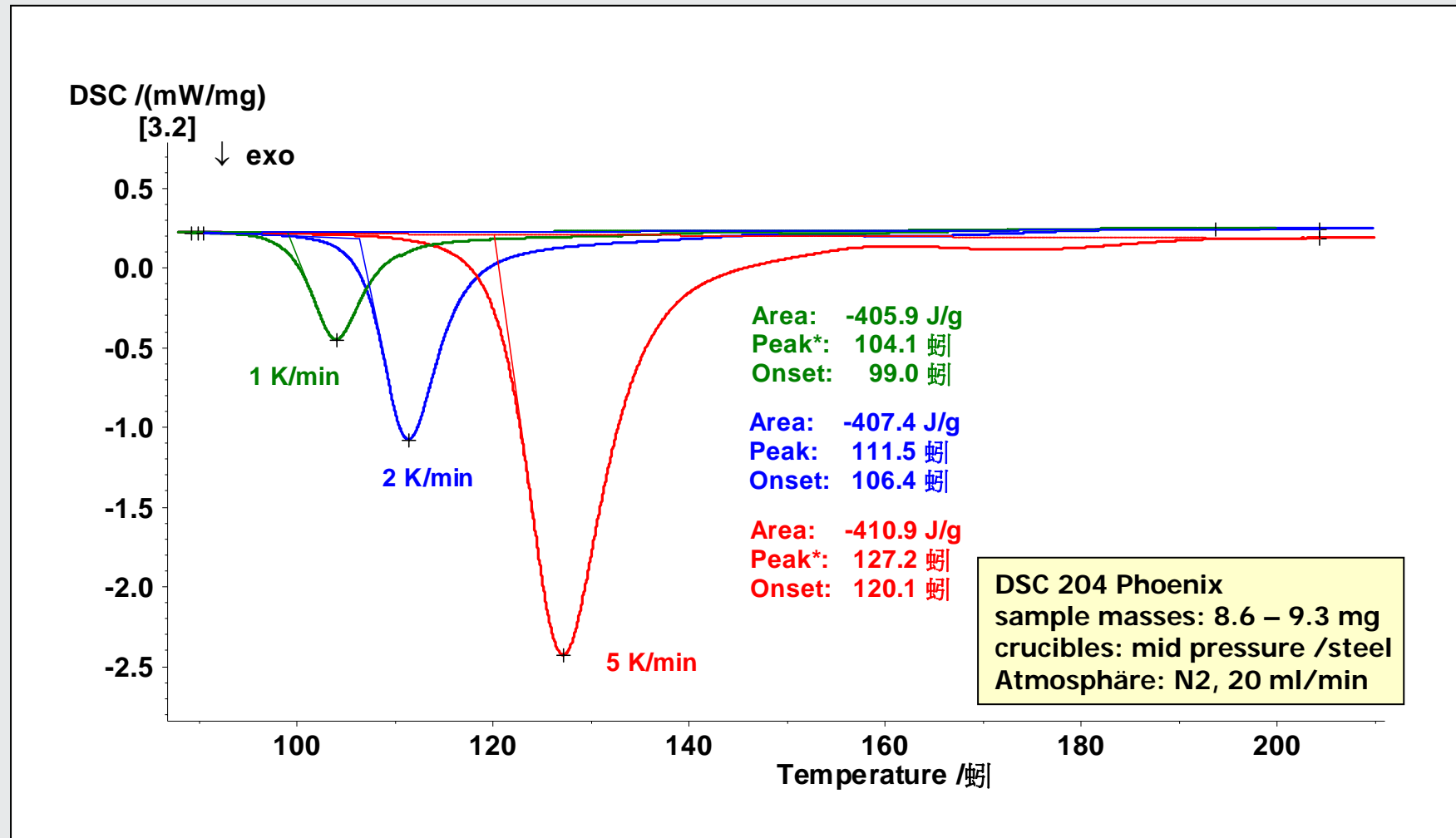
Wind power plants



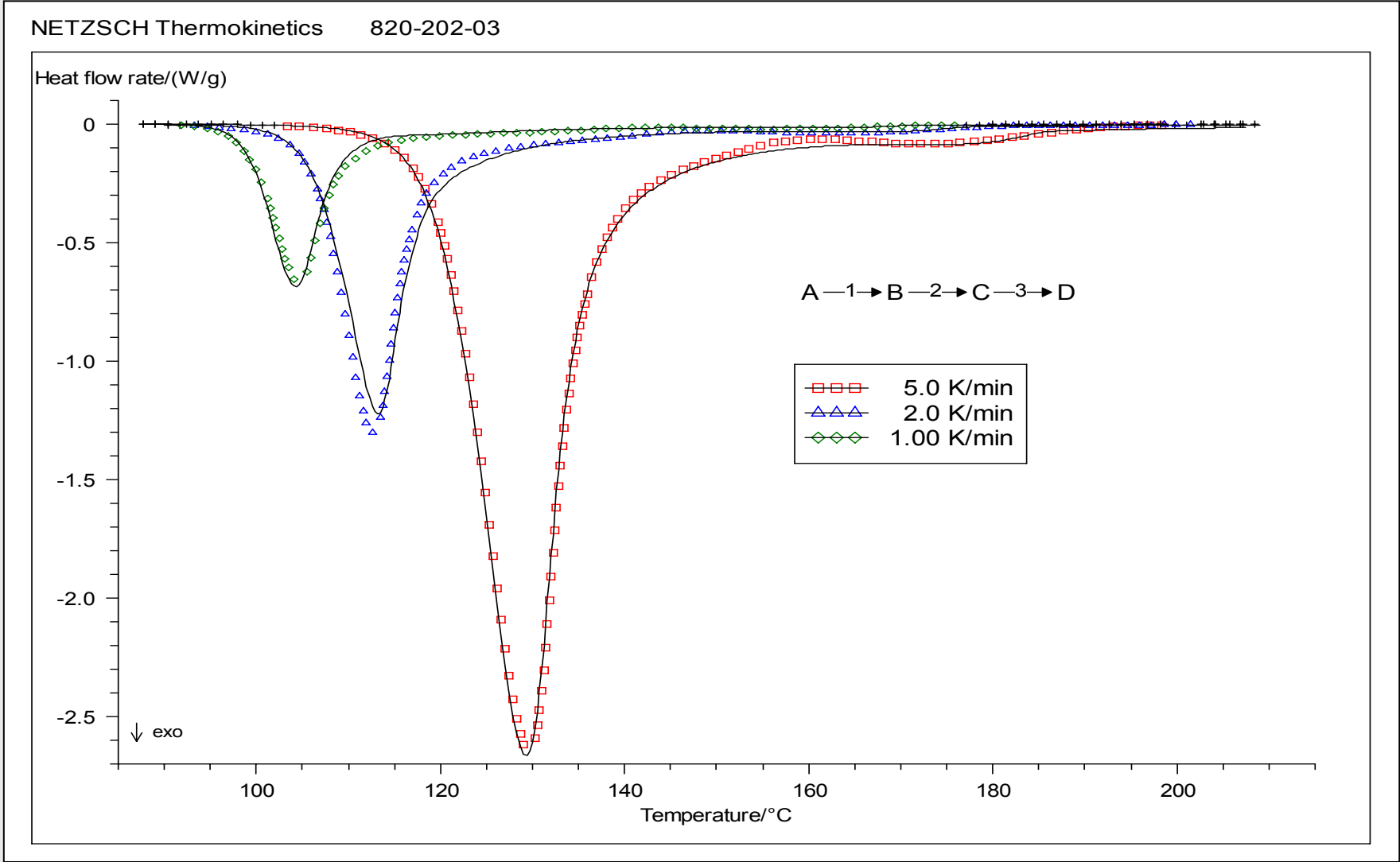
Curing of Polyester Resin



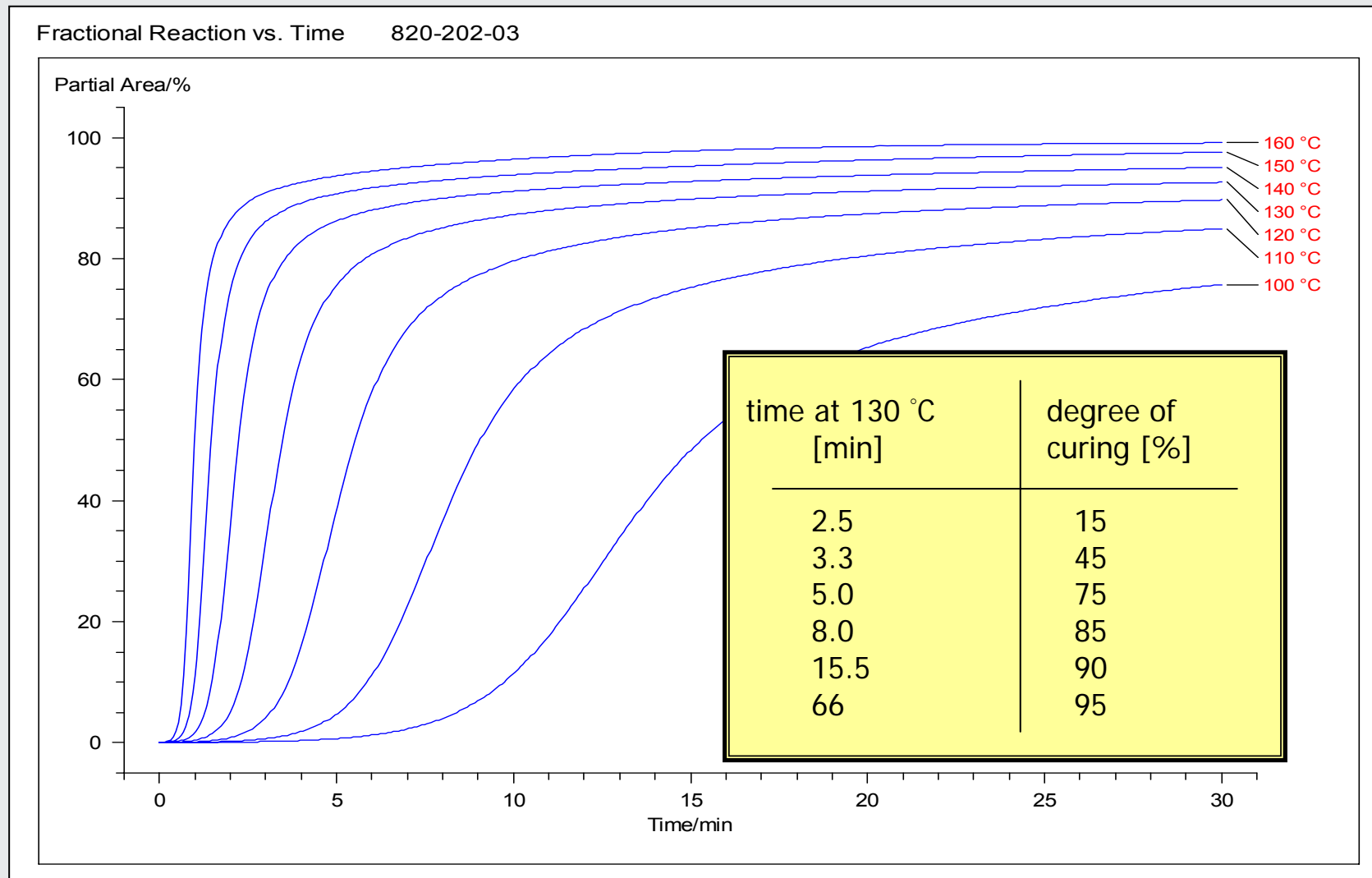
Curing of Polyester Resin



Curing of Polyester Resin (Thermokinetics)



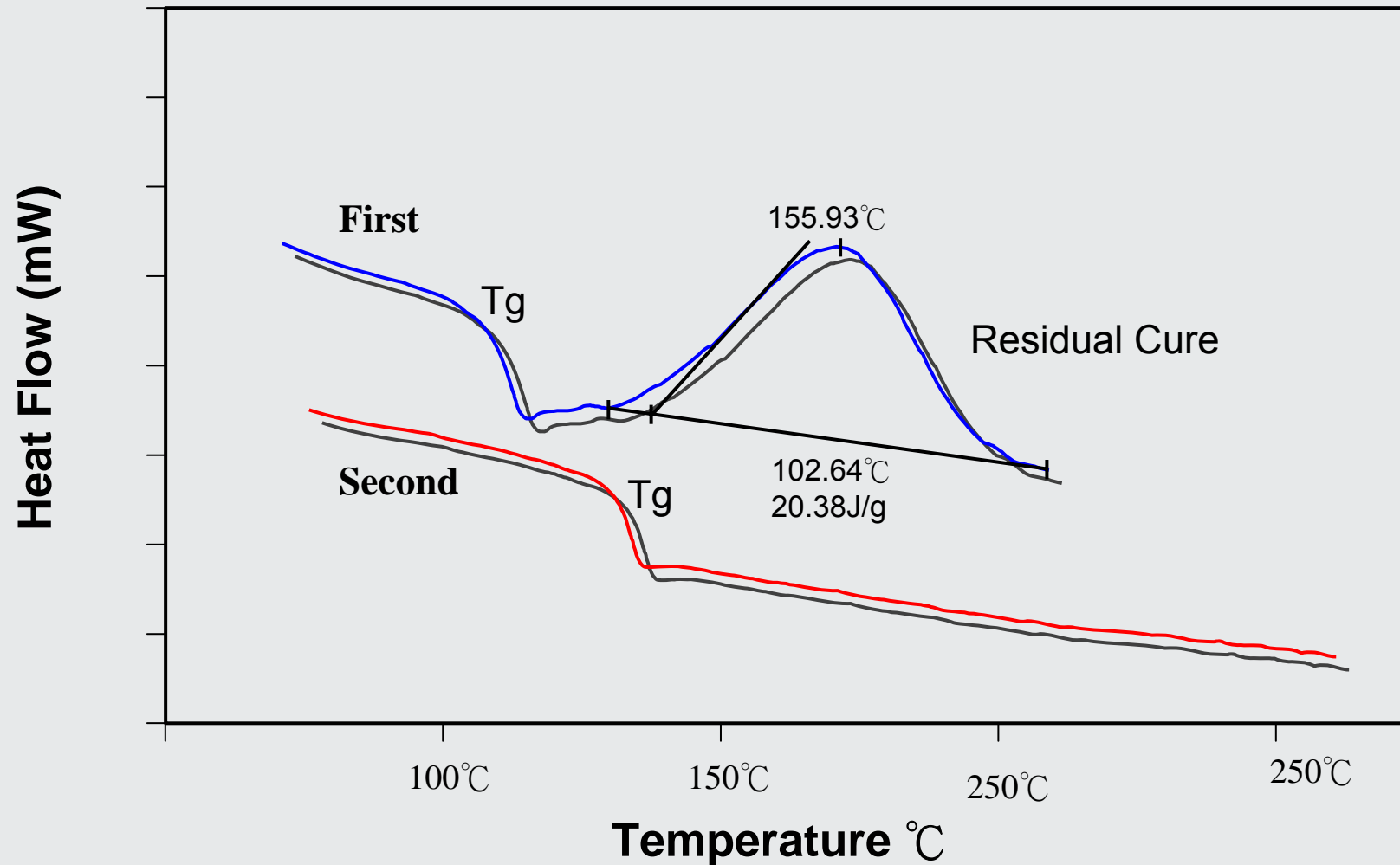
Curing of Polyester Resin (Predictions)



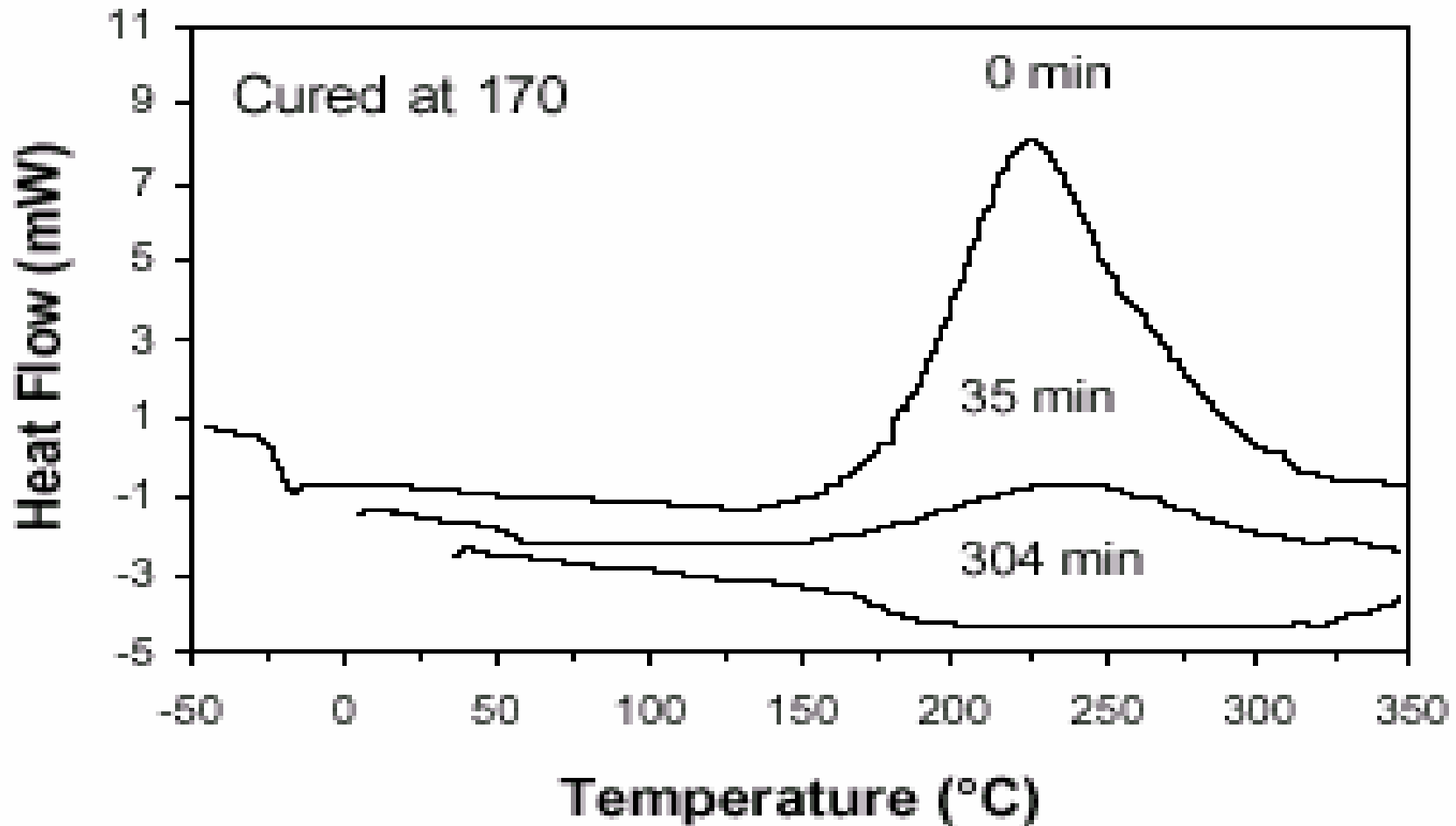
Thermal Analysis on Curing Monitoring of Thermosetting Resins



Thermoset: Comparison of First and Second Heating Runs



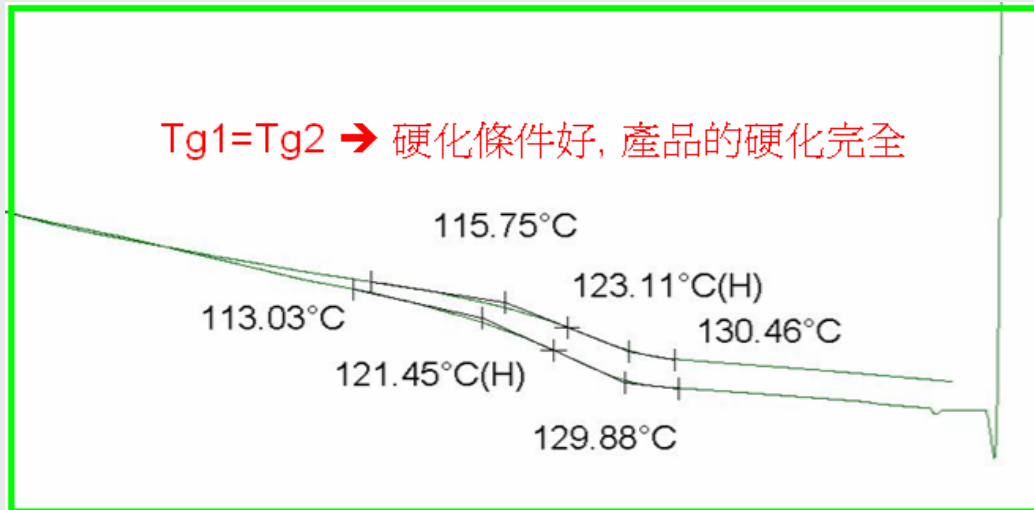
Thermoset: Isothermal Temp 170 Deg C
Different Isothermal test results comparison



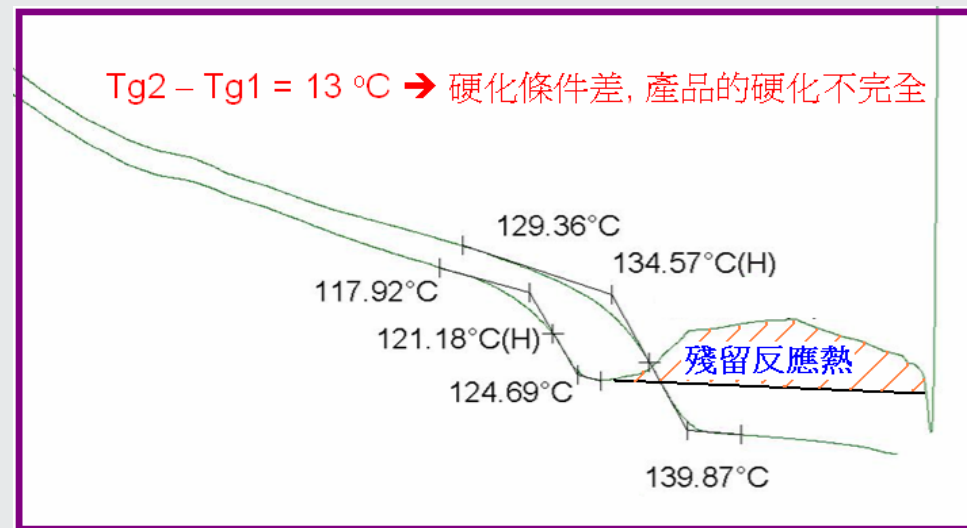
Tg1/Tg2 試驗法



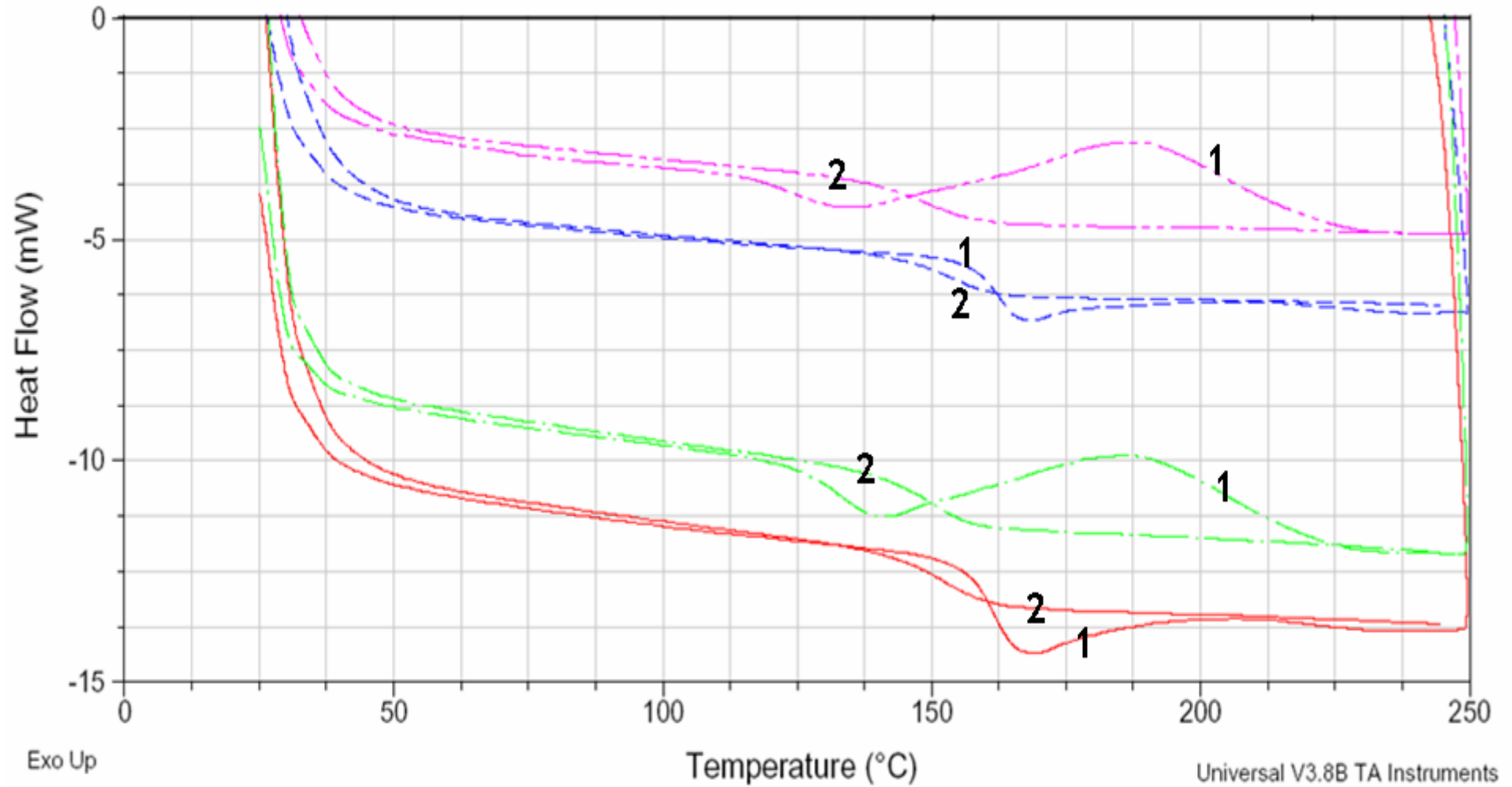
Tg1=Tg2 → 硬化條件好, 產品的硬化完全



Tg2 - Tg1 = 13 °C → 硬化條件差, 產品的硬化不完全



利用Tg1/Tg2的方式評價Epoxy是否完全固化?



常用DSC決定熱固型(Thermoset)材料
是否固化完全(Full Curing)的方法：Tg1/Tg2 試驗法



Step1 - 以20°C/min 掃描求出 Tg1

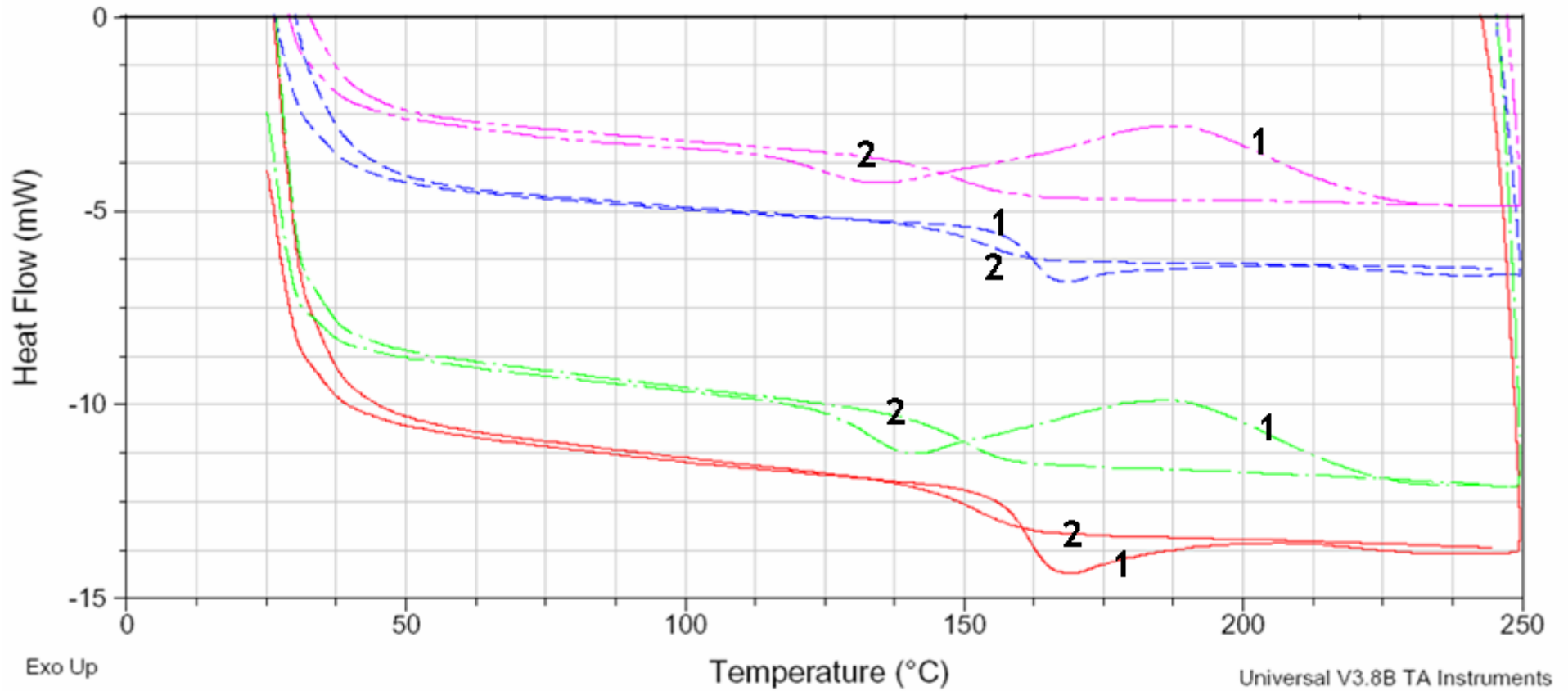
Step2 - 在一足夠高的溫度下 (如175 °C) 下烘烤 15min 以保證完全反應

Step3 - 再次以 20°C/min 掃描求出 Tg2

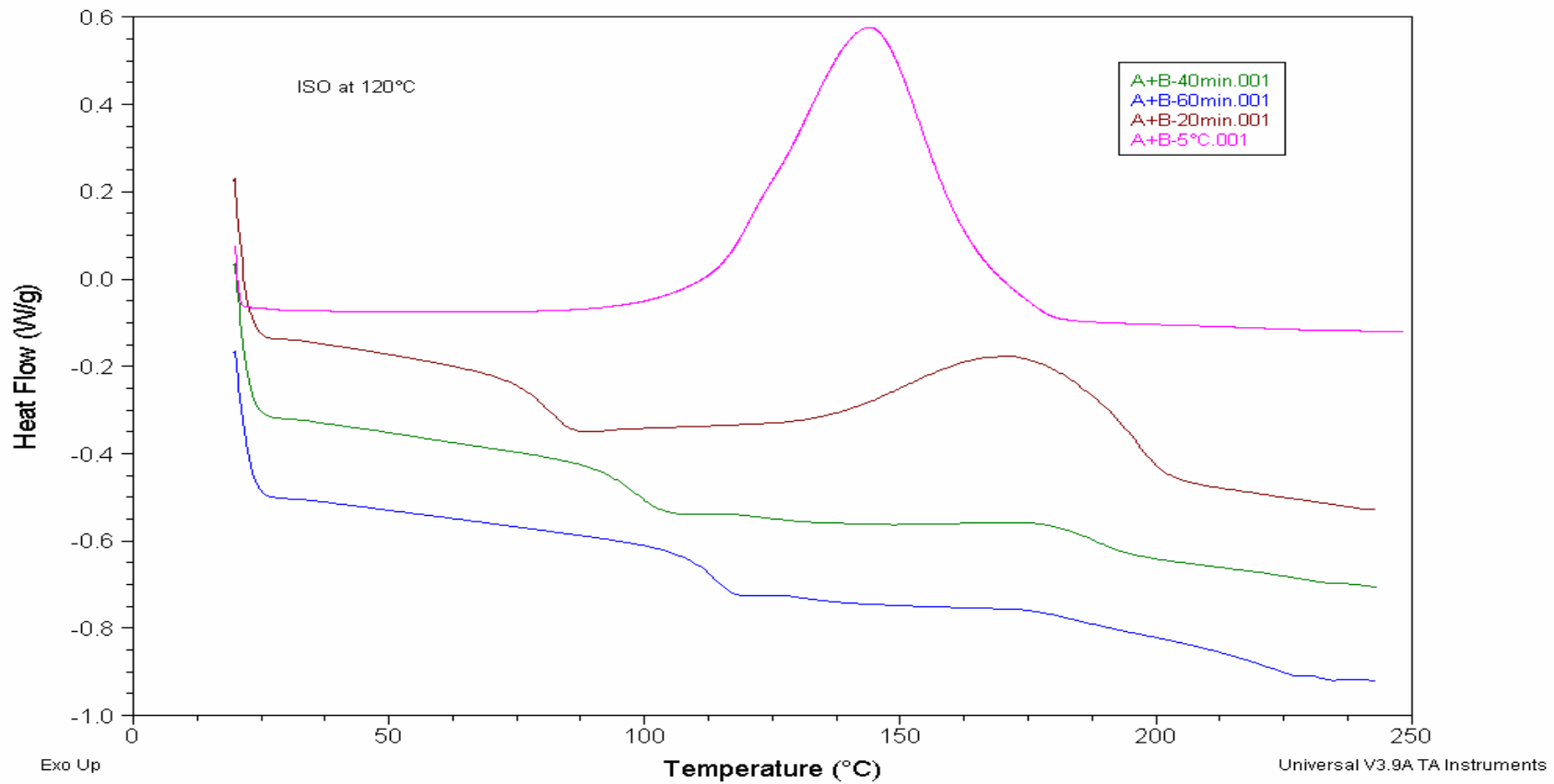
最終比較 Tg1 及 Tg2 二者, 依據以下規律判斷固化程度:

- | | | |
|-----------|---|-------------------|
| IF | $0\text{ }^{\circ}\text{C} \leq Tg2 - Tg1 \leq 5\text{ }^{\circ}\text{C}$ | 表示反應完全 |
| IF | $Tg2 - Tg1 > 5\text{ }^{\circ}\text{C}$ | 表示反應不完全 |
| IF | $0\text{ }^{\circ}\text{C} > Tg2 - Tg1$ | 表示LED耐熱性不佳 |

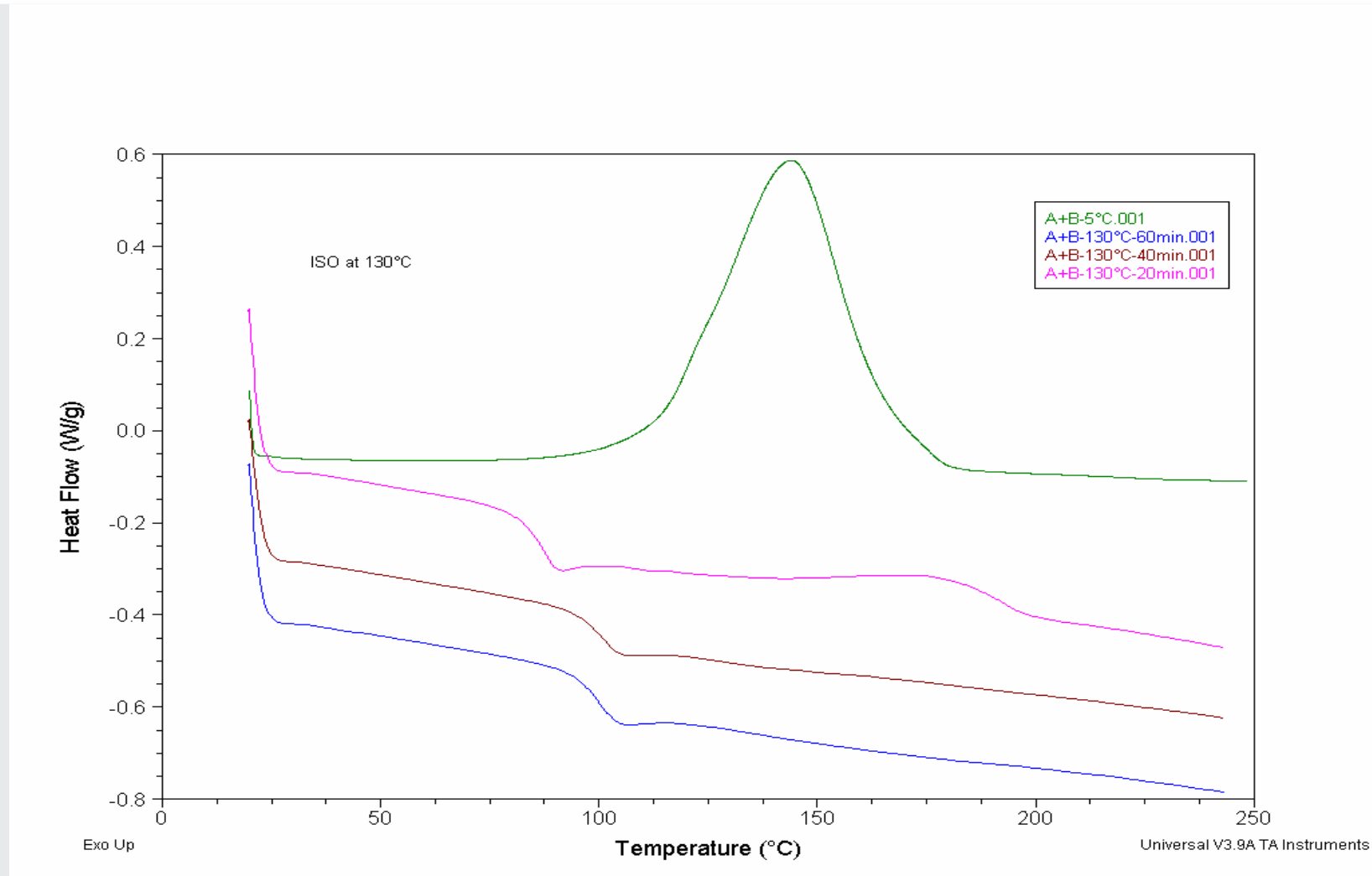
利用Tg1/Tg2的方式評價Epoxy是否完全固化？



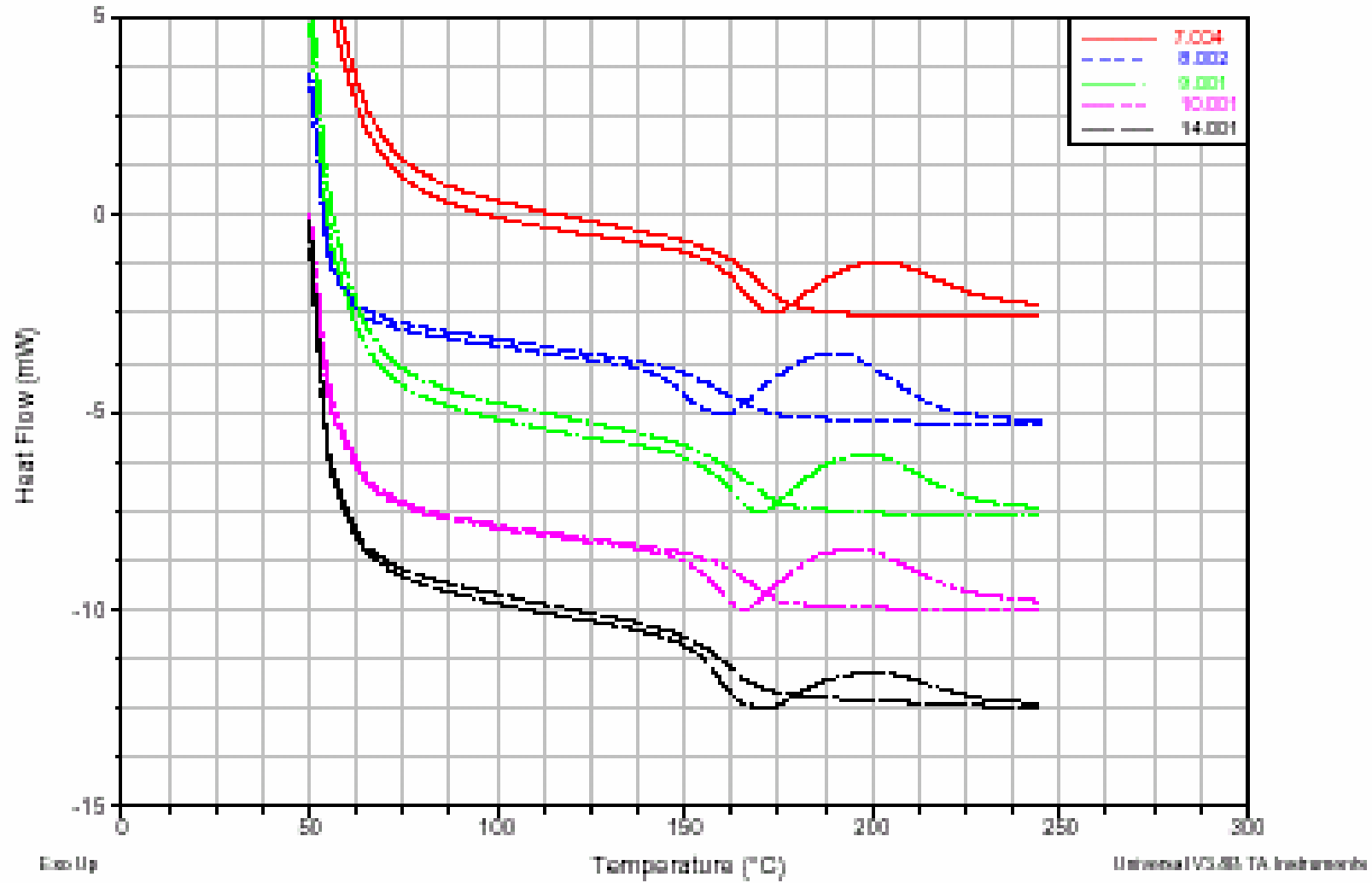
DSC: Determination of % Cure



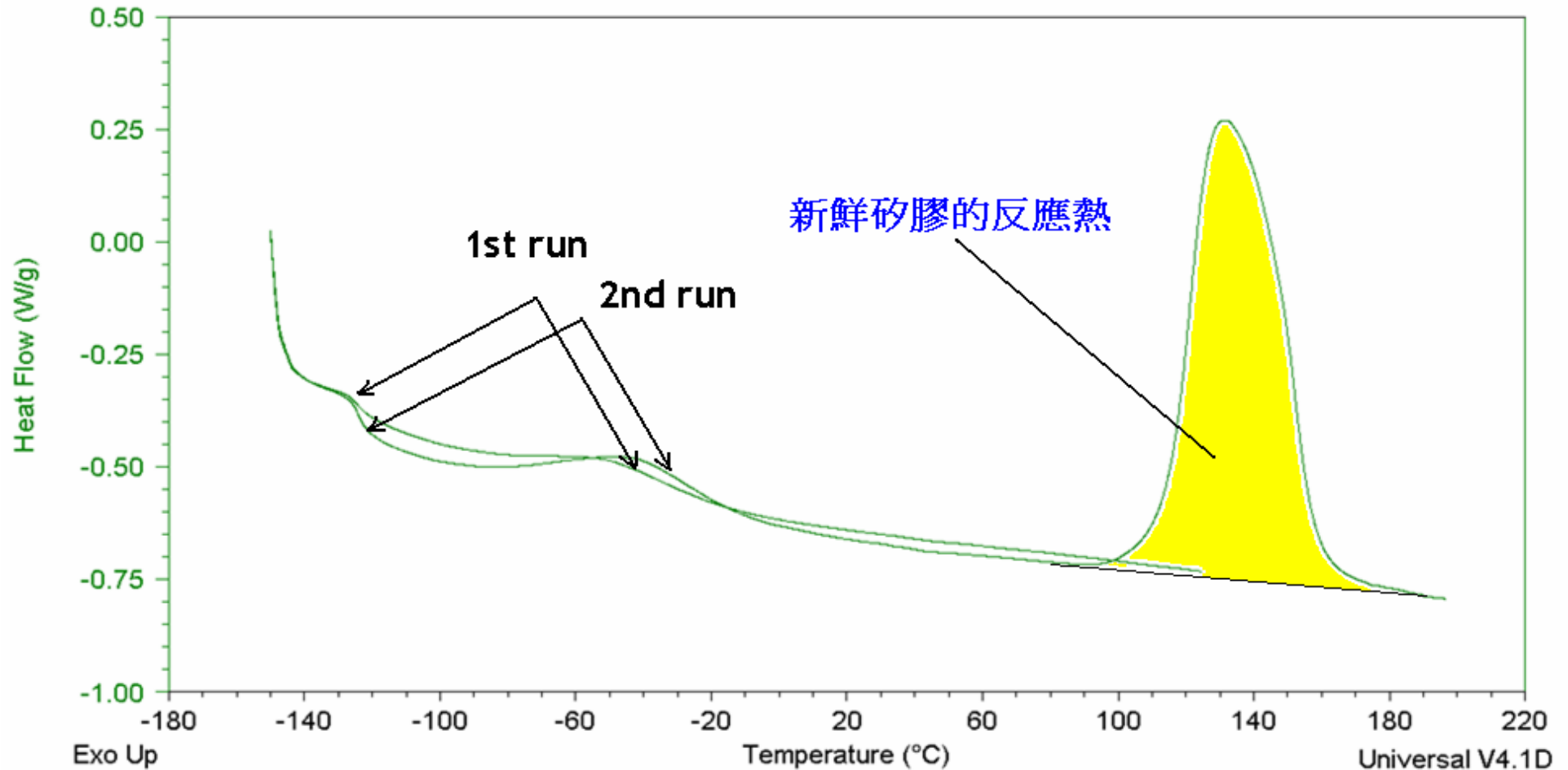
DSC: Determination of % Cure



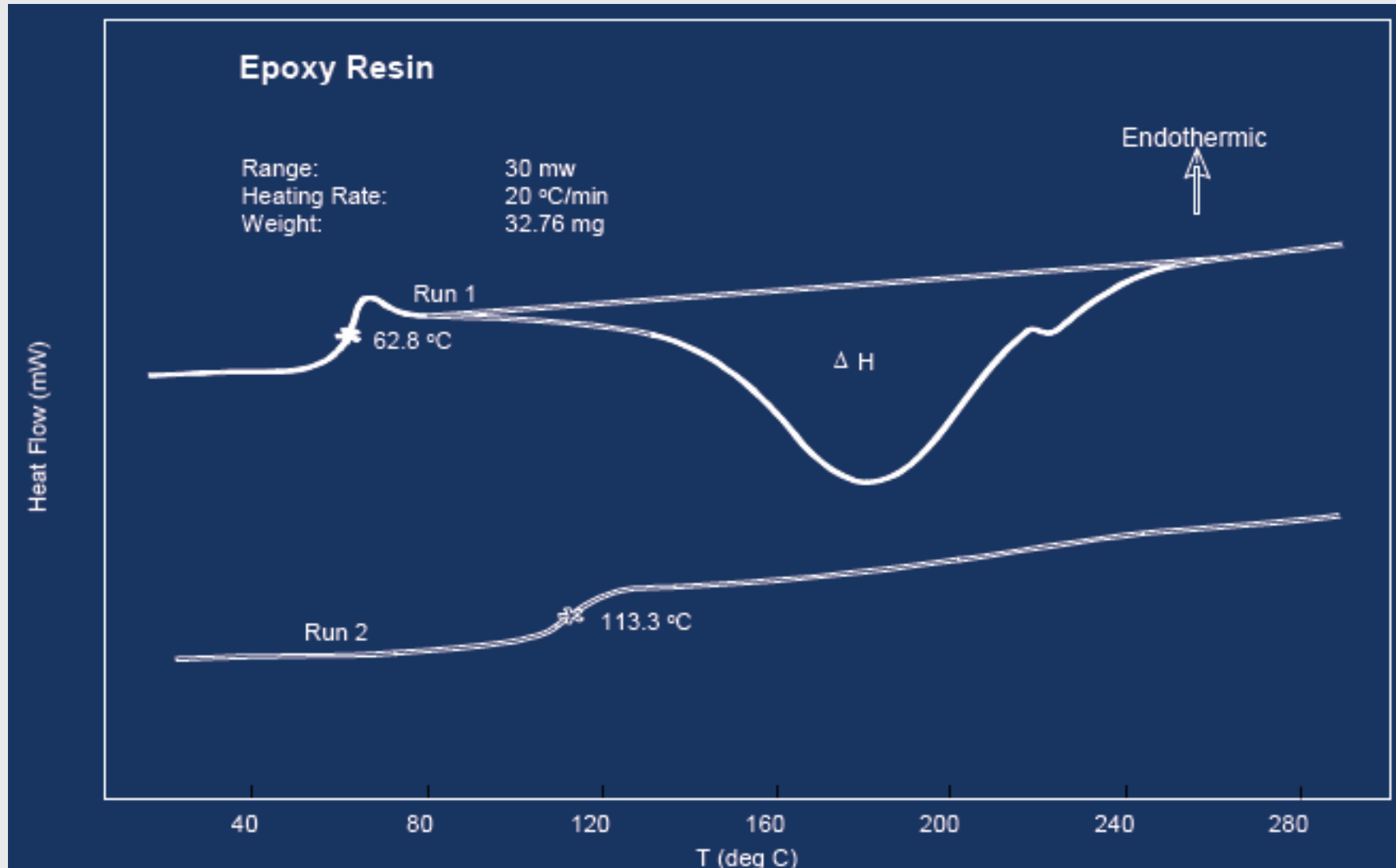
DSC: SAME BEKING TEMP. DIFFERENT FURANCE



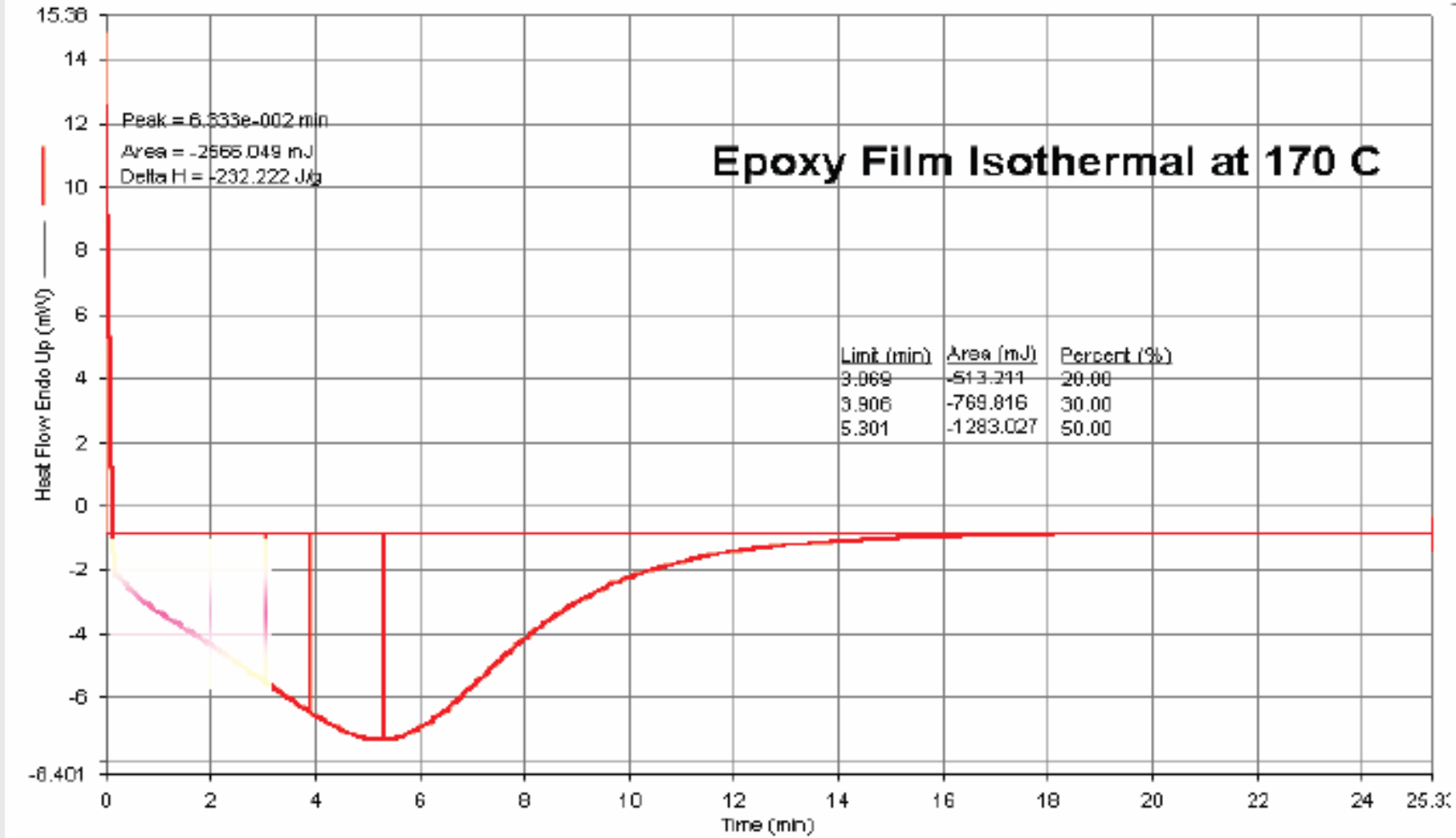
以DSC觀察矽膠封裝的行為



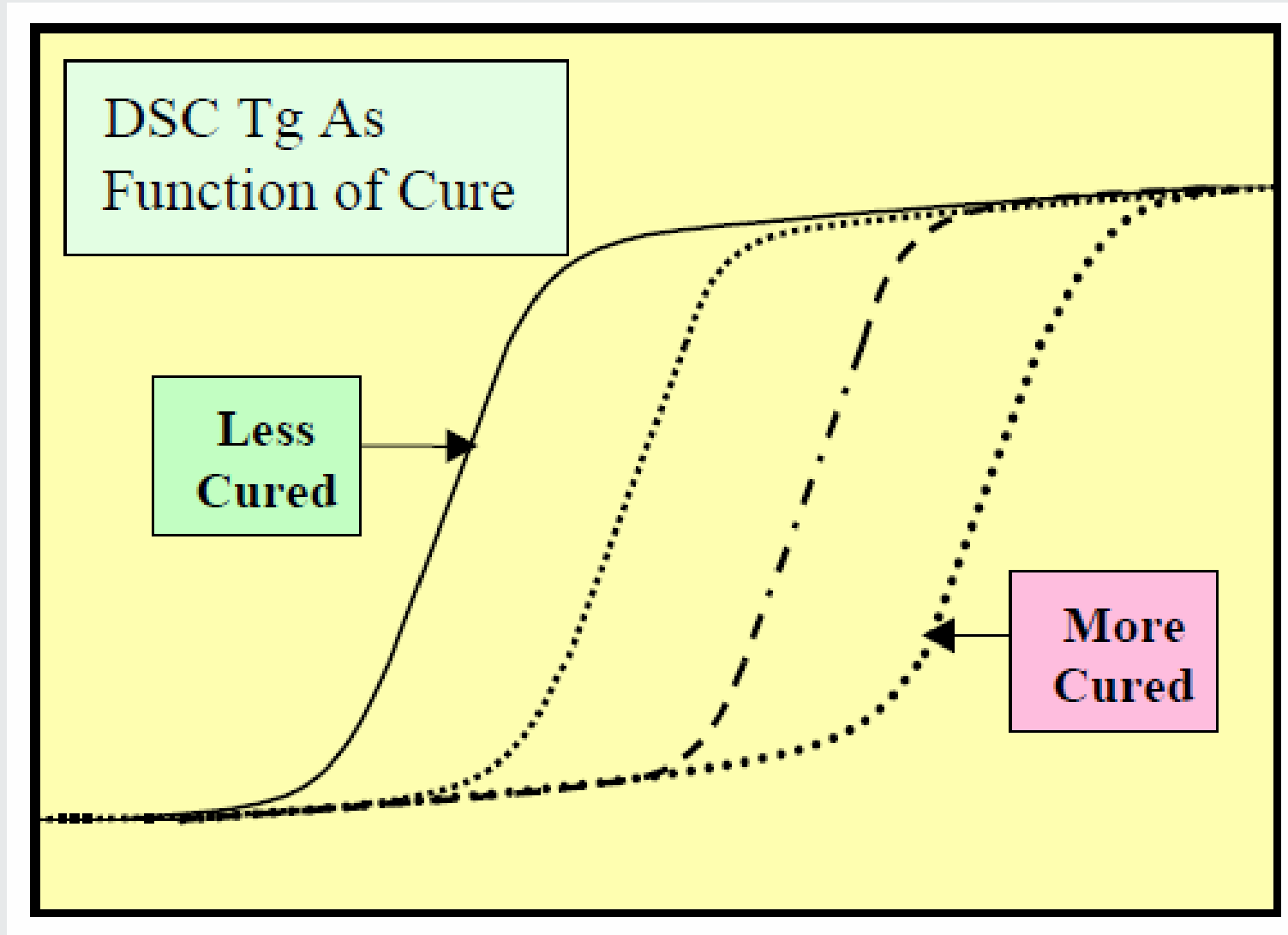
Cross-linking upon heating



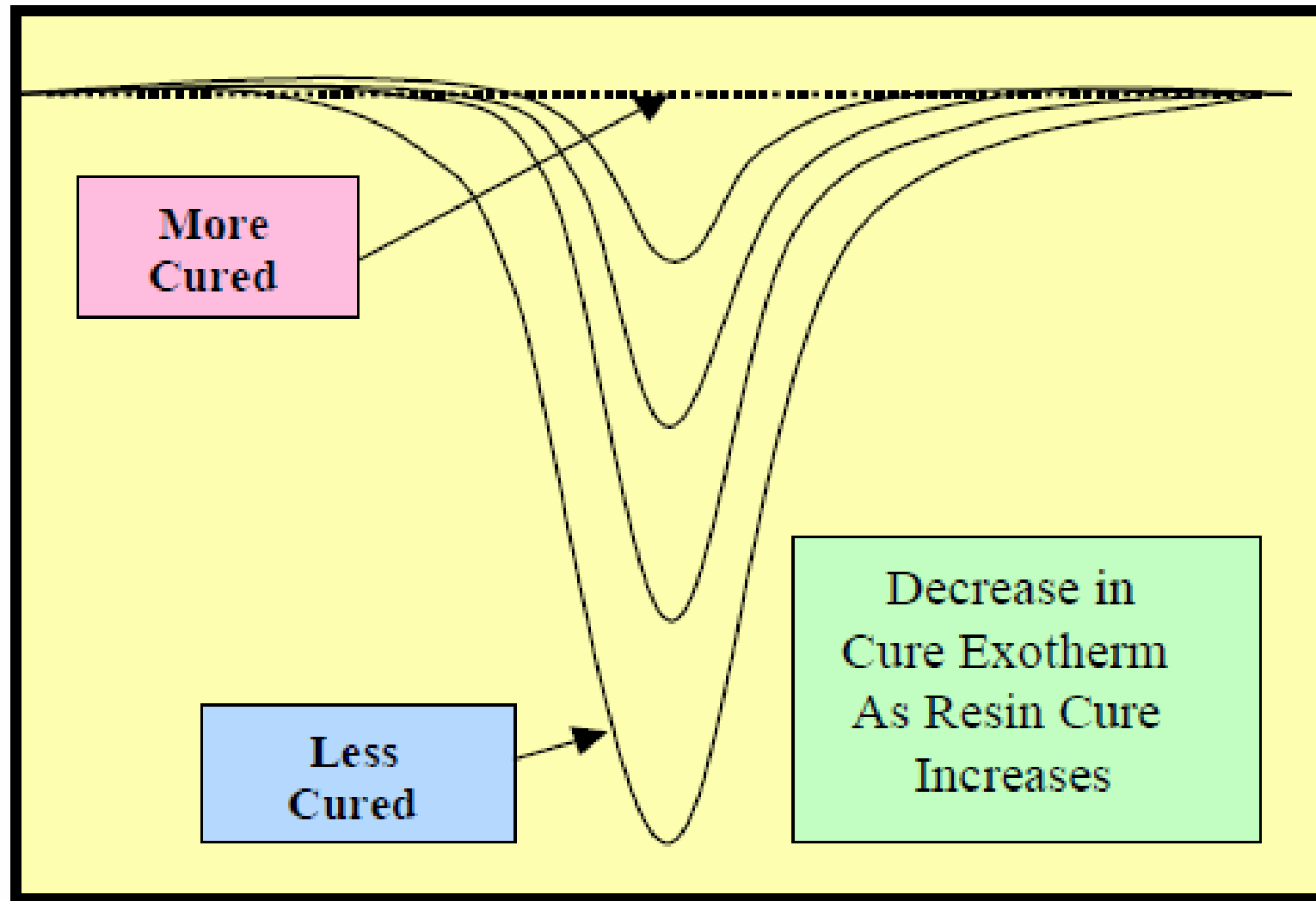
Cross-linking upon heating



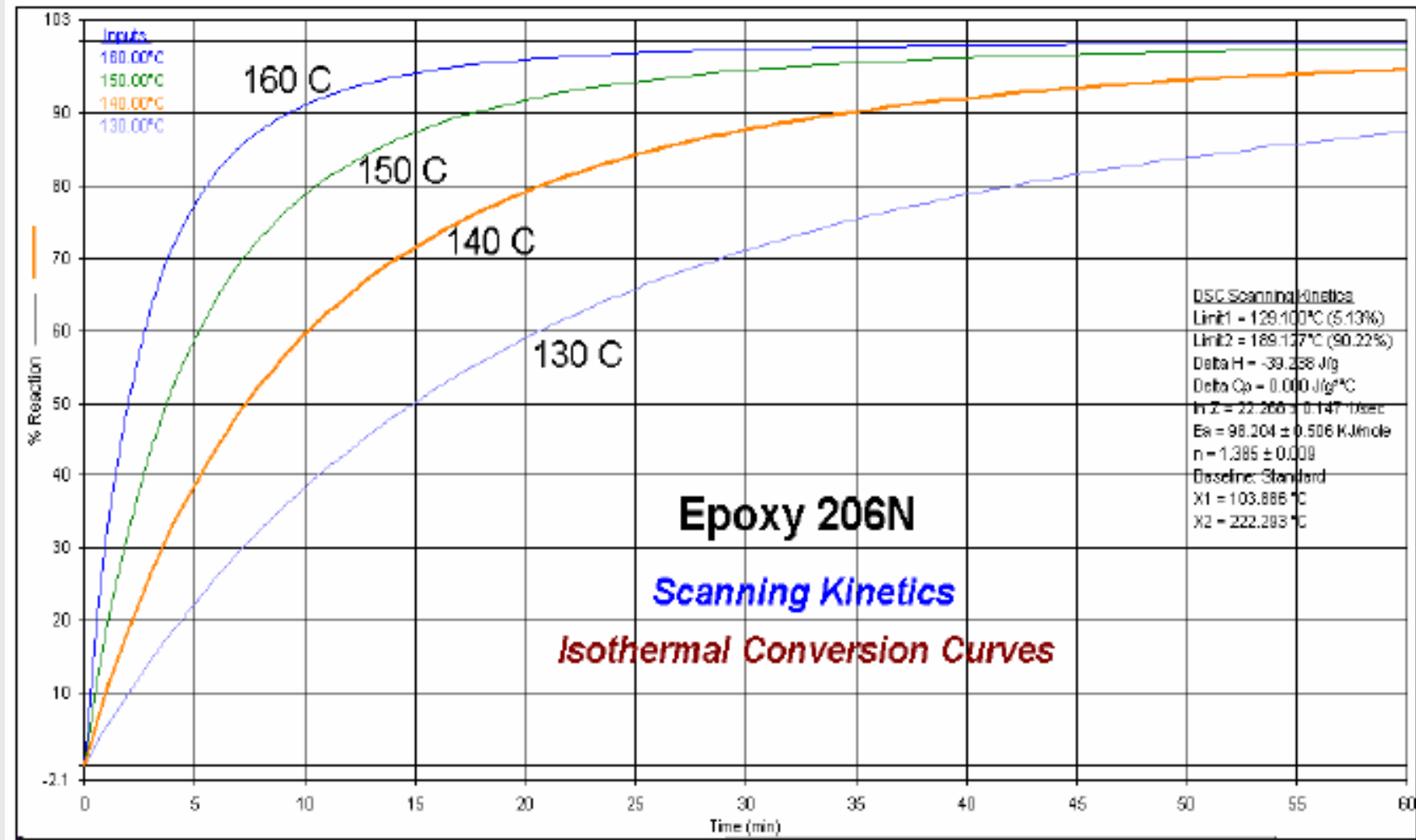
Degree of cross-linking



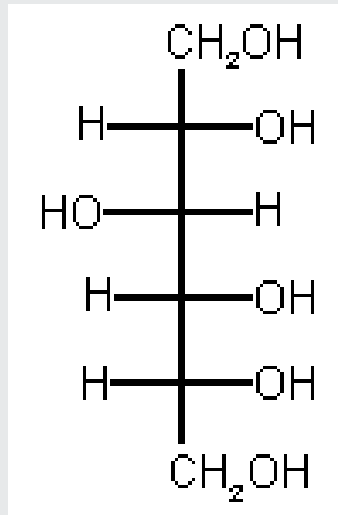
Degree of cross-linking



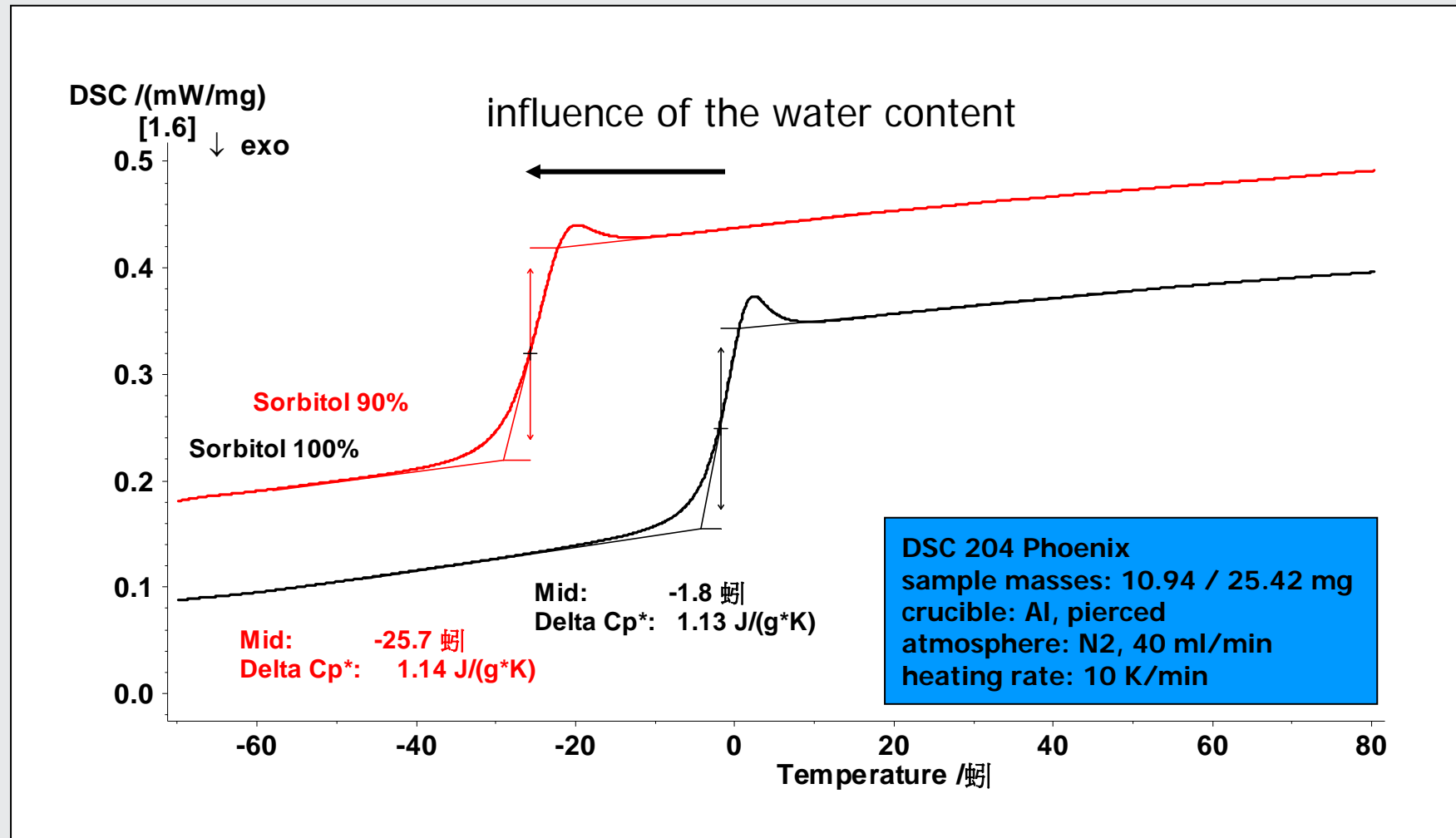
動力學分析-- Scanning Kinetics(Option)



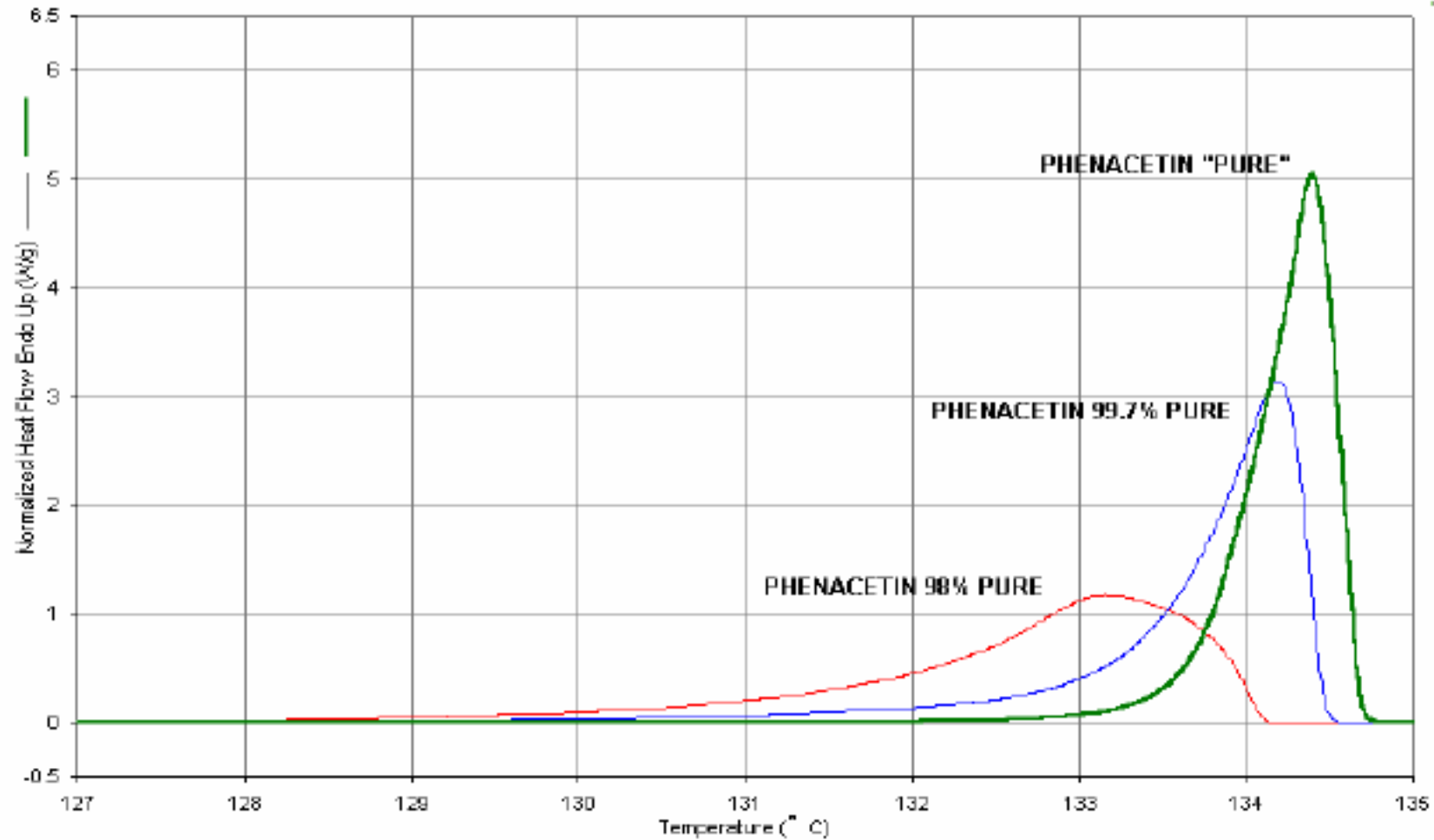
Application: Sorbitol



Application: Sorbitol

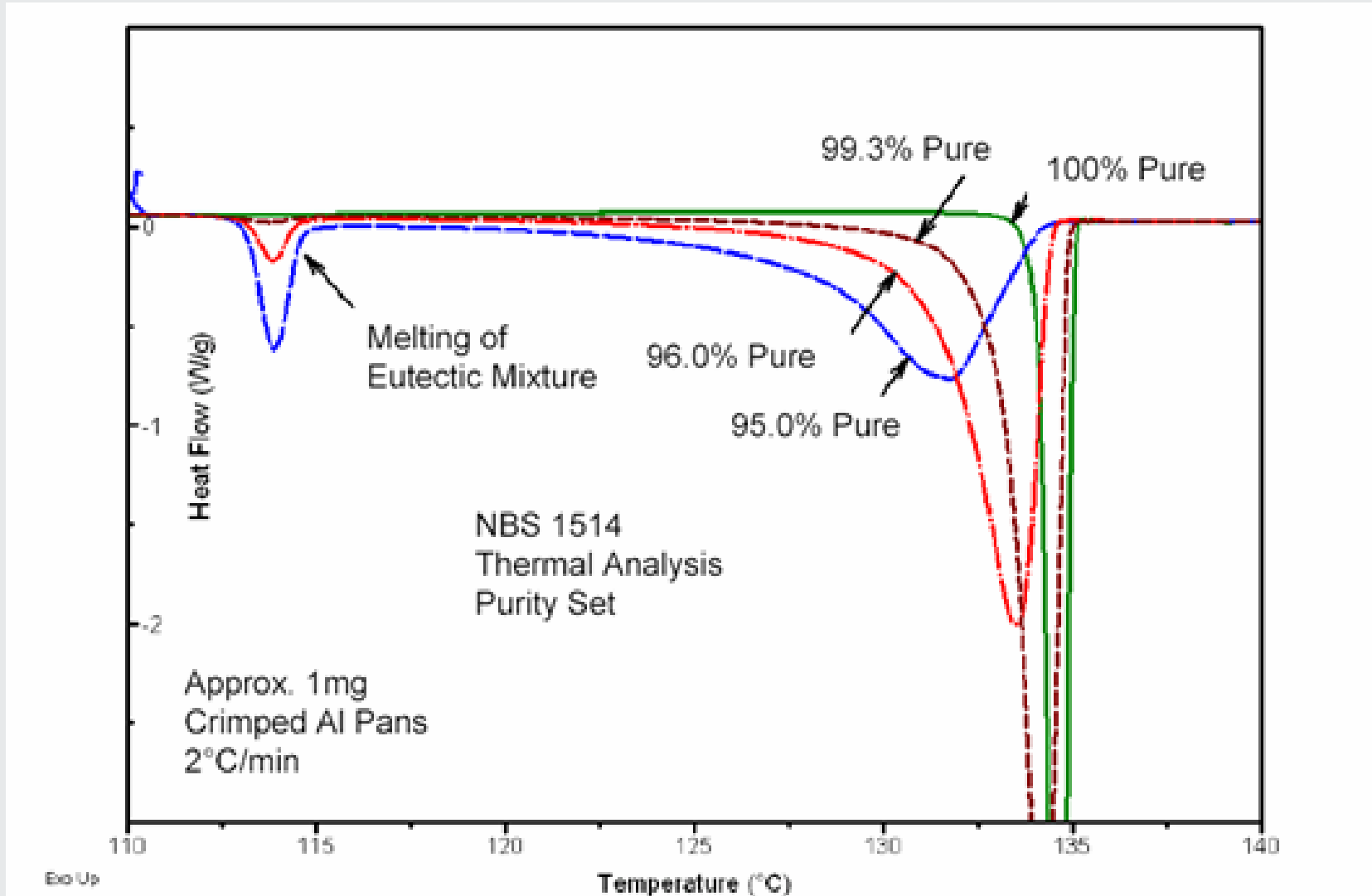


Determination of purity

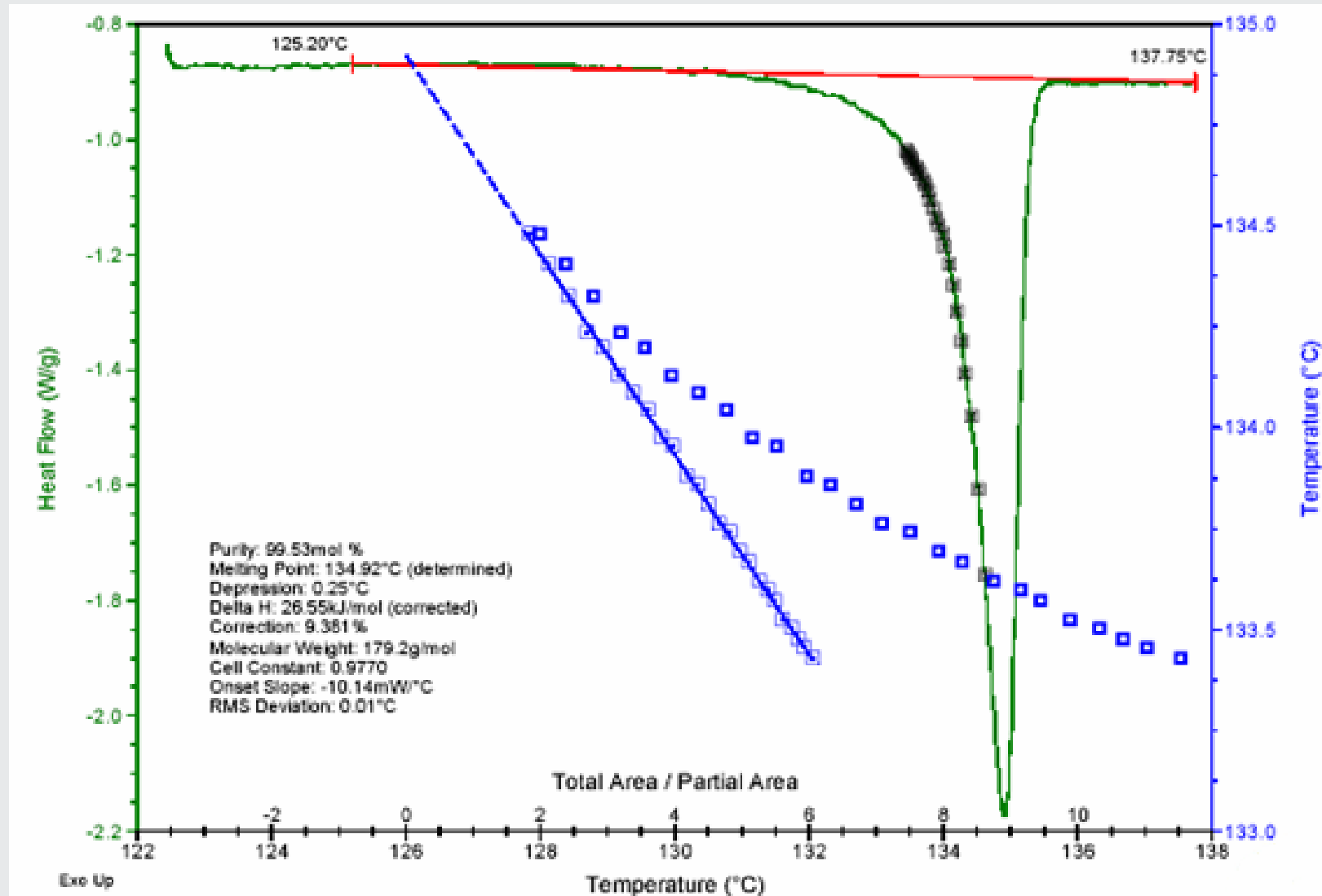


輸入分子量即可求出純度%

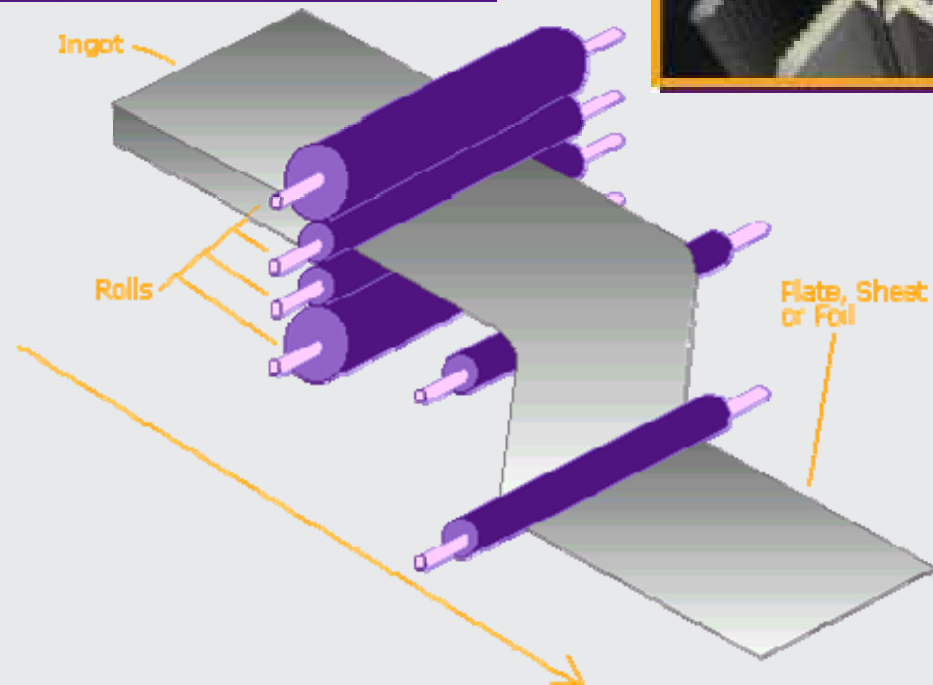
纯度对熔化的影响



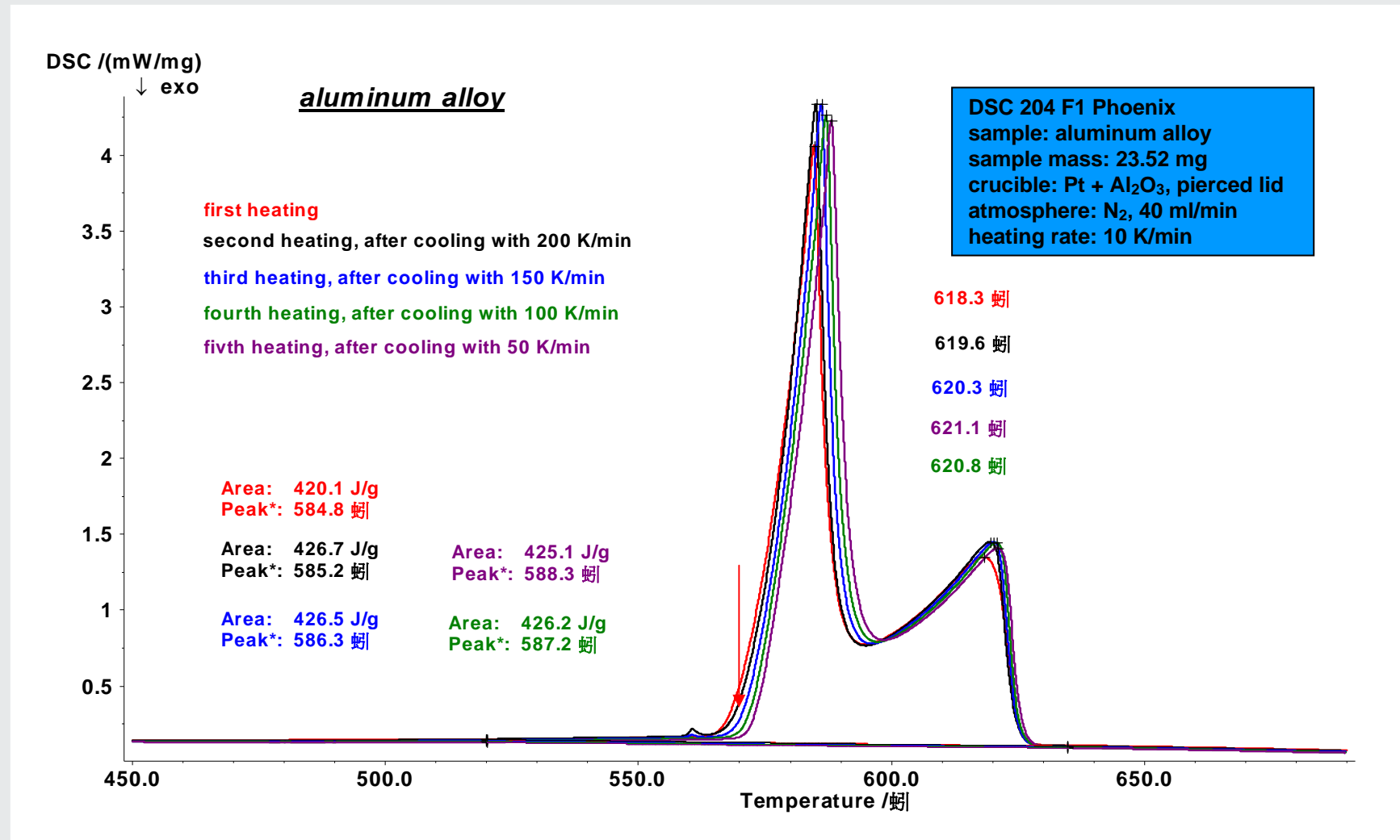
Van't Hoff 纯度计算



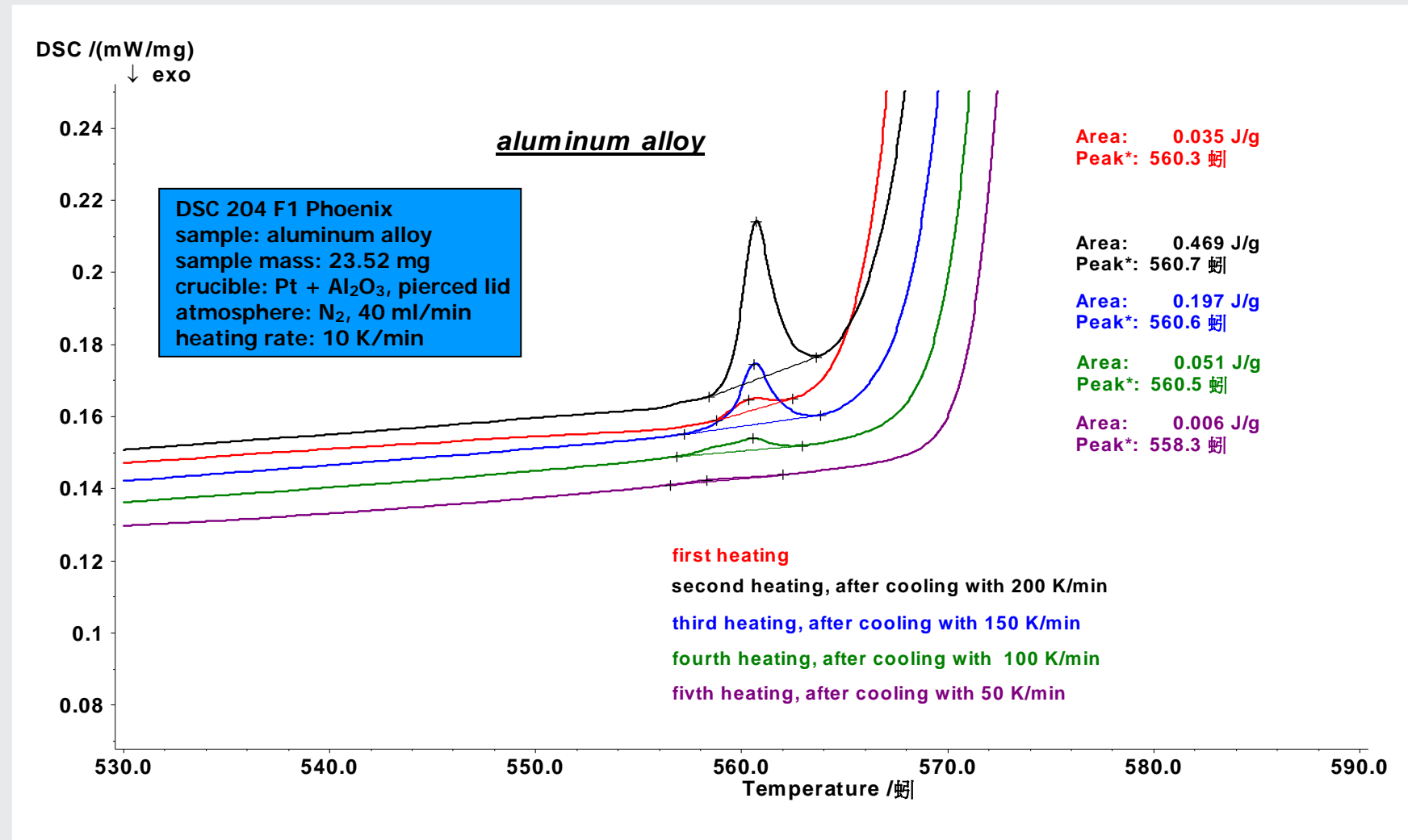
Application: Melting/Solidification of AlSi-Alloys



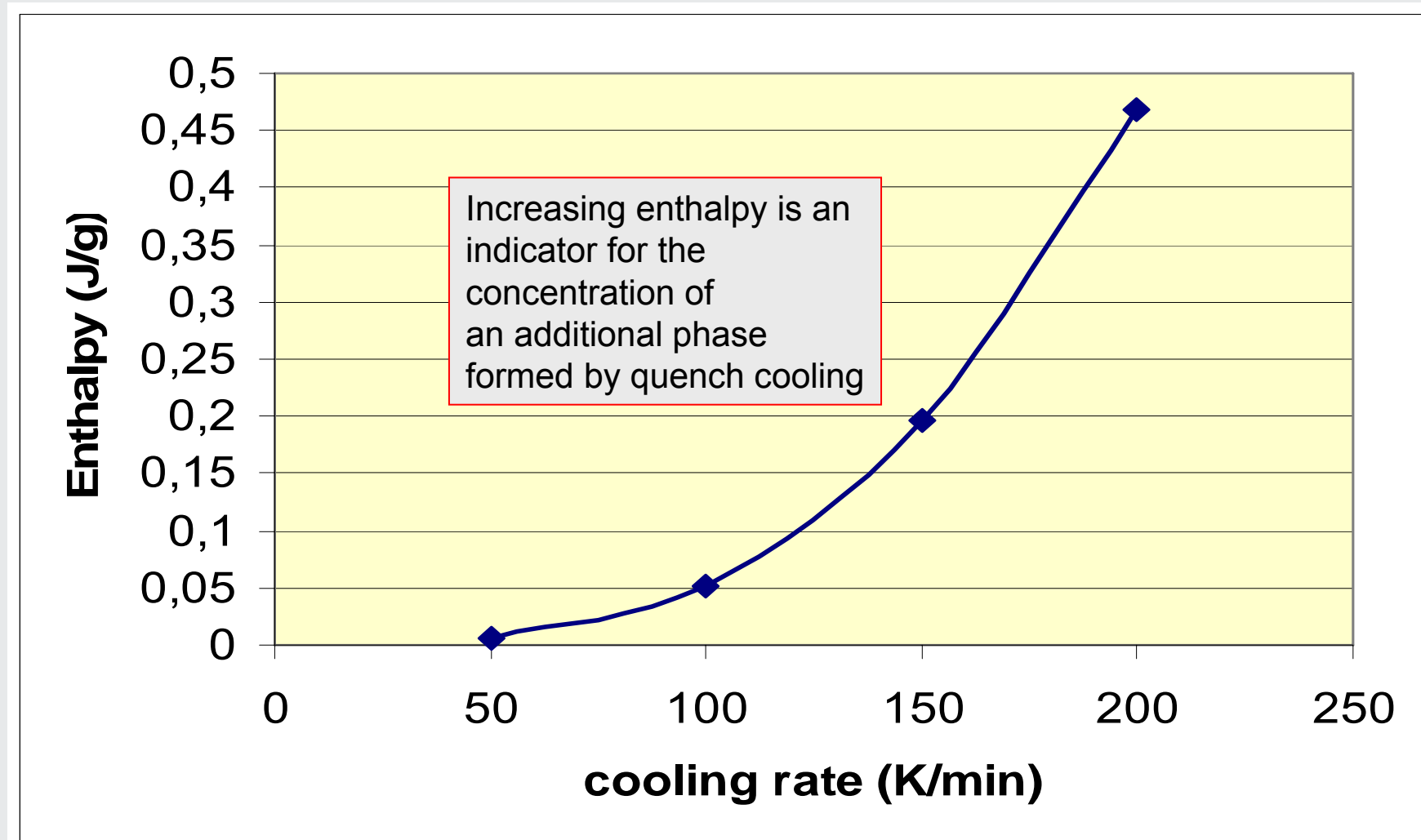
Application: Melting/Solidification of AlSi-Alloys



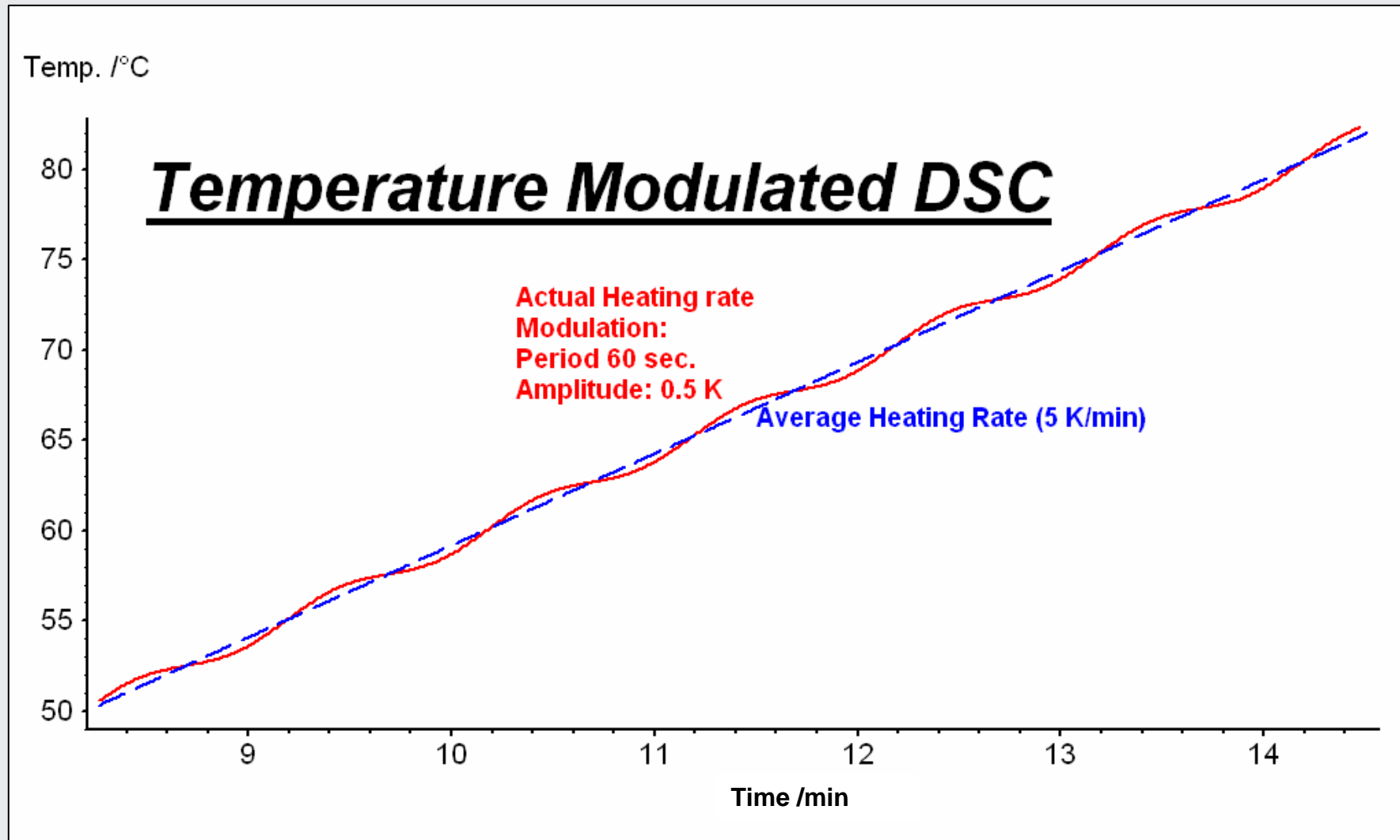
Application: Melting/Solidification of AlSi-Alloys



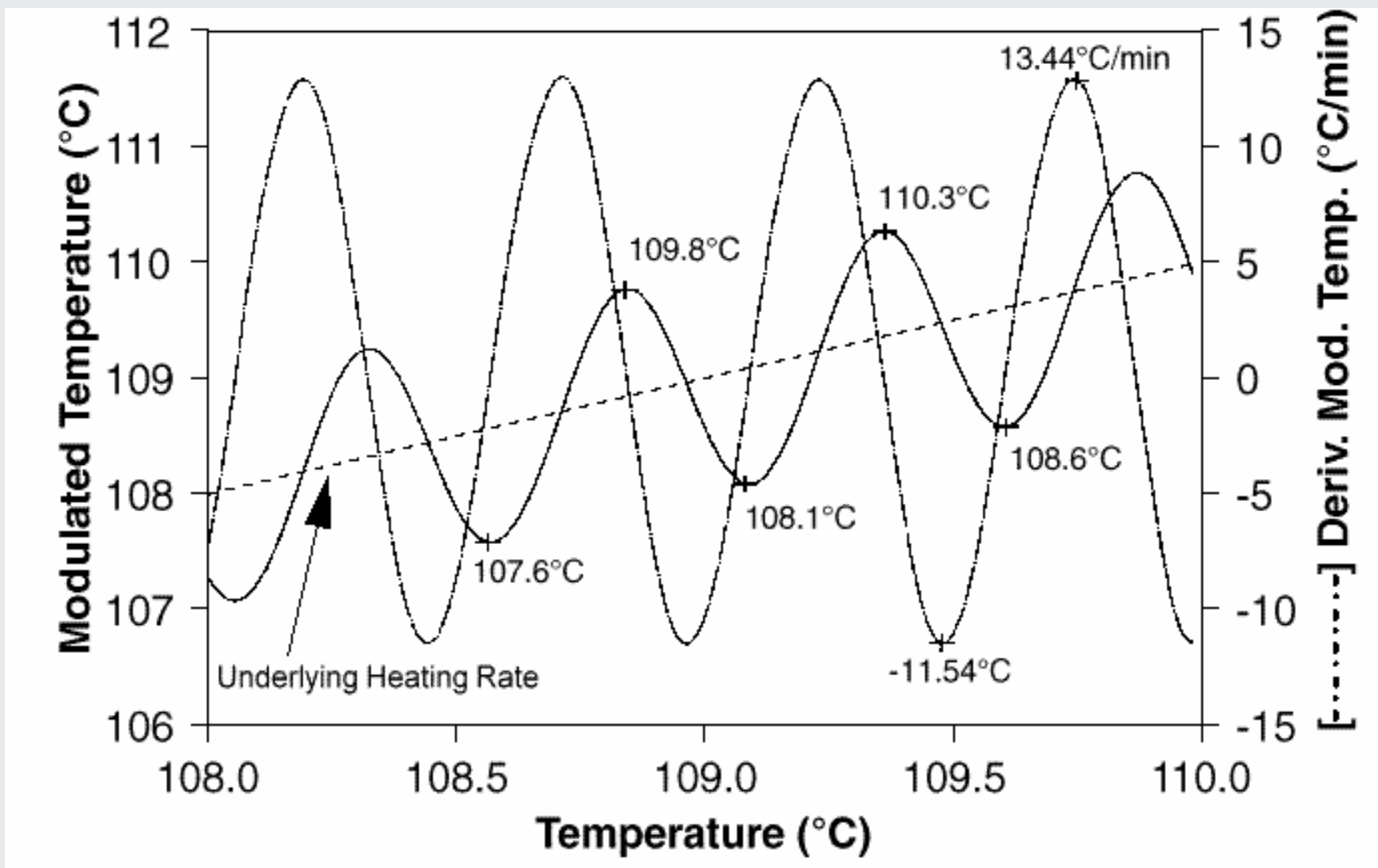
Application: Melting/Solidification of AlSi-Alloys



DSC 204 F1 – Temperature Modulation



TM-DSC 的加熱曲線圖(循環的加熱/冷卻)



傳統DSC的限制



- *基線彎曲及斜率改變影響微弱轉移偵測
- *無法同時得到解析度與靈敏度
- *無法測量絕對熱流改變,只能得到總熱流
- *無法分辨及分析重疊的轉移(如玻璃化轉移及焓緩和或應力鬆弛)
- *無法測量恒溫時比熱(C_p)改變
- *比熱(C_p)測試繁瑣
- *基線彎曲及斜率改變影響微弱轉移偵測
- *無法準確量測初始結晶度
- *無法直接測量熱傳導係數

TM-DSC 主要的好處

- 同時得到高靈敏度及高解析度.
- 絕對熱流的測量
- 直接比熱測量(改進傳統DSC繁瑣測量方式).
- “擬恆溫”的條件下量測材料比熱的變化.
- “擬恆溫”的條件下量測材料冷結晶之現象.
- 將複雜的相轉移現象分解為簡單易判斷的成份.
- 能夠決定材料之初始結晶度(ie. Initial Crystallinity).
- 消弭基線影響以取得微弱轉移溫度的測量.
- 解決傳統DSC所無法測試及解釋的現象
- 量測熱傳導率.

TM-DSC 如何不同於DSC ?



實驗參數需要編輯那些?

<u>DSC</u>	<u>TM-DSC</u>	<u>COMMENTS*</u>
線性升溫速率	線性升溫速率	TM-DSC的範圍由恆溫 -10 °C/min
	溫度的振盪幅度	範圍由+/-0.01-10°C/min
	溫度的振盪周期	範圍由+/-0.01-10°C/min

TM-DSC 如何不同於DSC ?



<u>DSC</u>	<u>TM-DSC</u>	<u>COMMENTS</u>
可獲得那些資訊? 總熱流	振盪熱流	兩者都包含了樣品在測試其間所有發生的熱事件資訊.
	總熱流	在相同的平均加熱速率 MDSC 與DSC的總熱流訊號是相同.
	可逆熱流	屬於總熱流中的比熱成分
	不逆熱流	屬於總熱流中的動力成分
	比熱	

瞬間熱流改變(DSC vs TM-DSC)



DSC

$$dQ/dt = C_p (\beta) + f(t, T)$$

where: dQ/dt = 總熱流
 C_p = 比熱
 T = 絕對溫度
 $C_p (\beta)$ = 比熱成份
 $f(t, T)$ = 動力成份

TM-DSC

$$dQ/dt = C_p (\beta + AT \omega \cos \omega t) + A_k (\sin \omega t) + f(T, t)$$

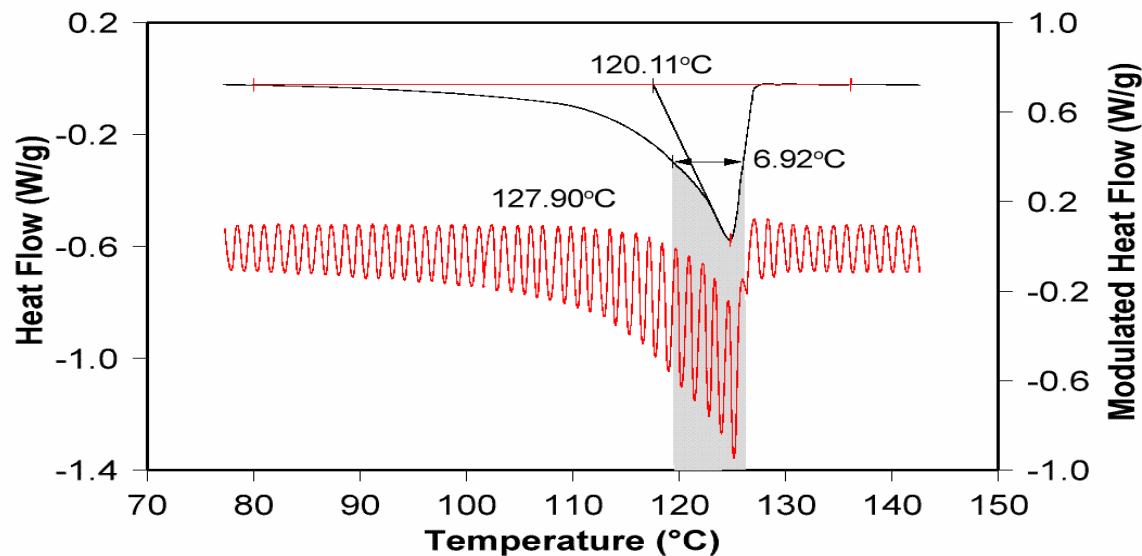
where $(\beta + AT \omega \cos \omega t)$ = 測到的加熱速率 (dT/dt)
 A_k = 振幅對溫度振盪的動力成份回應
 $f(T, t)$ = 在沒有溫度振盪的情形下的動力成份回應

TM-DSC 訊號的計算

綜論：

所有的TM-DSC之訊號是從以下三個基本量測訊號獲得的。

- 時間(Time)
- 振盪熱流(Modulated Heat Flow)
- 振盪溫度(Modulated Temperature)



$$\beta = \frac{T_{1/2}}{n P} 60s / \text{min}$$

Where:

$T_{1/2}$ = full width at half height

n = number of cycles

P = period

TM-DSC - 瞬間熱流改變



TM-DSC

$$dQ/dt = \underline{C_p (\beta + AT \omega \cos\omega t) + A_k (\sin \omega t) + f(T,t)}$$

= Reversing heating flow

玻璃轉移

熔點(some)

比熱

+ Nonreversing heat flow

焓松弛

氣化, 蒸發

冷結晶

裂解

固化或熟化

熔點(some)

Where $(\beta + AT \omega \cos\omega t) =$ 測到的加熱速率 (dT/dt)

AK = 振幅對溫度振盪的動力成分回應

f (T,t)= 在沒有溫度振盪的情形下的動力成分回應

總熱流是振盪熱流的平均值, 這結果與傳統DSC在相同平均升溫速率下的實驗值相同.

定義 : 樣品的所有熱事件的總和.

計算 : 利用傅利葉轉換的方法連續的將振盪熱流算出平均值.

可逆熱流是總熱流的比熱成份,將量測的比熱乘以平均加熱速率計算而得.

$$\text{可逆熱流} = -C_p \times \text{平均加熱速率}$$

計算的基礎

$$dQ/dt = C_p\beta + f(T,t)$$

where dQ/dt = 總熱流

C_p = C_p 量測值

β = 平均加熱速率

$C_p\beta$ = 總熱流的比熱成份(可逆的)

$f(T,t)$ = 總熱流的動力成份(不可逆的)

TM-DSC 訊號 - 不可逆熱流(動力成份)



不可逆熱流是總熱流的動力成份,係由總熱流扣除可逆熱流計算而得.

$$\begin{aligned} \text{不可逆熱流} &= \text{總熱流} - \text{可逆熱流} \\ &= dQ/dt - C_p\beta \end{aligned}$$

計算的基礎

$$dQ/dt = C_p\beta + f(T,t)$$

where $dQ/dt =$ 總熱流

$C_p =$ C_p 量測值

$\beta =$ 平均加熱速率

$C_p\beta =$ 總熱流的比熱成份(可逆的)

$f(T,t) =$ 總熱流的動力成份(不可逆的)

DSC 204 F1 – TM-DSC-Parameter Input



DSC 204 F1 on 1-414/F1 ; Measurement

File Edit View Measurement Graph Tools Diagnosis Extras Help

DSC 204 F1 Temperature Program Definition

Temperature Steps

Id	Type	°C	K/min	Time	Period	Ampl.	pts/min	pts.K	STC	Co	O2	II2	II2	IC	BC
1		-50.0						-45.0 °C	<input checked="" type="checkbox"/>	<input type="checkbox"/>	0	20	20	<input checked="" type="checkbox"/>	<input type="checkbox"/>
2		-50.0		0:10:00			10.00		<input checked="" type="checkbox"/>	<input type="checkbox"/>	0	20	20	<input checked="" type="checkbox"/>	<input type="checkbox"/>
3		100.0	5.000	0:30:00	60	0.5	120.00		<input checked="" type="checkbox"/>	<input type="checkbox"/>	0	20	20	<input checked="" type="checkbox"/>	<input type="checkbox"/>

Step Conditions

- STC
- Cooling
- Purge 1 MFC
 - Flow active
 - OXYGEN 0 ml/min
- Purge 2 MFC
 - Flow active
 - NITROGEN 20 ml/min
- Protective MFC
 - Flow active
 - NITROGEN 20 ml/min
- Intracooler
- Boostercooler

Category

End temperature: 400.0 °C
 Heating Rate: 5.000 K/min
 Period: 60 seconds
 Amplitude: 0.5 K

Step Category

- Initial Standby
- Initial
- Dynamic
- Dynamic modulated**
- Isothermal
- Isothermal modulated
- Final
- Final Standby

Please enter a number between 10 and 300

Acq. rate defaults: Standard High

Points
 Segment: 10788
 Total: 3700

Total Time: 00:40

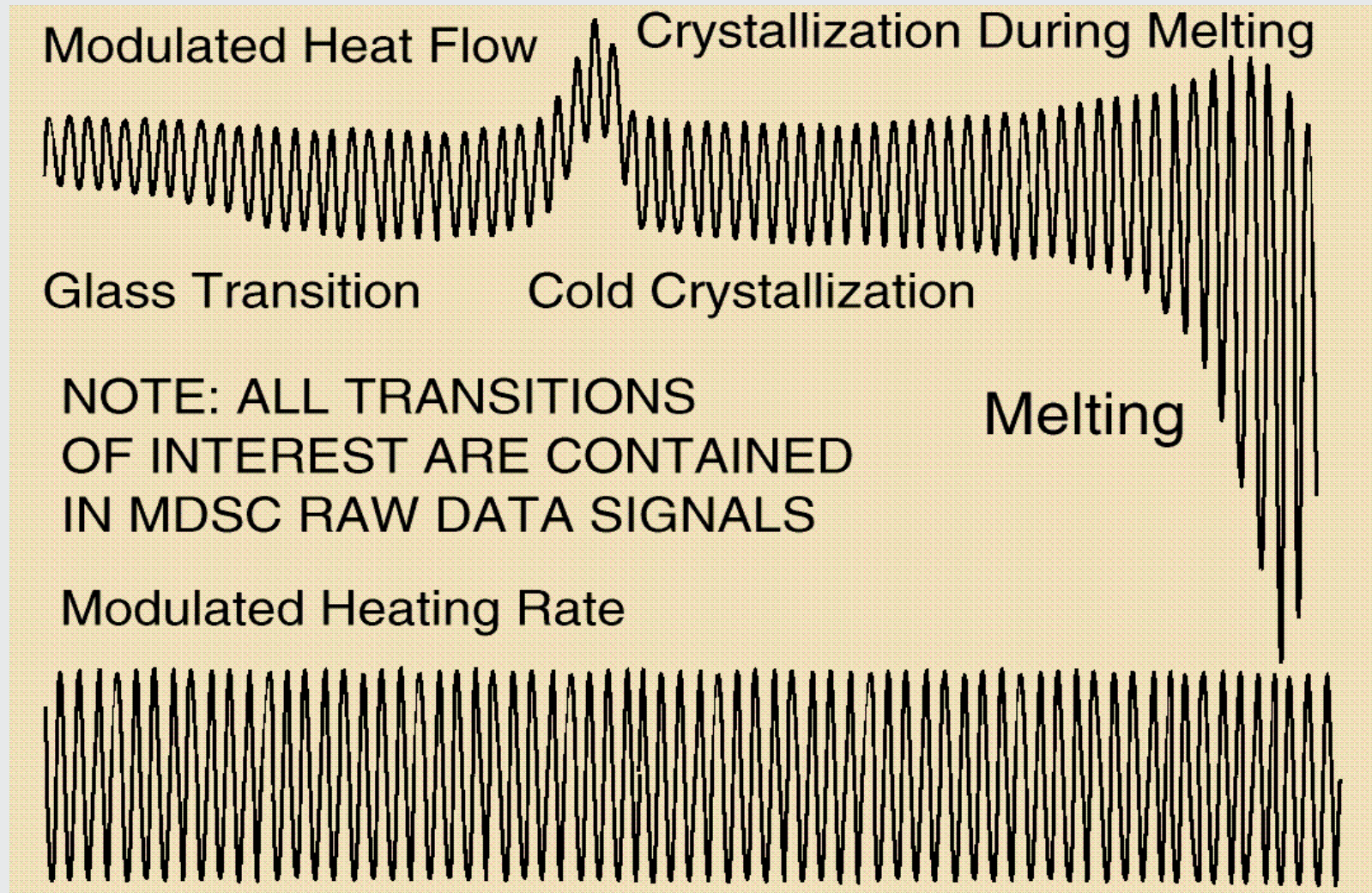
Hilfe OK Abbrechen Continue >

Use F1, HELP buttons or RIGHT MOUSE CLICK to get detailed help.

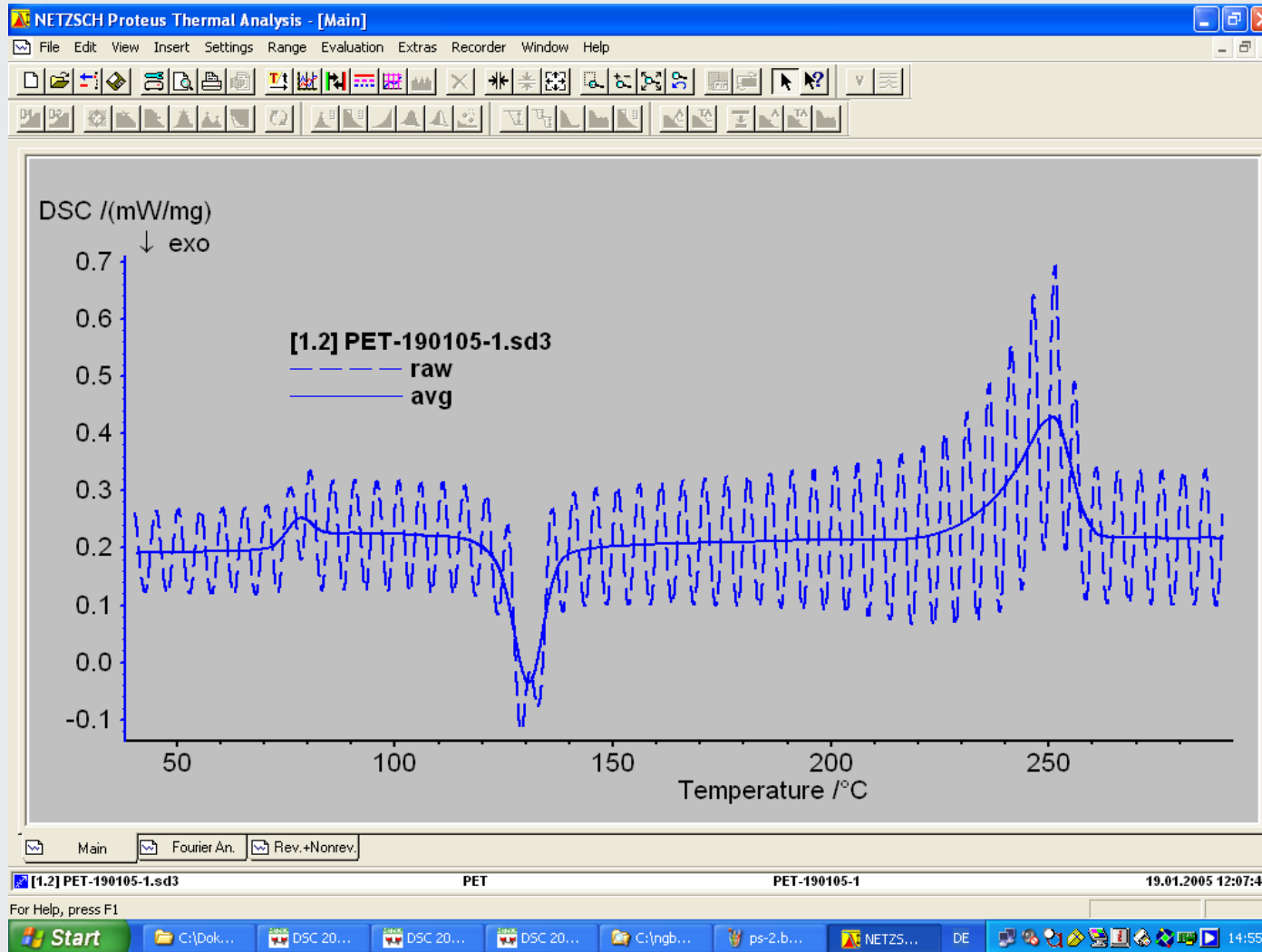
On -1.65 µV 69.1 °C

Start C:\Dok... DSC 20... DSC 20... DSC 20... C:\ngb... NETZS... Unben... DE 15:42

TM-DSC - 調制熱流及調制加熱速率



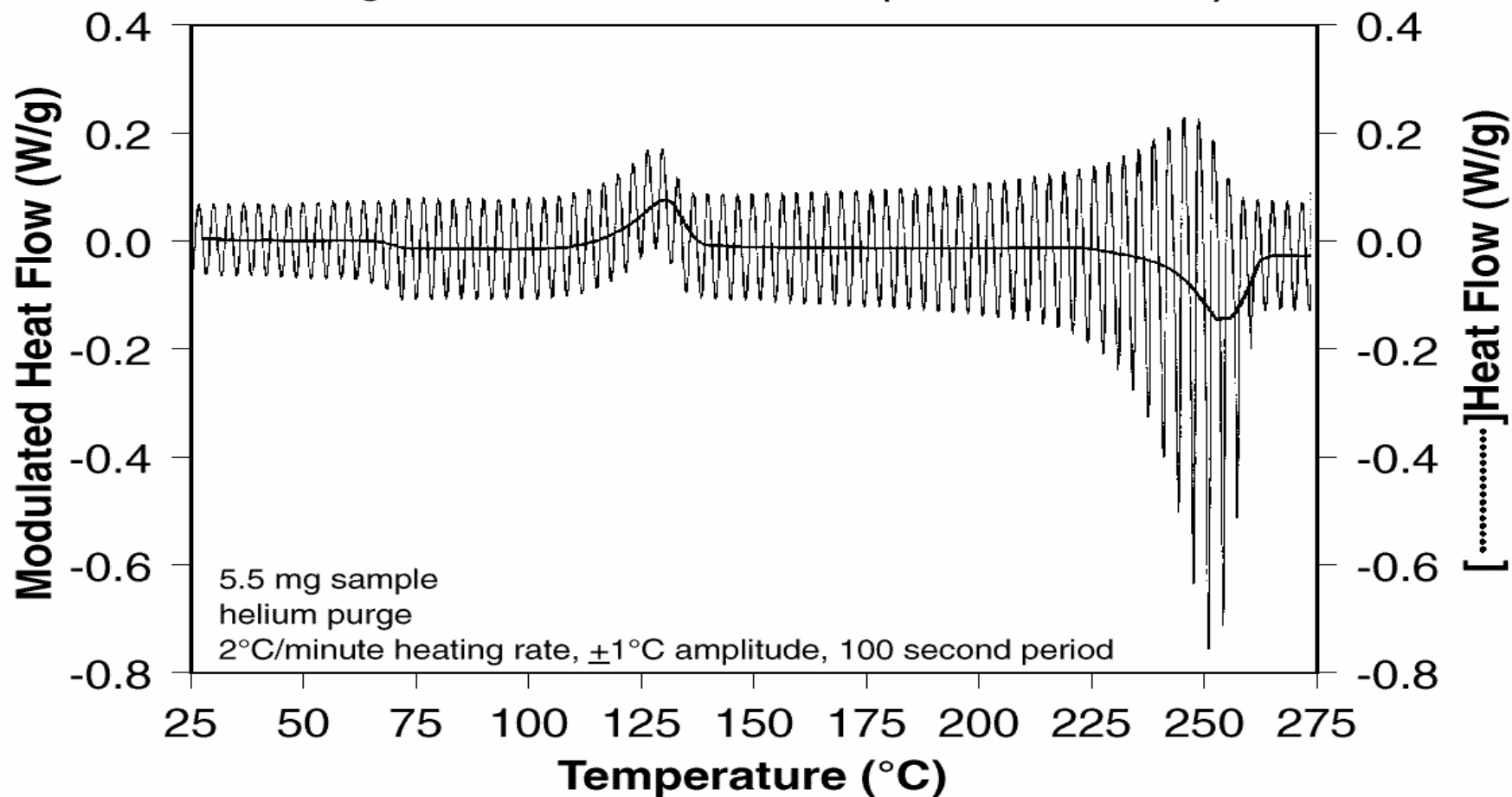
DSC 204 F1 – TM-DSC - Result



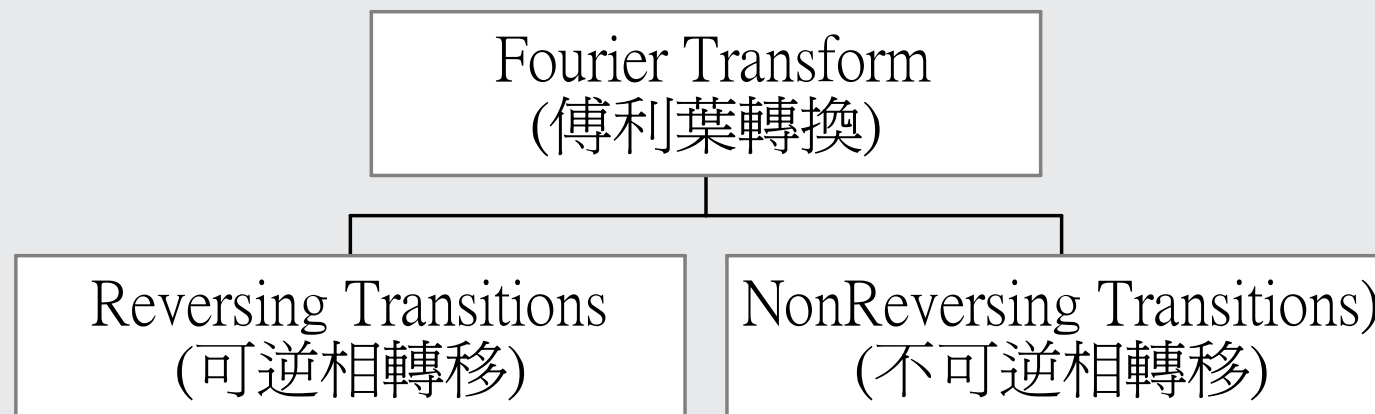
DSC 204 F1 – TM-DSC - PET



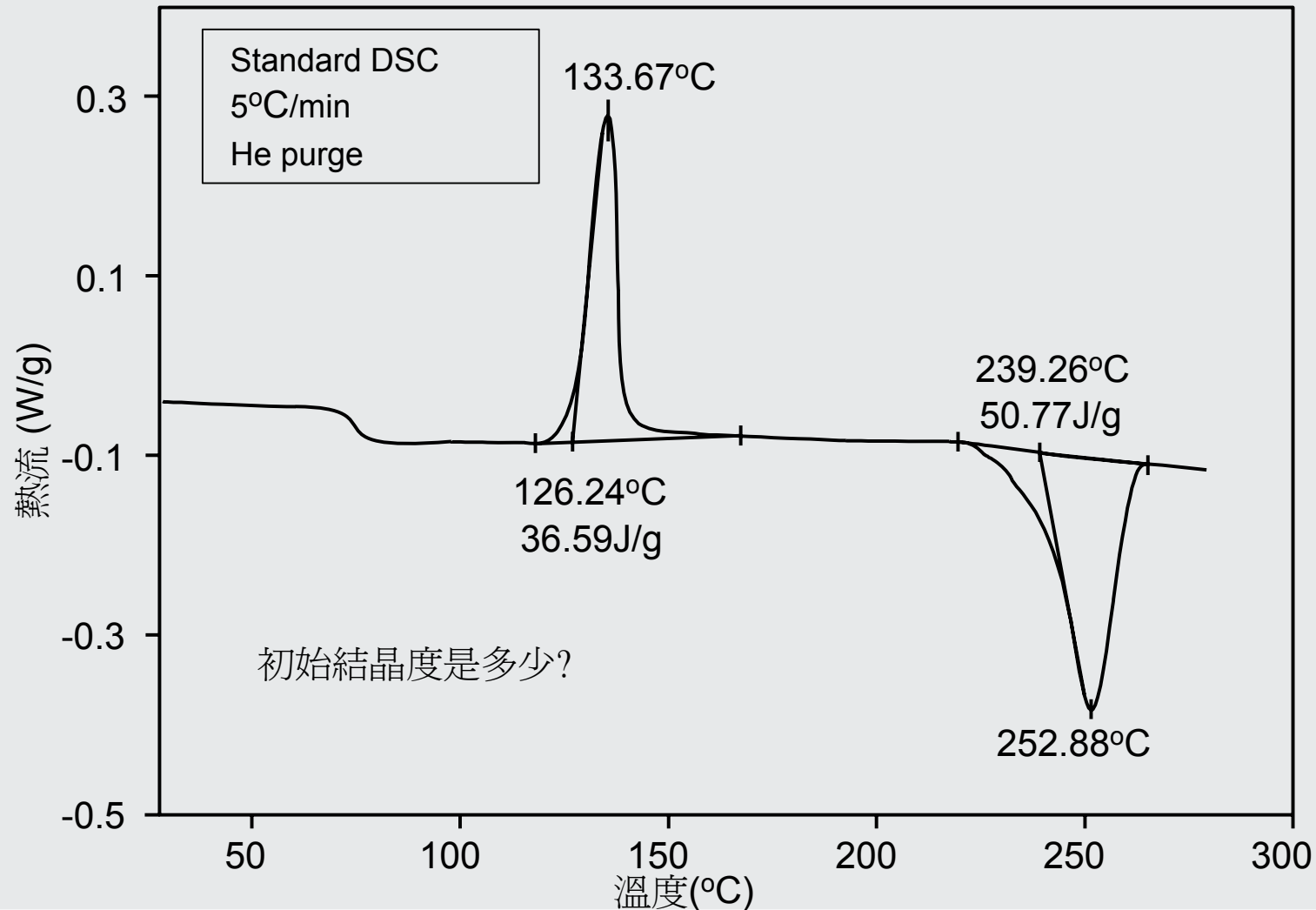
Figure 8. TOTAL HEAT FLOW (QUENCHED PET)



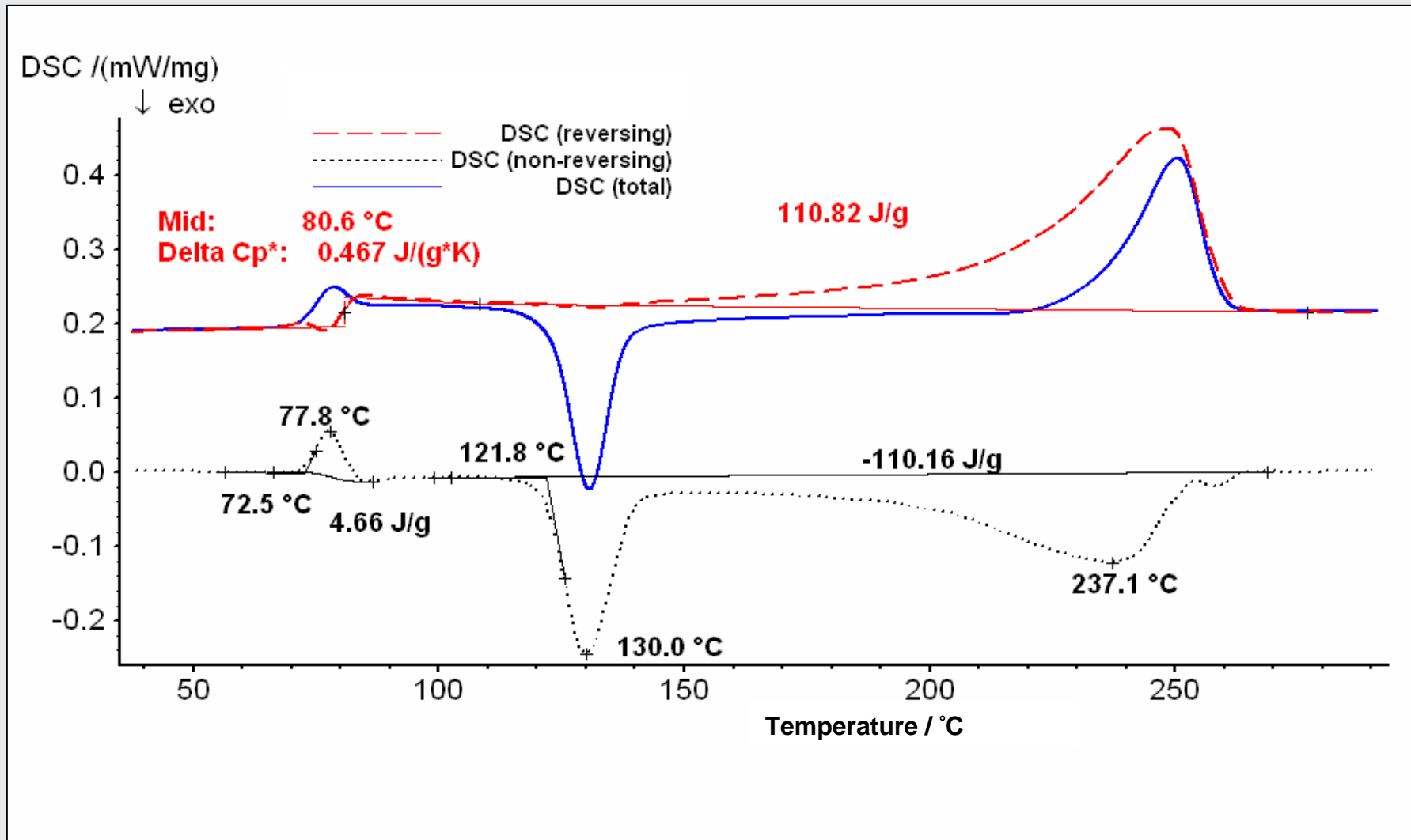
Temperature Modulated Heat Flow (調制式熱流)



驟冷的PET - 初始結晶度用傳統DSC量測



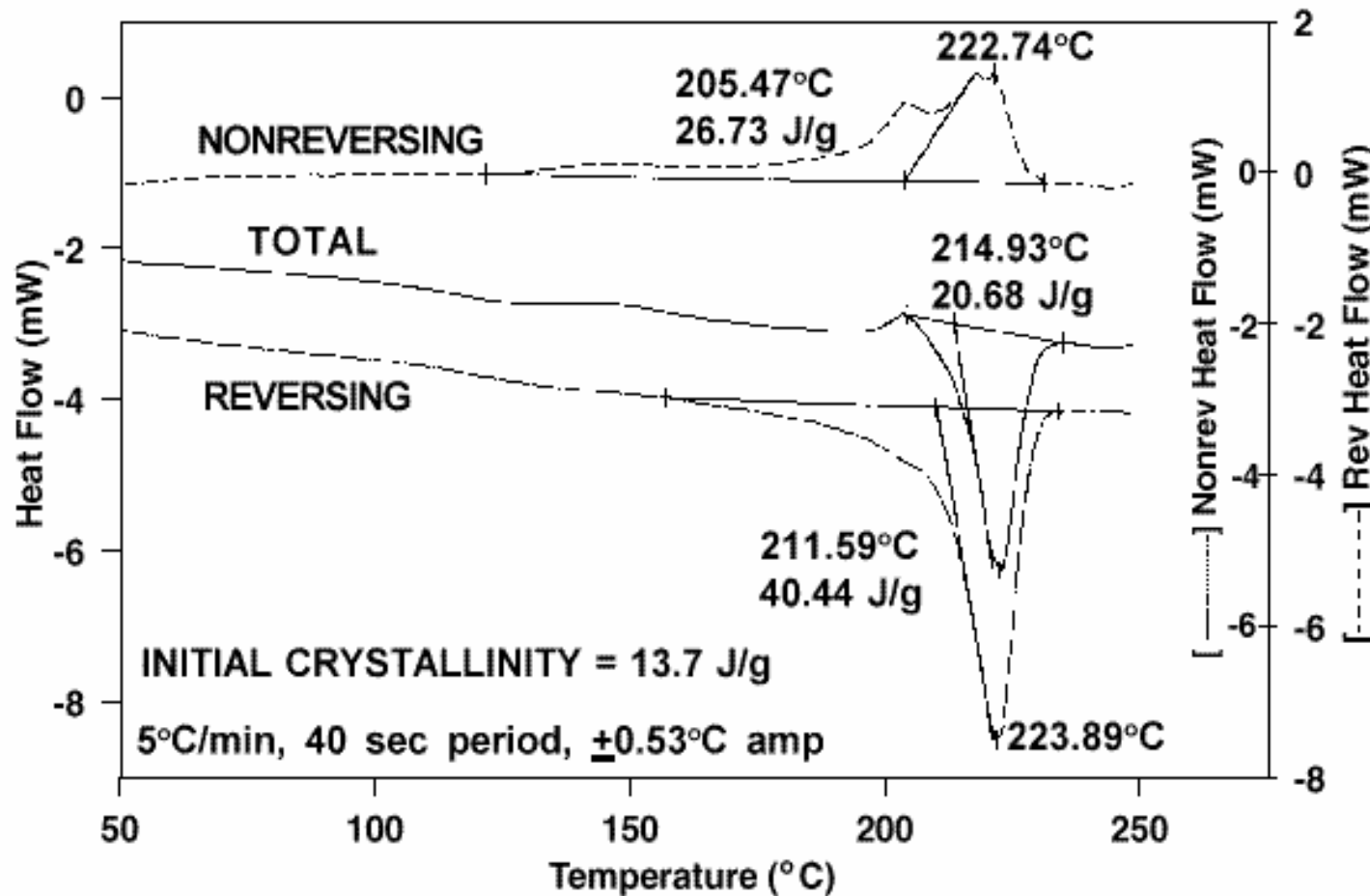
DSC 204 F1 – TM-DSC - PET



成型後距注射點較遠處-TM-DSC量測初始結晶度



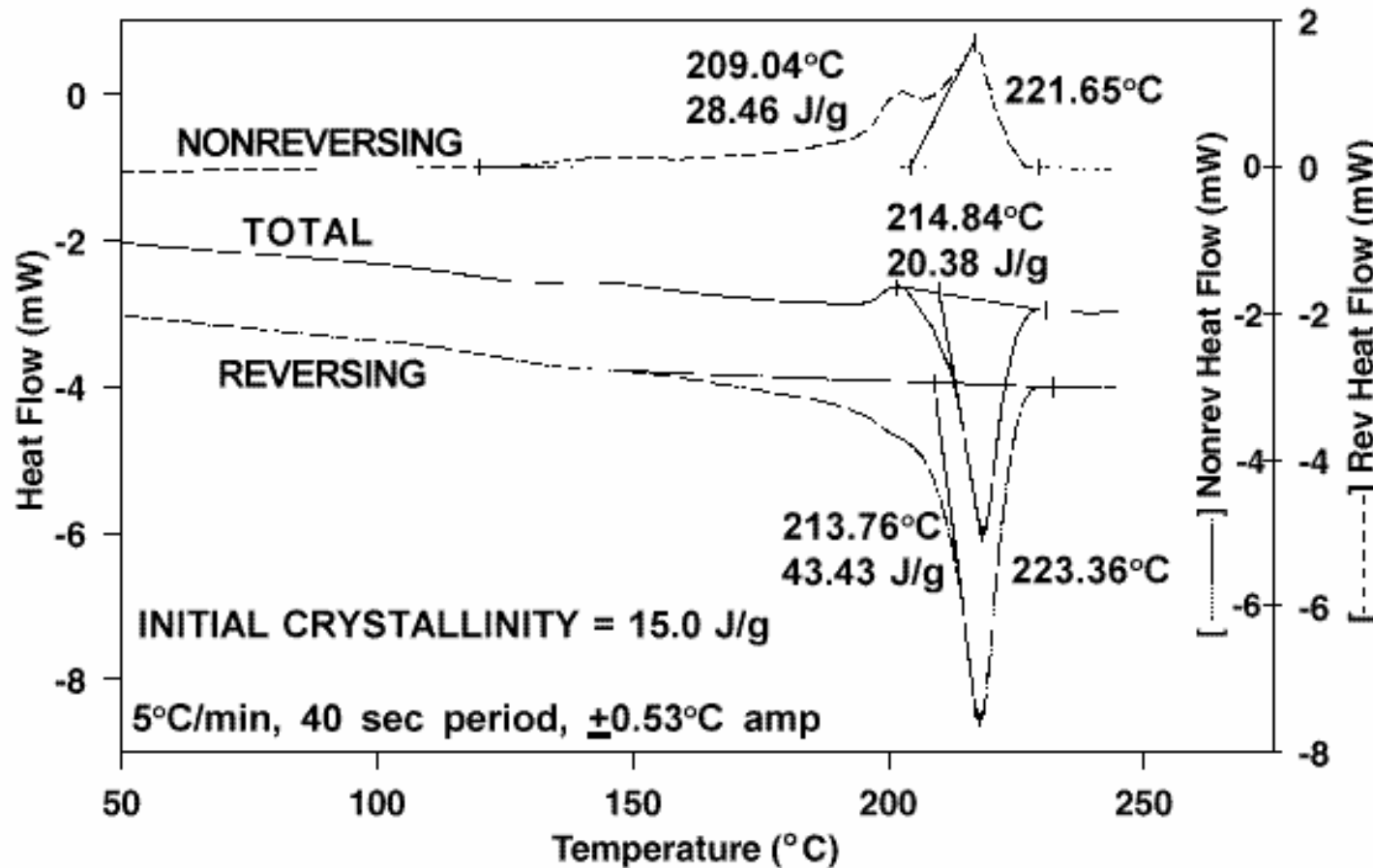
Figure 4. THERMOPLASTIC FROM FAR SIDE OF MOLD - INITIAL CRYSTALLINITY BY MDSC™



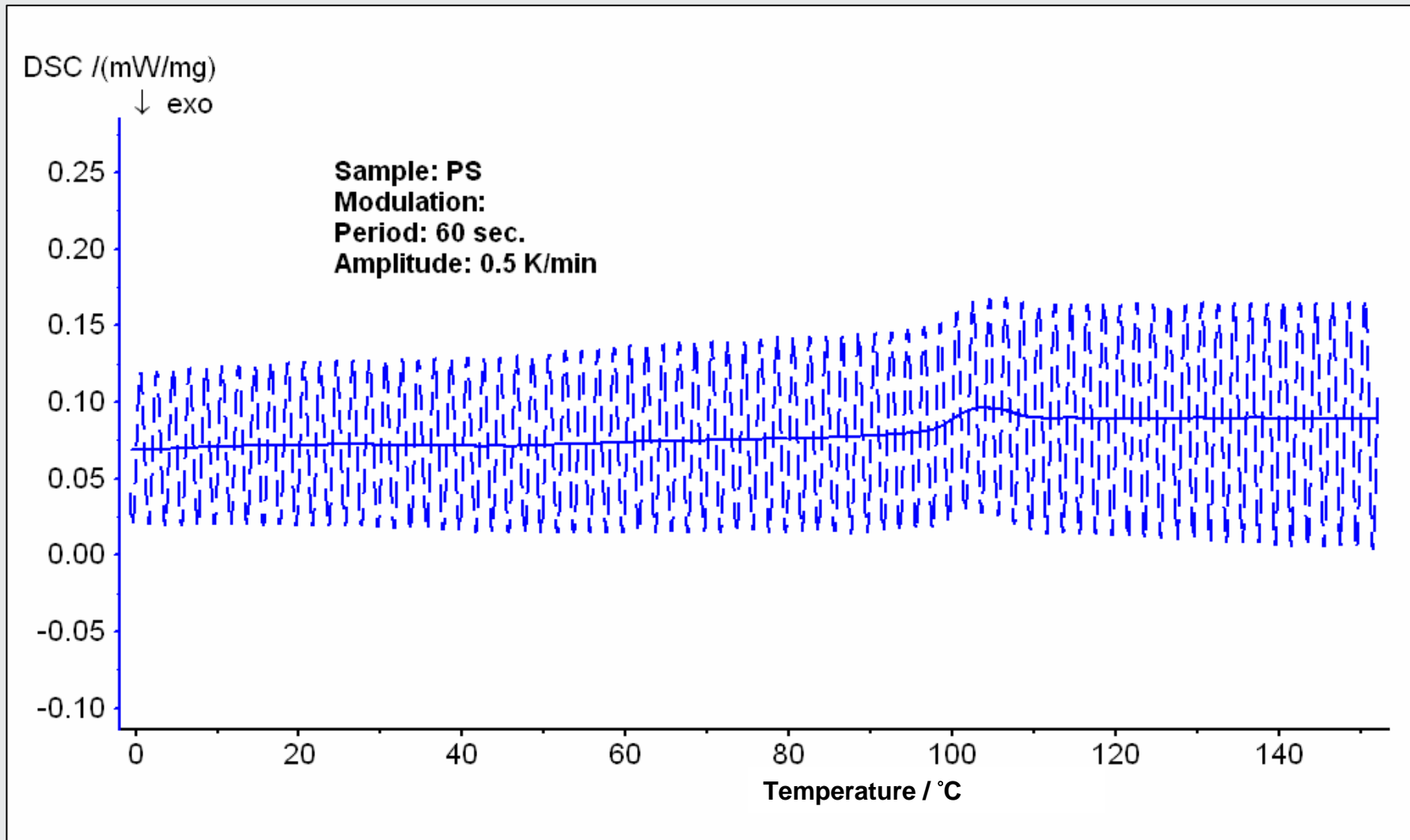
成型後接近注射點處-TM-DSC量測初始結晶度



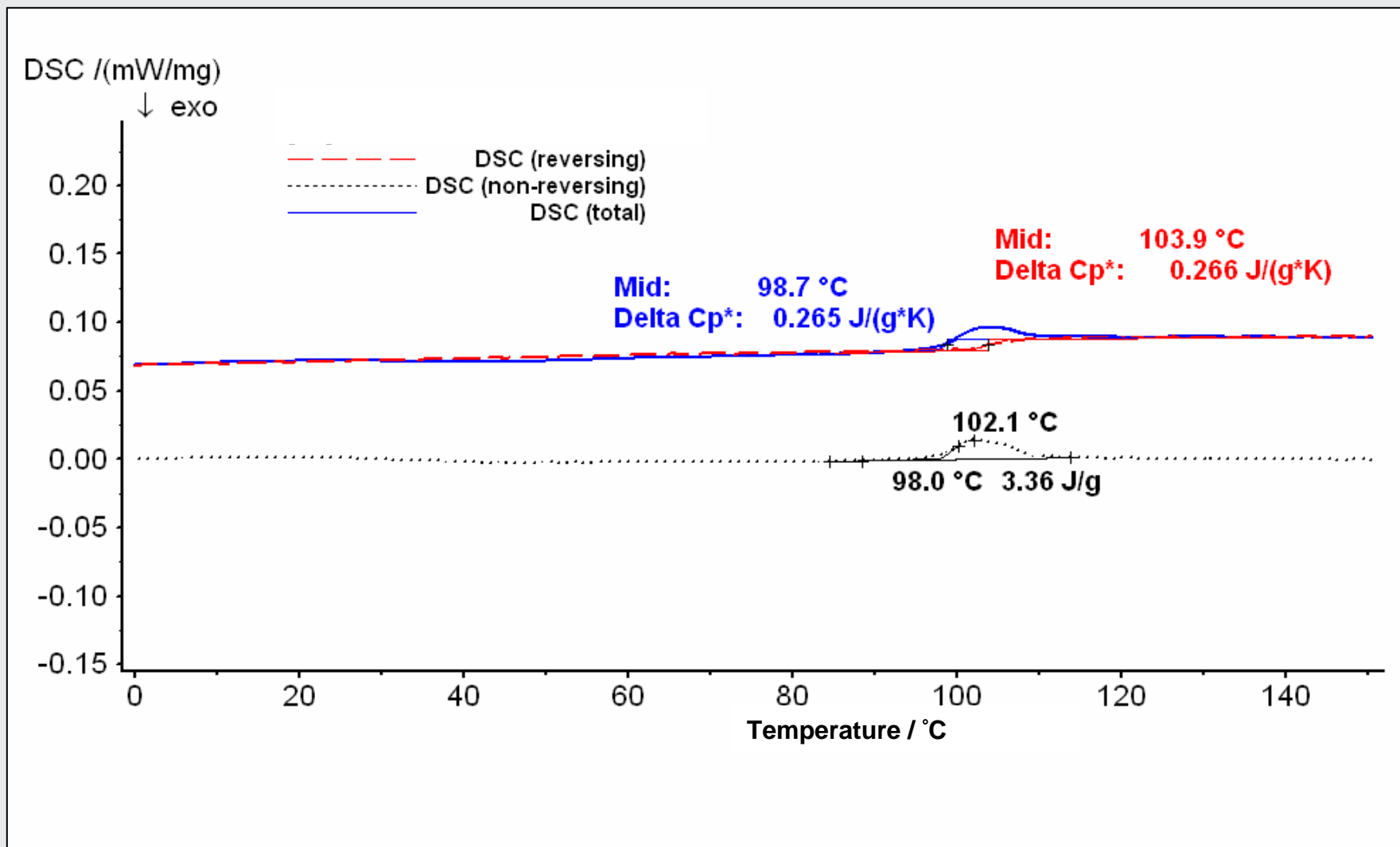
Figure 5. THERMOPLASTIC FROM NEAR INJECTION POINT - INITIAL CRYSTALLINITY BY MDSC



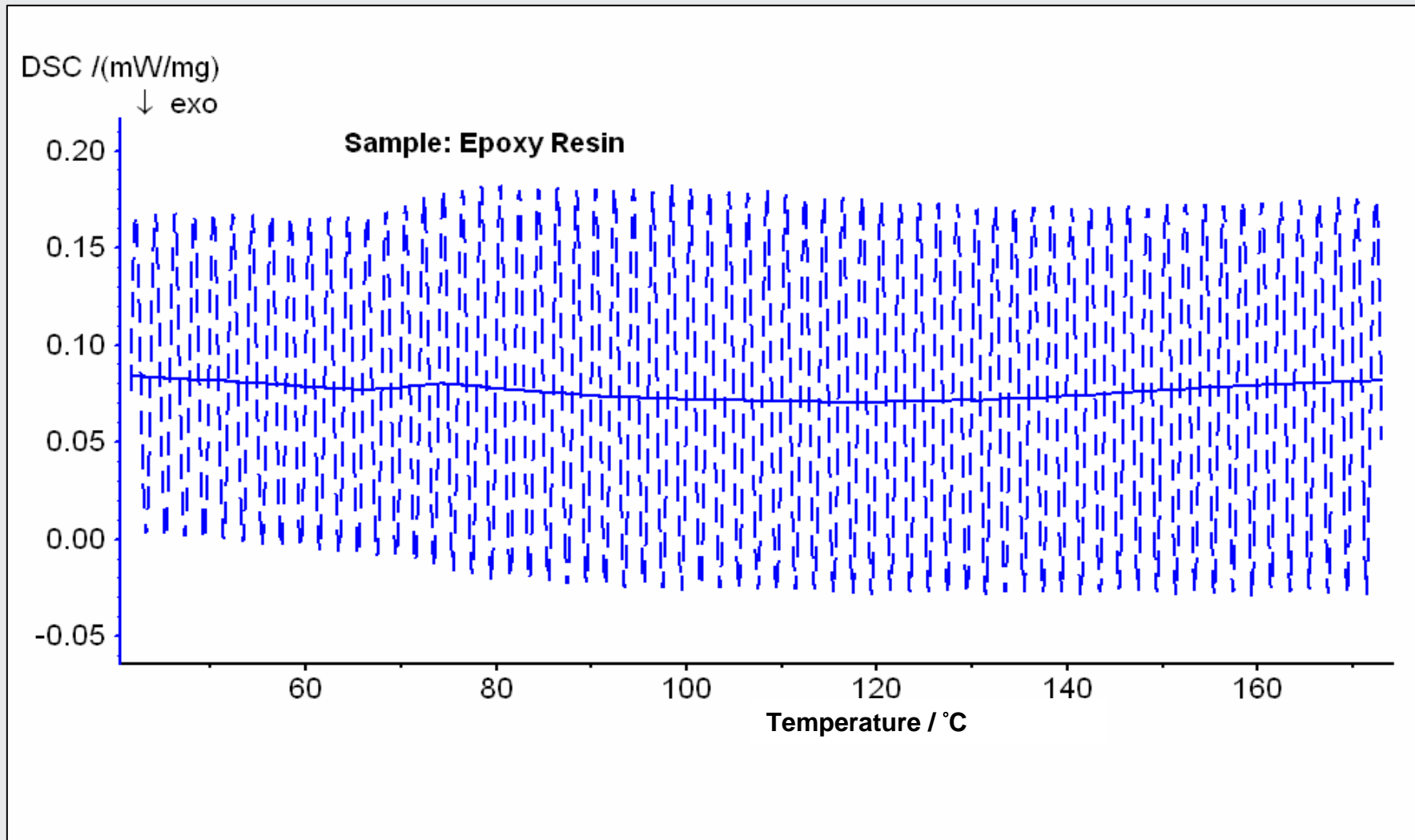
DSC 204 F1 – TM-DSC - PS



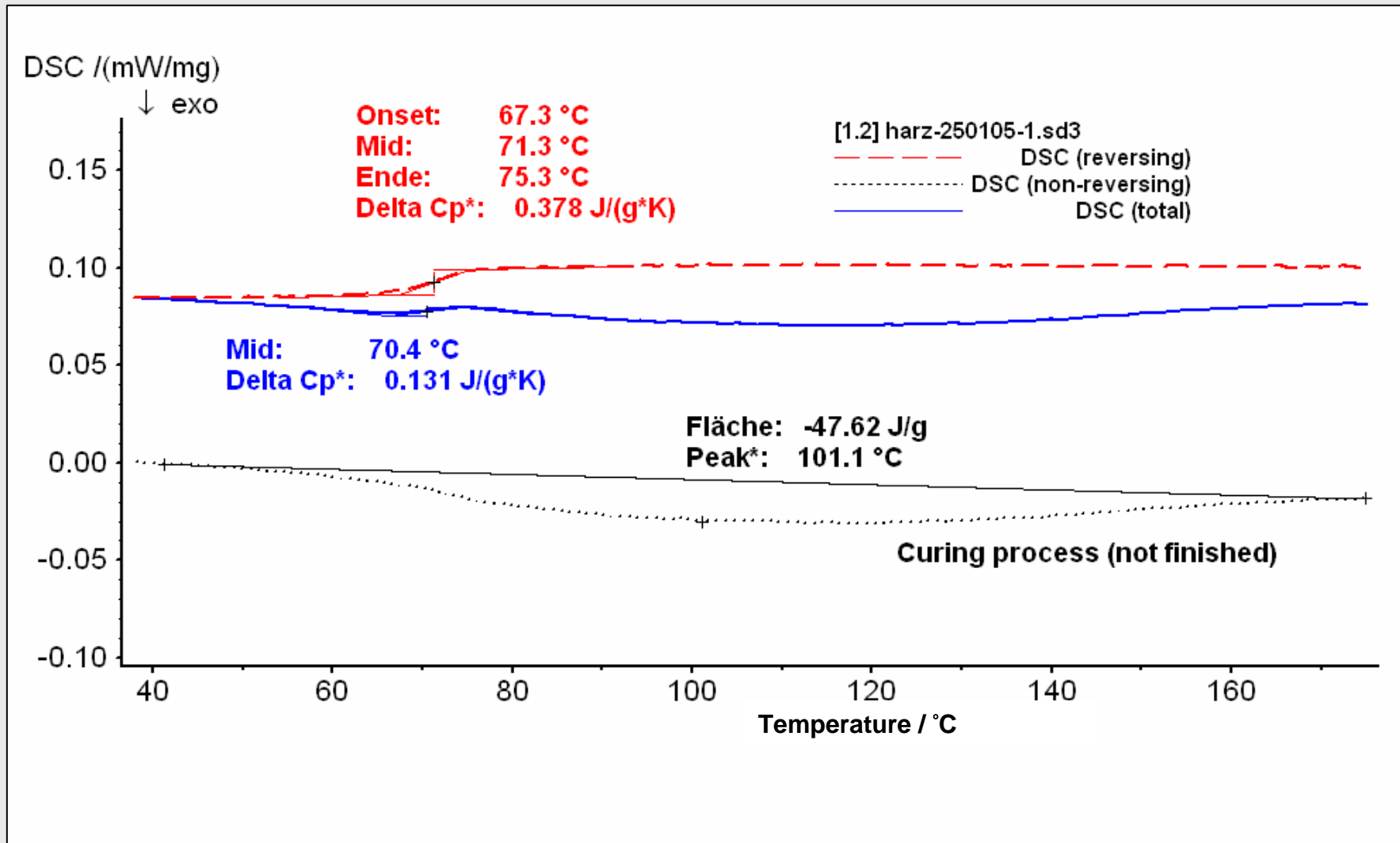
DSC 204 F1 – TM-DSC - PS



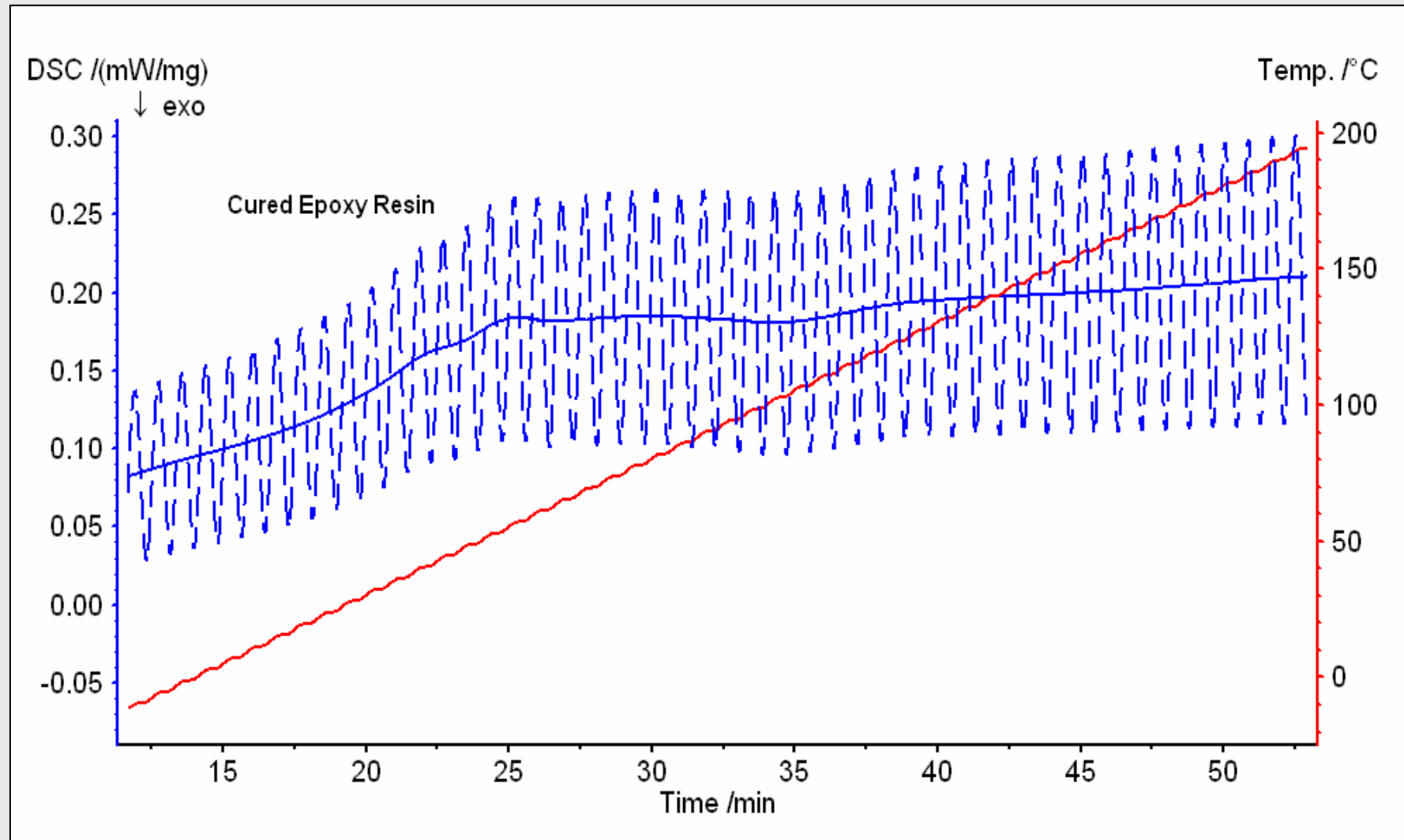
DSC 204 F1 – TM-DSC – Curing of a Resin



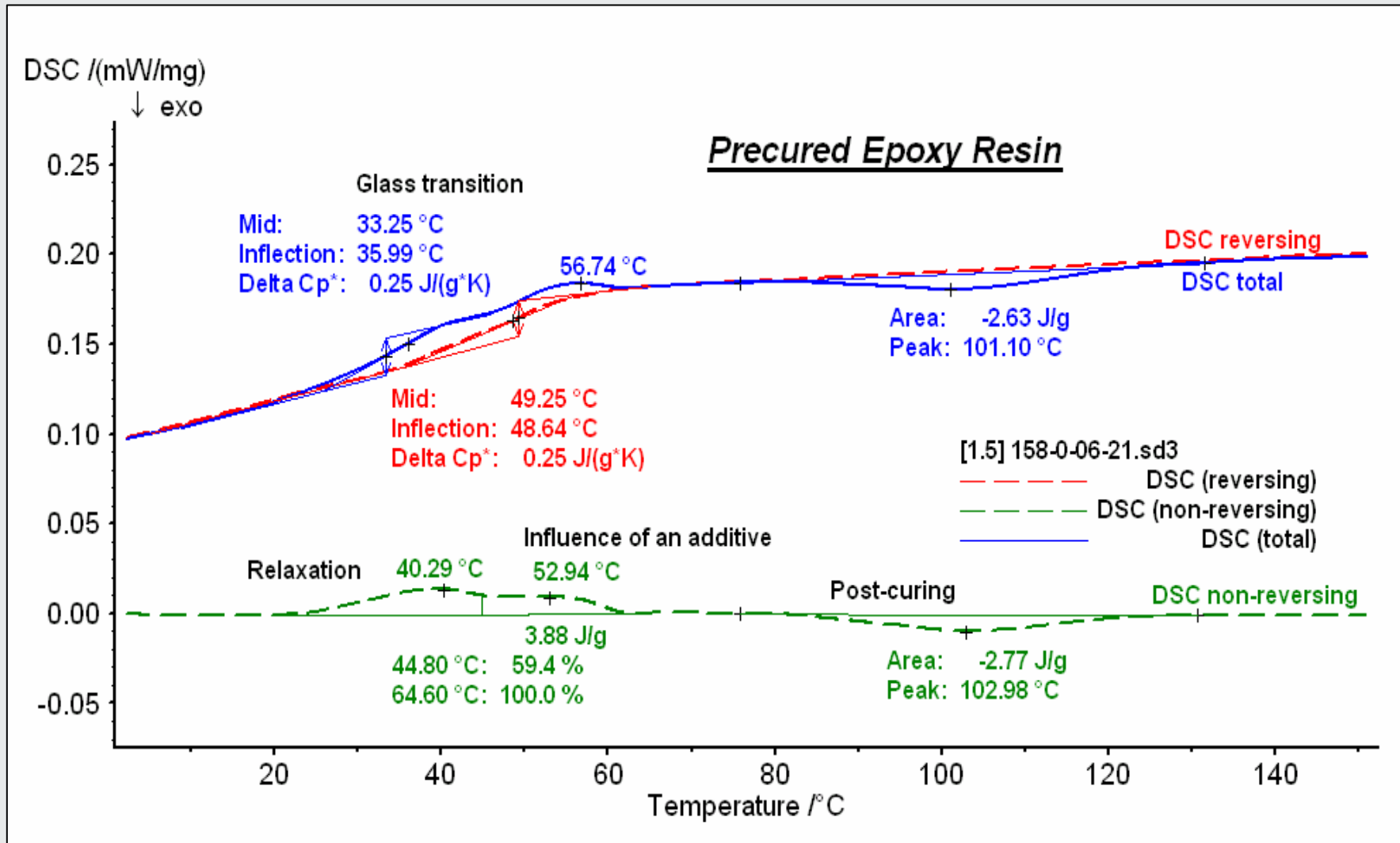
DSC 204 F1 – TM-DSC – Curing of a Resin



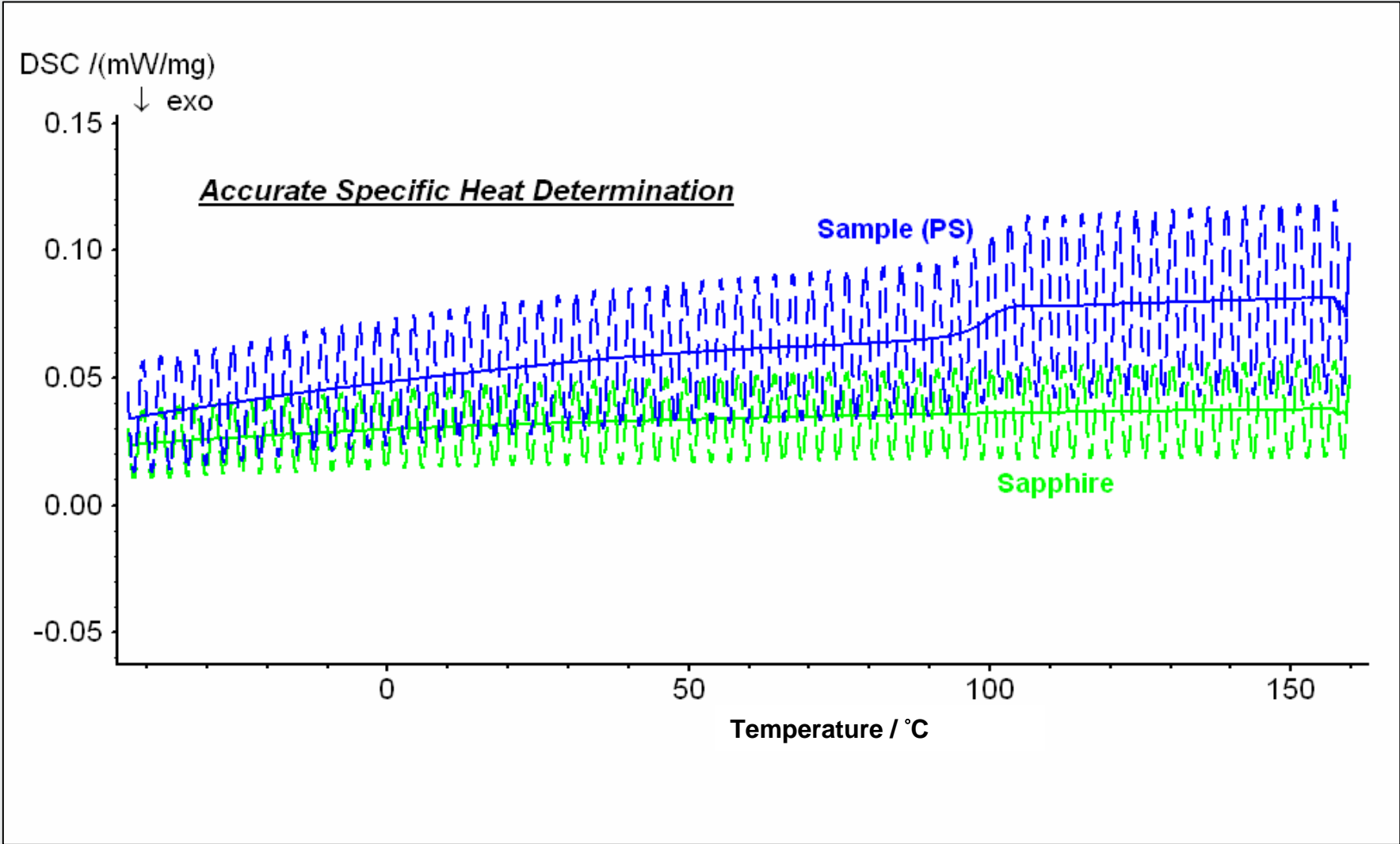
DSC 204 F1 – TM-DSC – Post-Curing of an Epoxy Resin



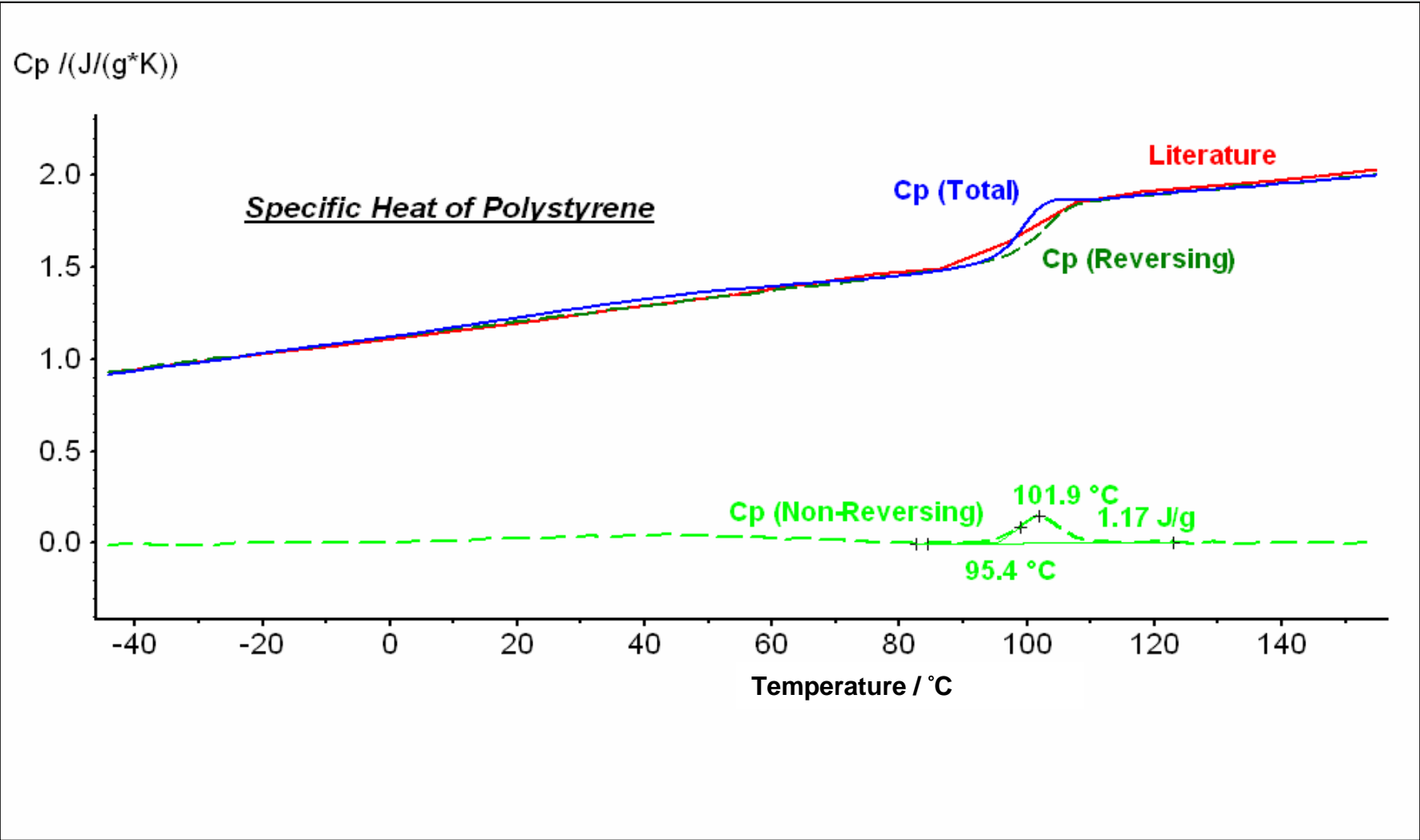
DSC 204 F1 – TM-DSC – Post-Curing of an Epoxy Resin



DSC 204 F1 – TMDSC – Cp-Determination



DSC 204 F1 – TMDSC – Cp-Determination



傳統 DSC 比熱測定方法



$$C_p = \frac{EQ}{RM}$$

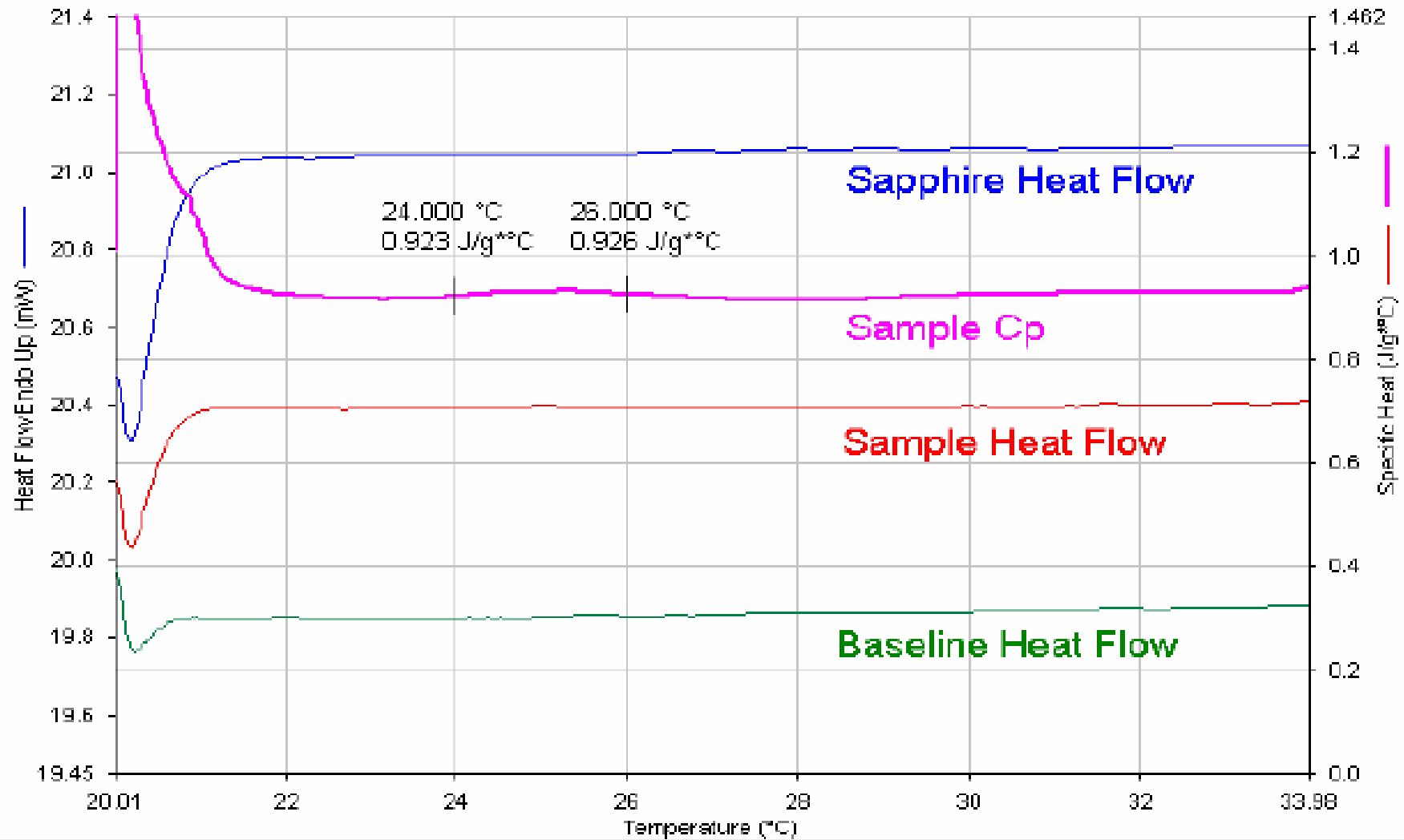
where

- C_p – Specific Heat Capacity
- E – DSC Calibration Factor
- Q – Heat Flow
- R – Heating Rate
- M – Sample Mass

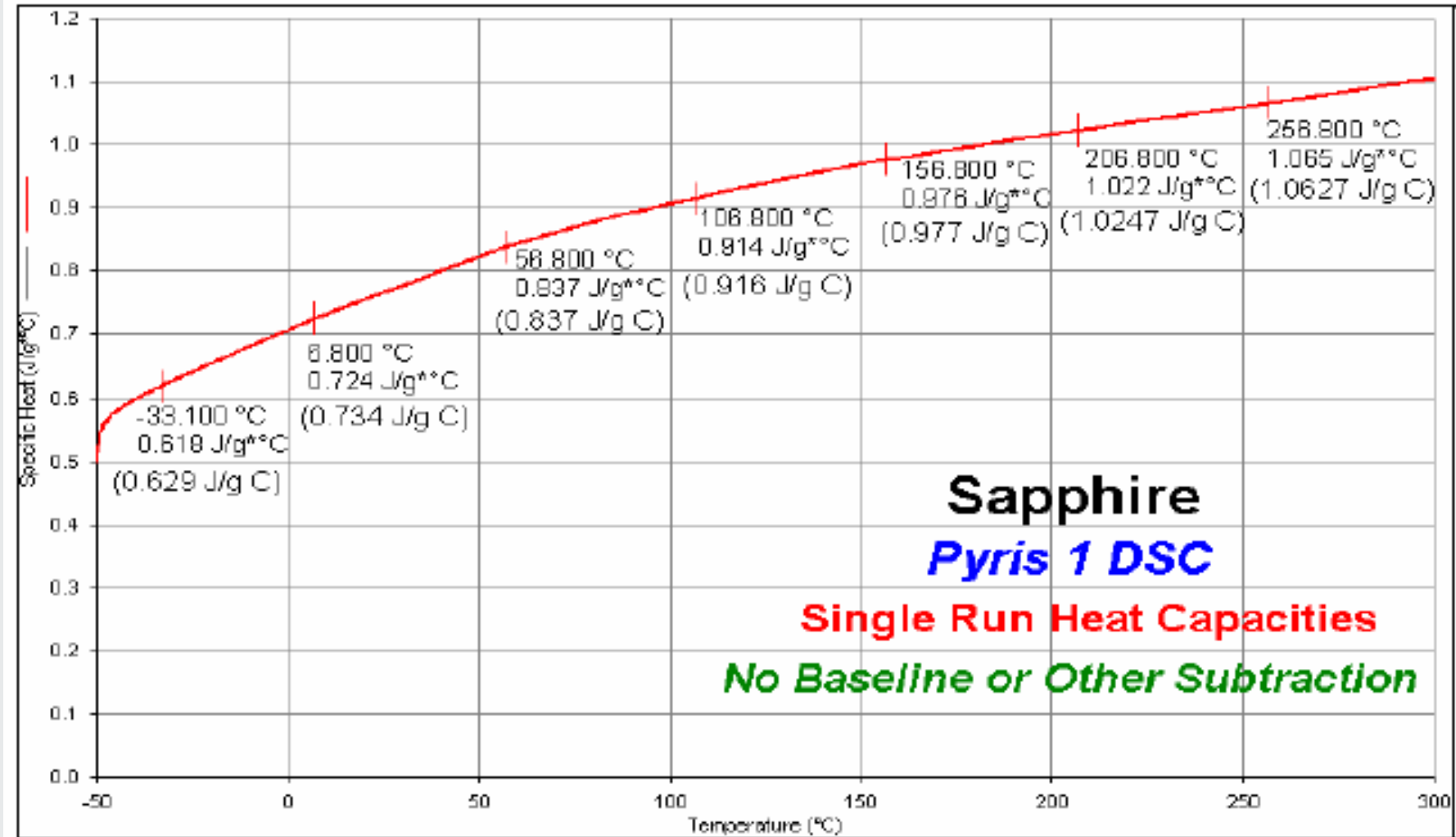
$$C_p = K_{Cp} \times \frac{Q(\text{sample}) - Q(\text{blank})}{R}$$

where K_{Cp} = Cp cell calibration constant

比熱測試 -- Cp



Sapphire Cp test



TM-DSC 訊號 - 比熱



比熱係由振盪熱流的輻度除以振盪加熱速率的輻度而得.

定義 : 讓物質每增加1°C所需要的熱能.

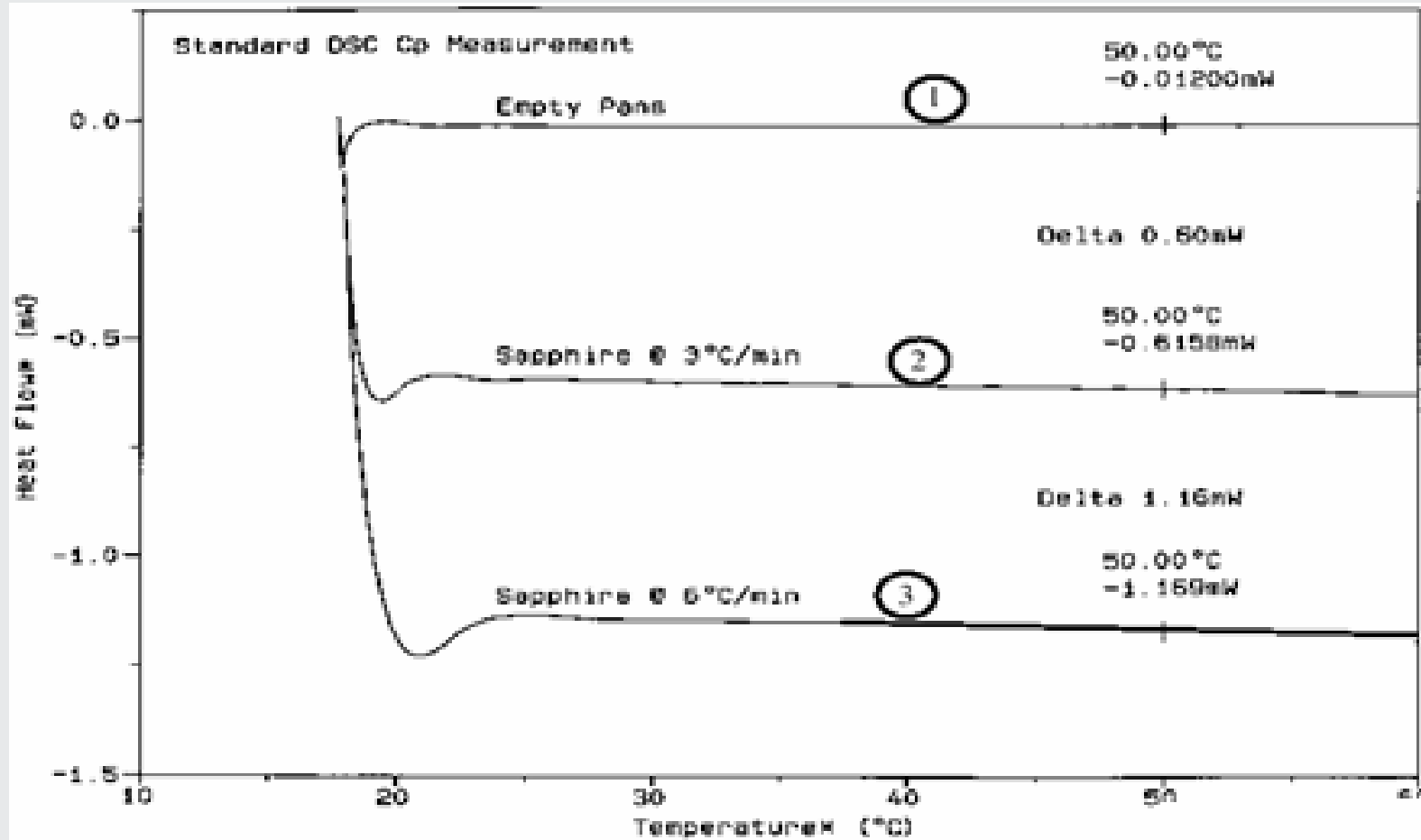
計算 : 利用MDSC獲得比熱的基礎, 可由檢視傳統DSC在若干不同加熱速率實驗下計算比熱的經驗而得.

傳統DSC(在兩個不同加熱速率下)

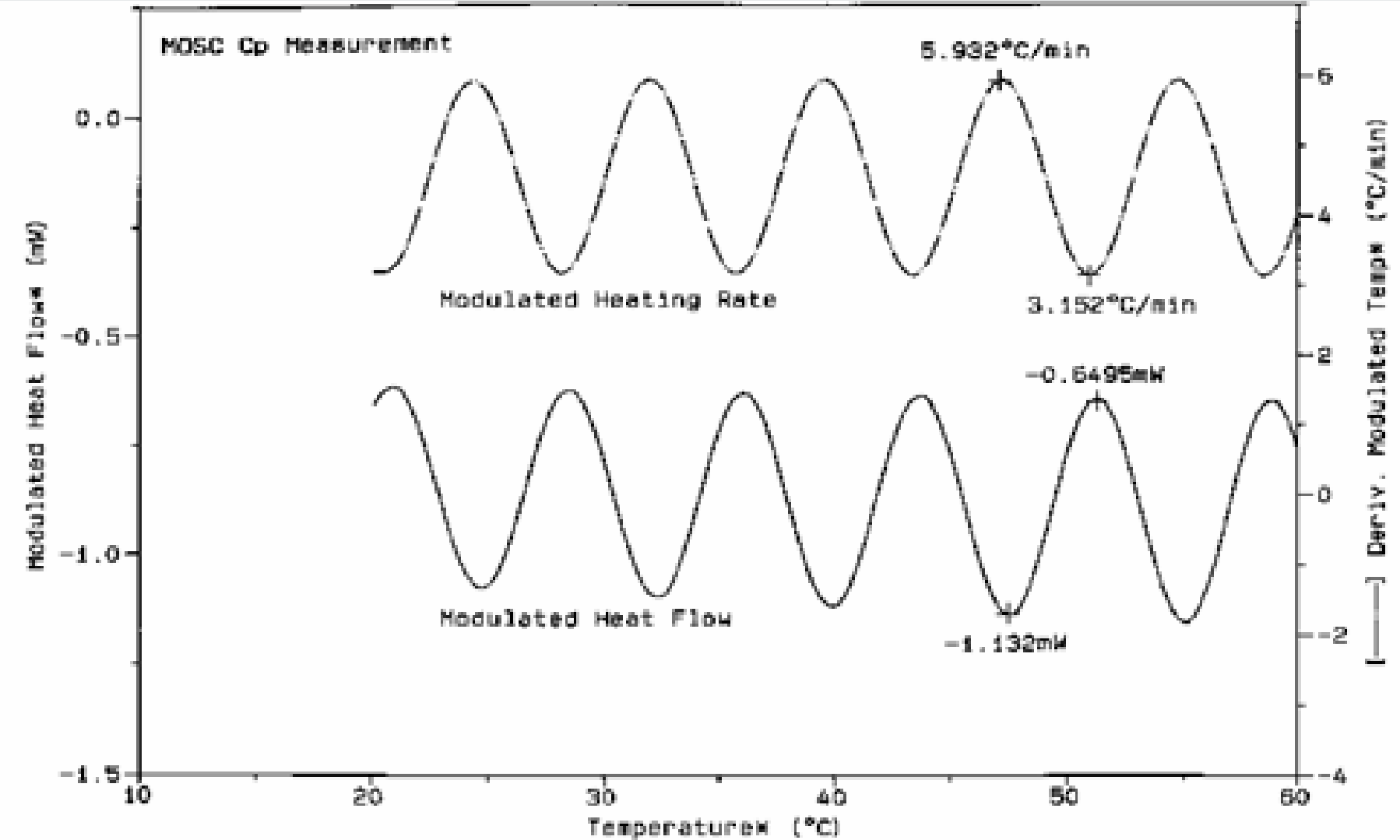
$$C_p = K C_p \times \frac{\text{第2加熱速率下的熱流值}}{\text{第2加熱速率}} - \frac{\text{第1加熱速率下的熱流值}}{\text{第1加熱速率}}$$
$$= \text{mJ} / ^\circ\text{C}$$

where : $K C_p$ = 校正常數

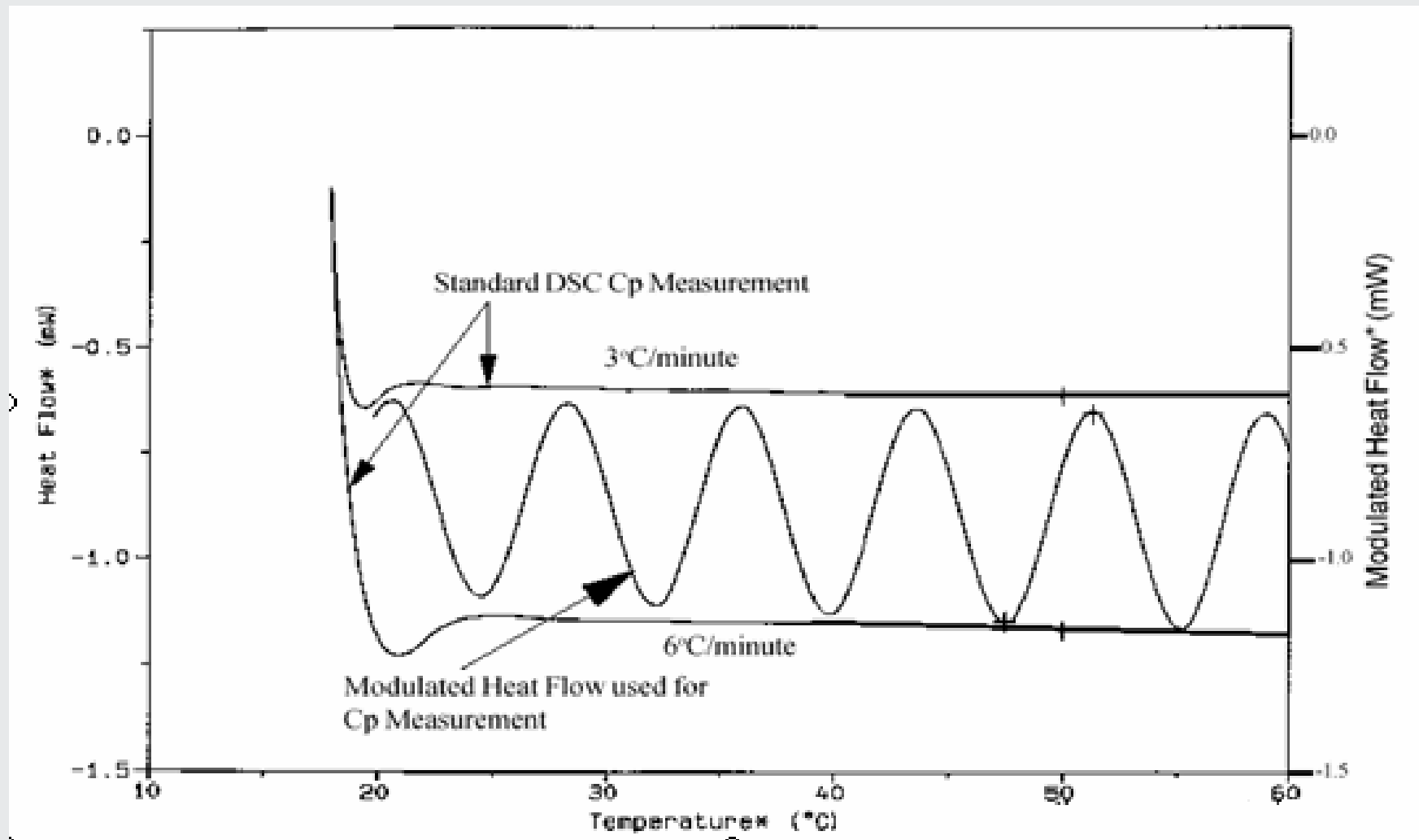
傳統 DSC 比熱測量圖譜



調制式 TM-DSC 比熱測量圖譜



TM-DSC vs. DSC 比熱測量比較



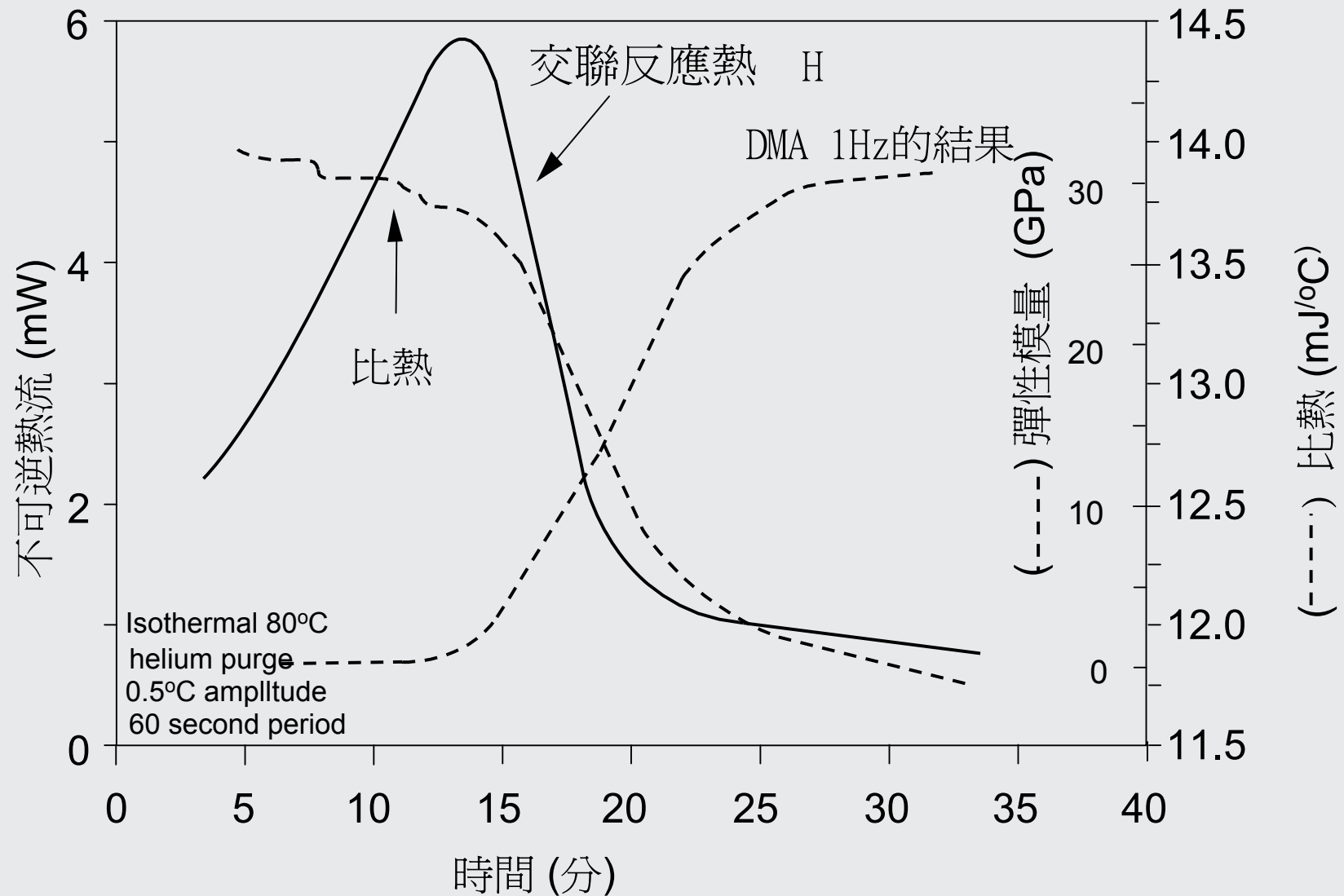
TM-DSC 測出數據與文獻的比較:



Copper Heat Capacity

Temp. (°C)	Cp (MDSC) (J/g/°C)	Cp (Liter.) (J/g/°C)
-154.3	0.2462	0.2812
-102.4	0.3116	0.3401
-51.5	0.3432	0.3656
-1.1	0.3639	0.3783
49.2	0.3737	0.3877
99.3	0.3784	0.3971
199.4	0.3863	0.4128
249.4	0.3977	0.4187
299.5	0.4175	0.4284

環氧樹脂在擬恆溫下的交聯



TM-DSC 在擬恆溫下冷結晶測量:



Heat Capacity Change at Cold Crystallization

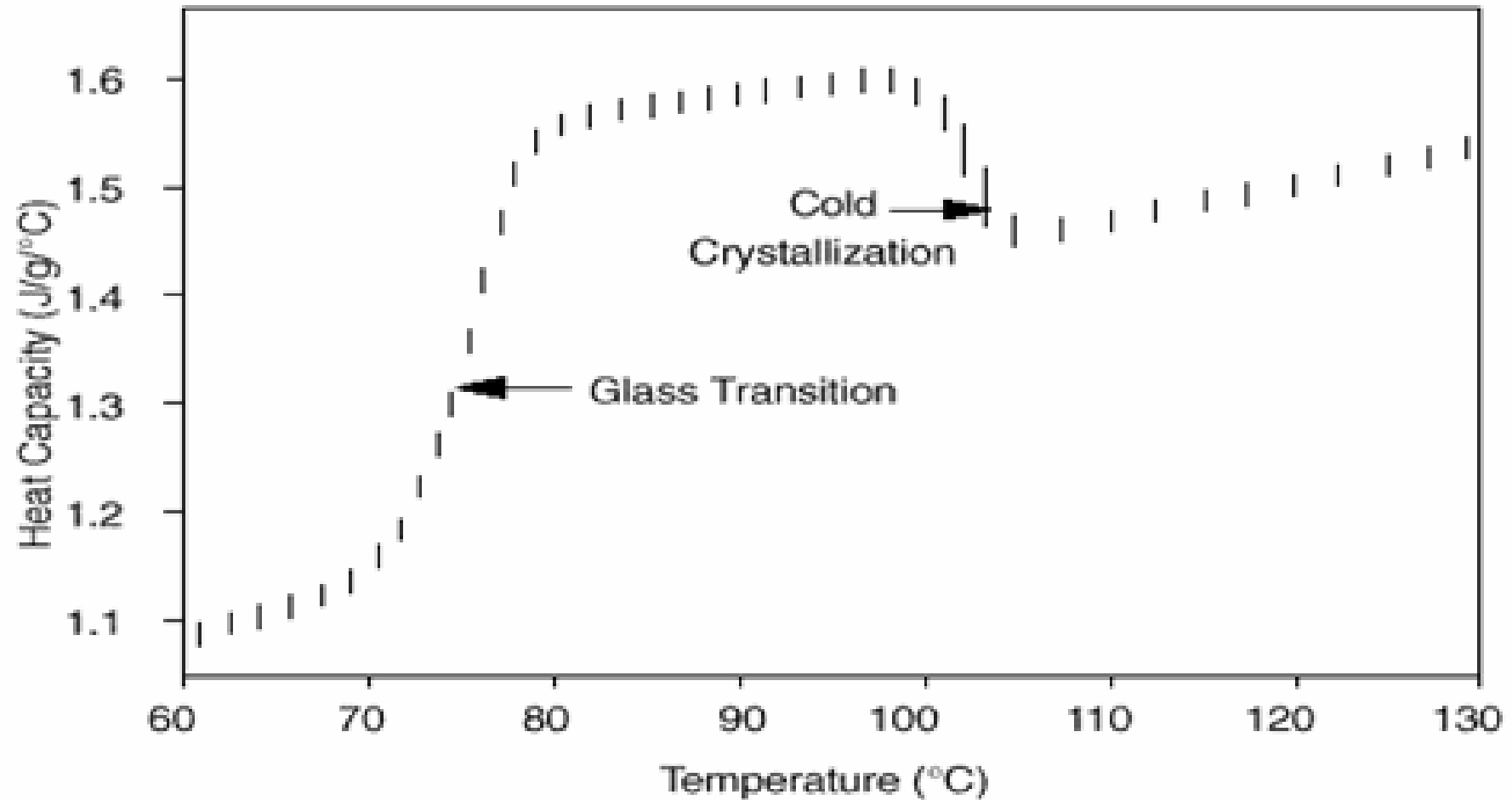


Figure 1. ENTHALPIC RELAXATION OF PET

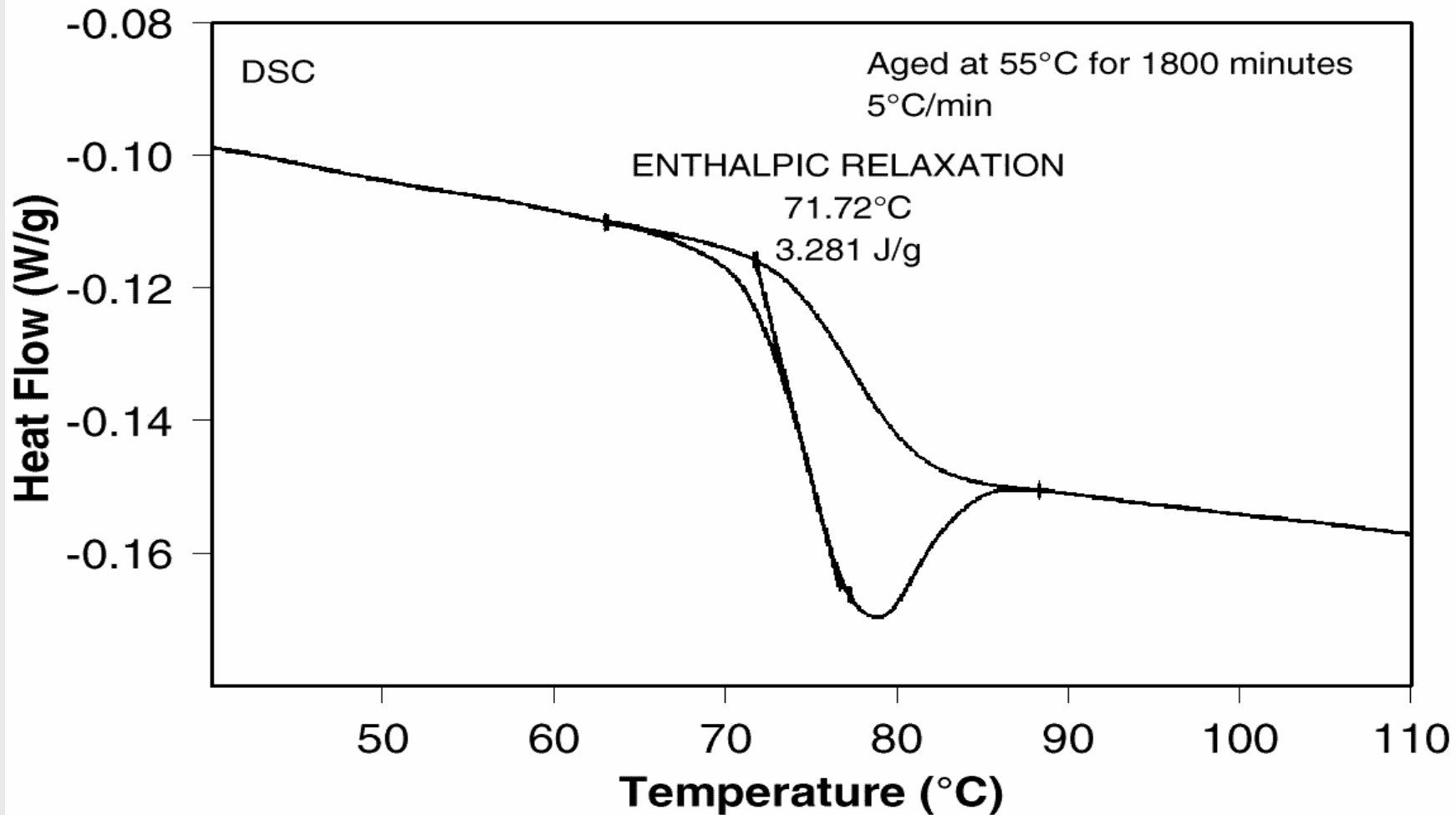
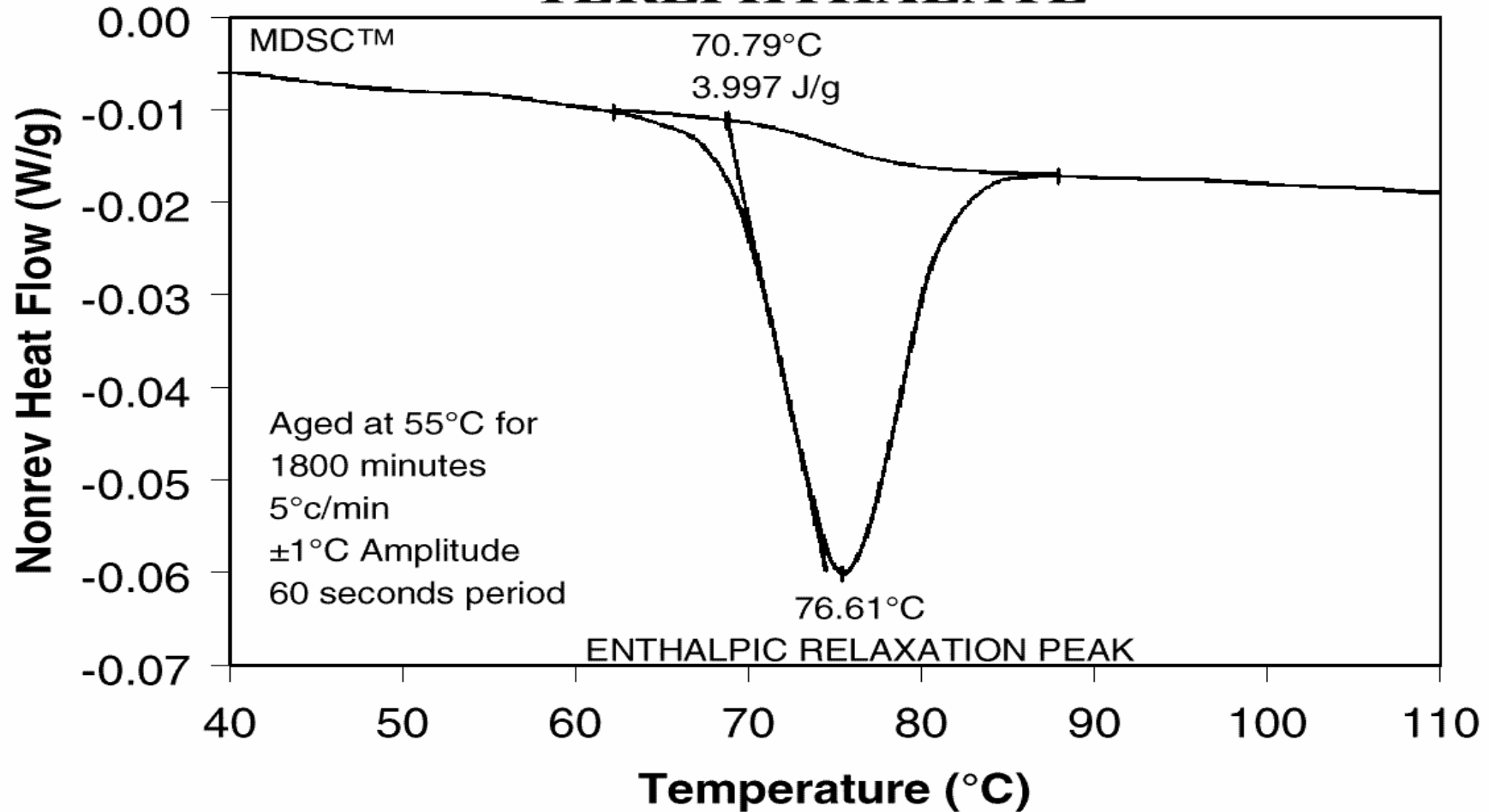


Figure 2. AGED POLYETHYLENE TEREPHTHALATE



PET焓鬆馳-不同老化時間使用TM-DSC 測得之圖譜



Figure 3. PET's ENTHALPIC RELAXATION vs AGE

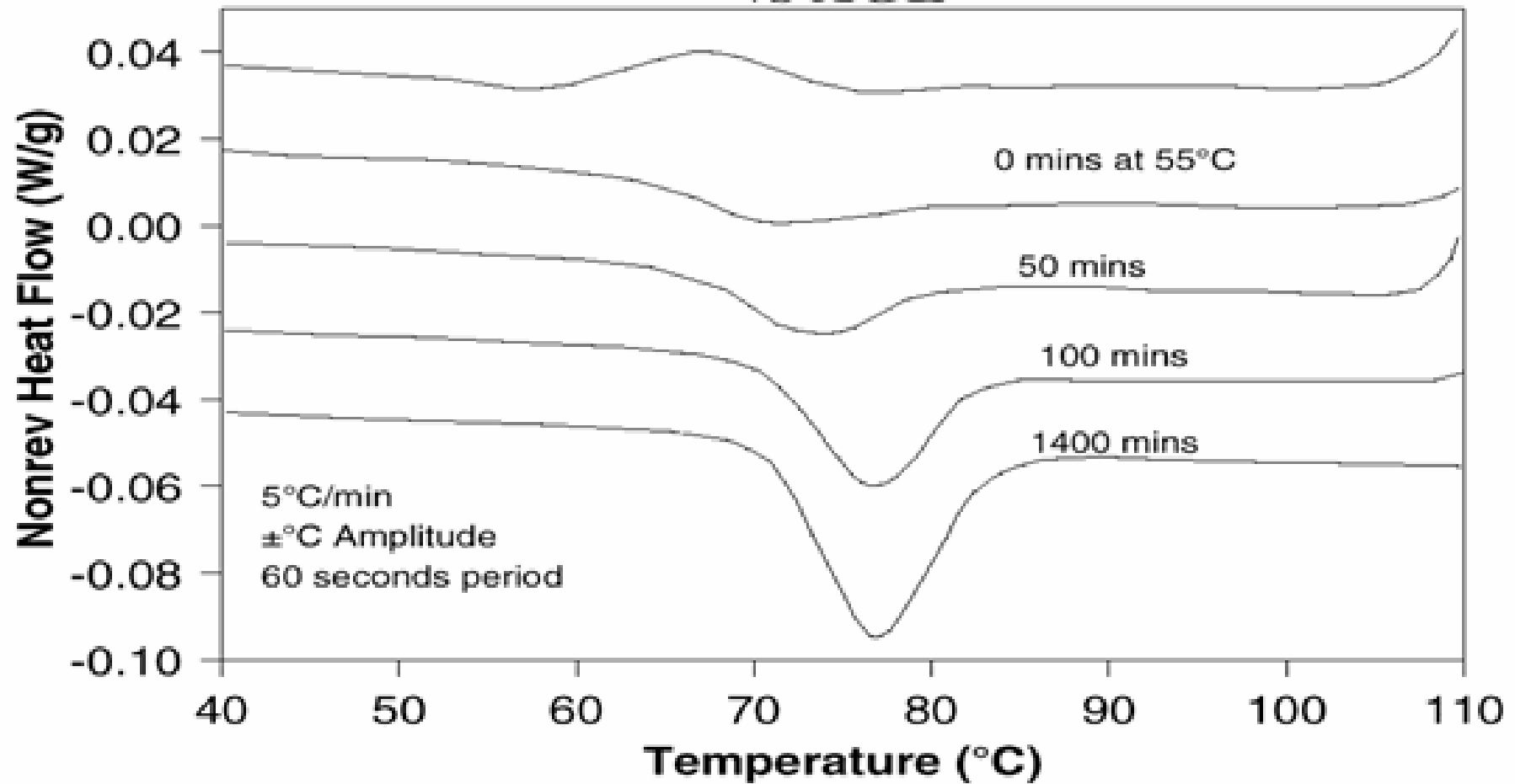
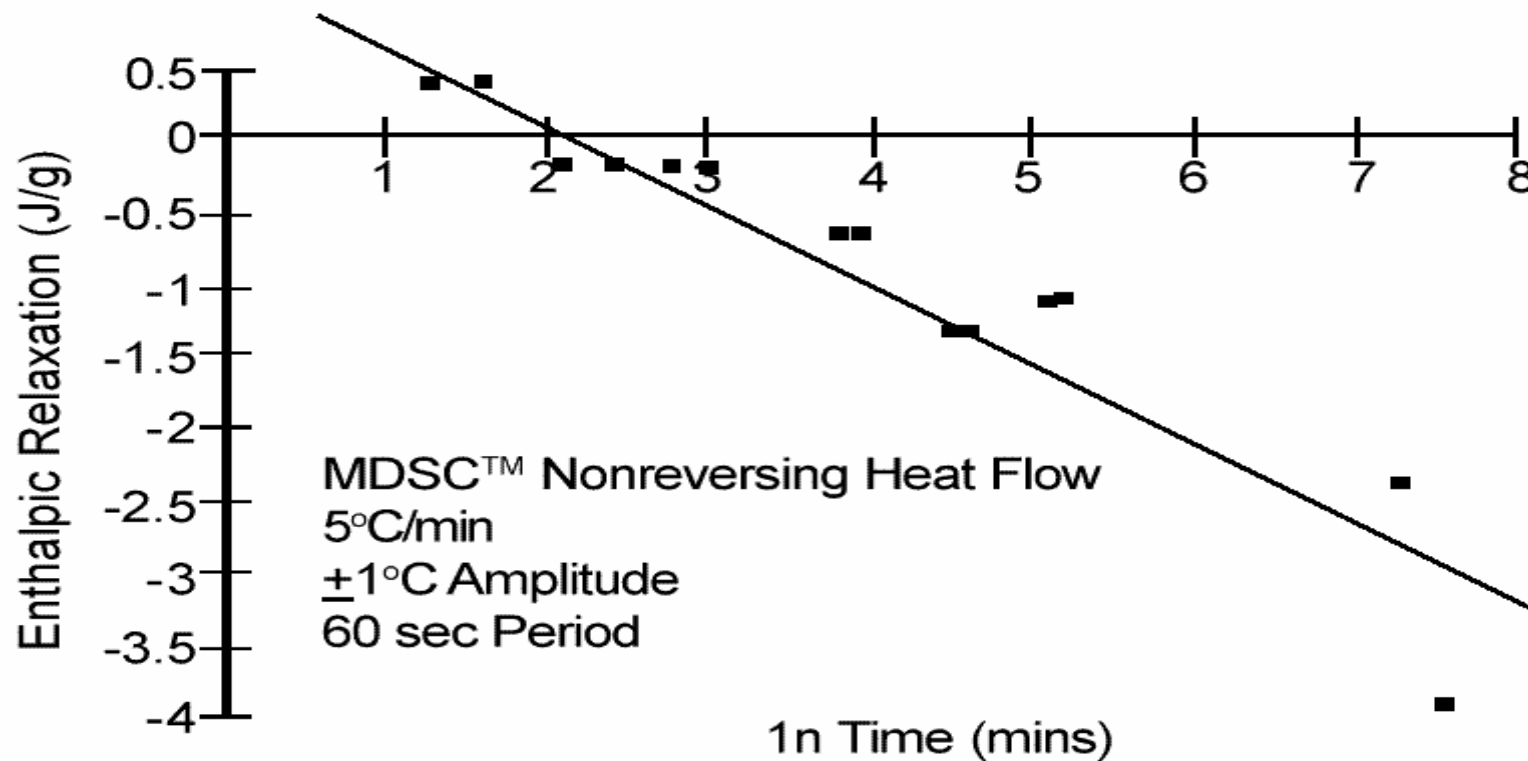


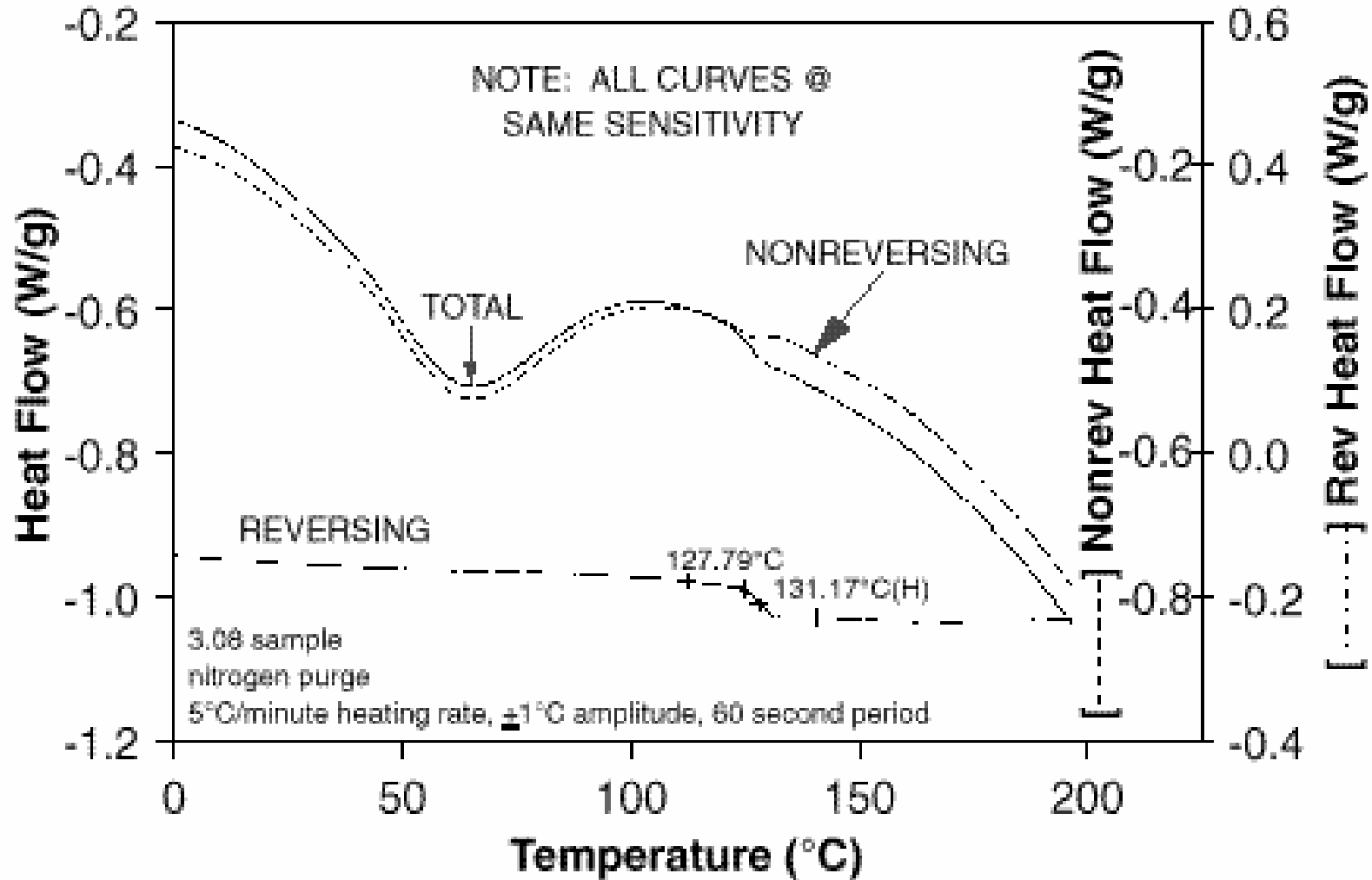
Figure 4. EFFECT OF AGING PET AT 55°C



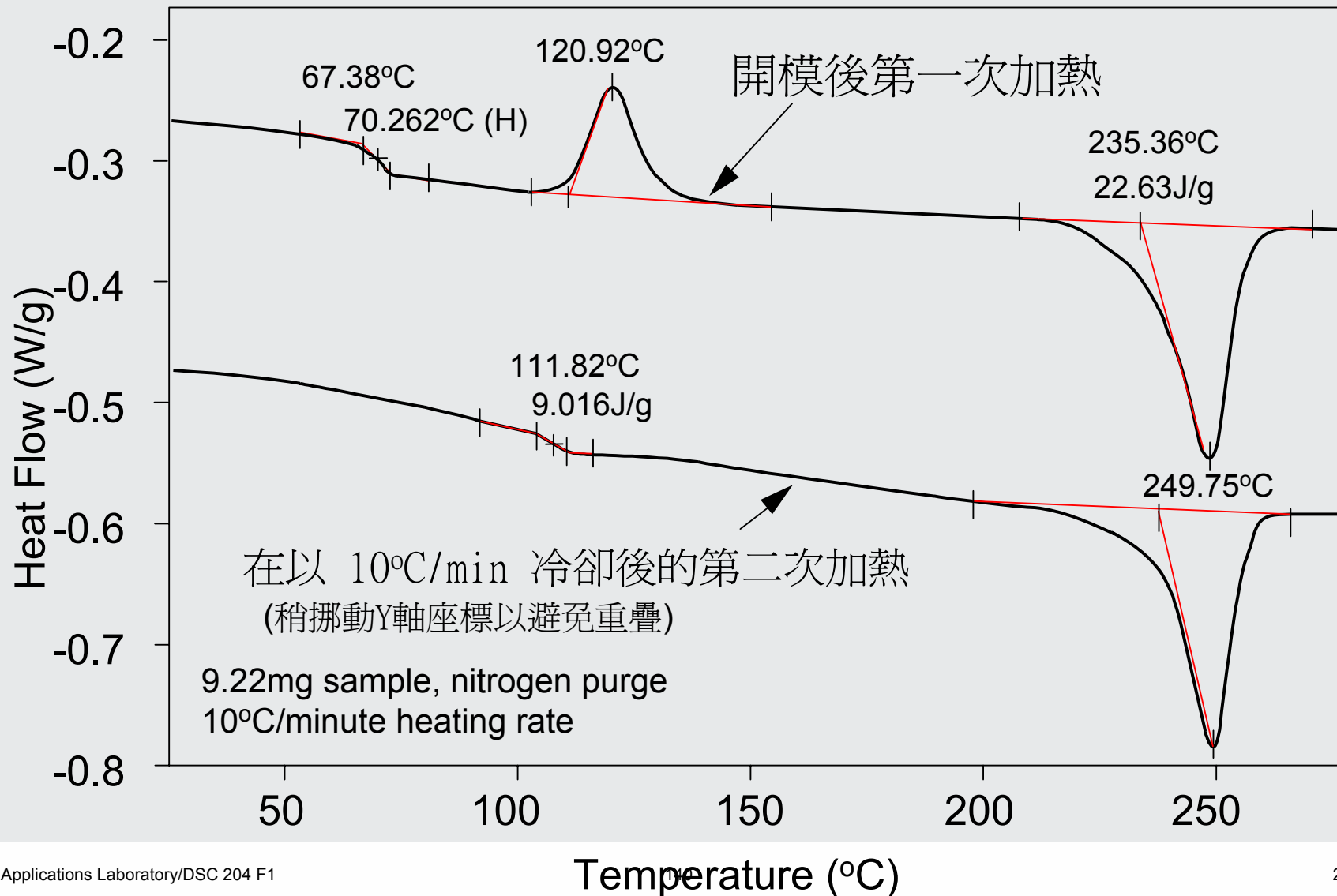
TM-DSC 靈敏度增加-微弱相轉移測試



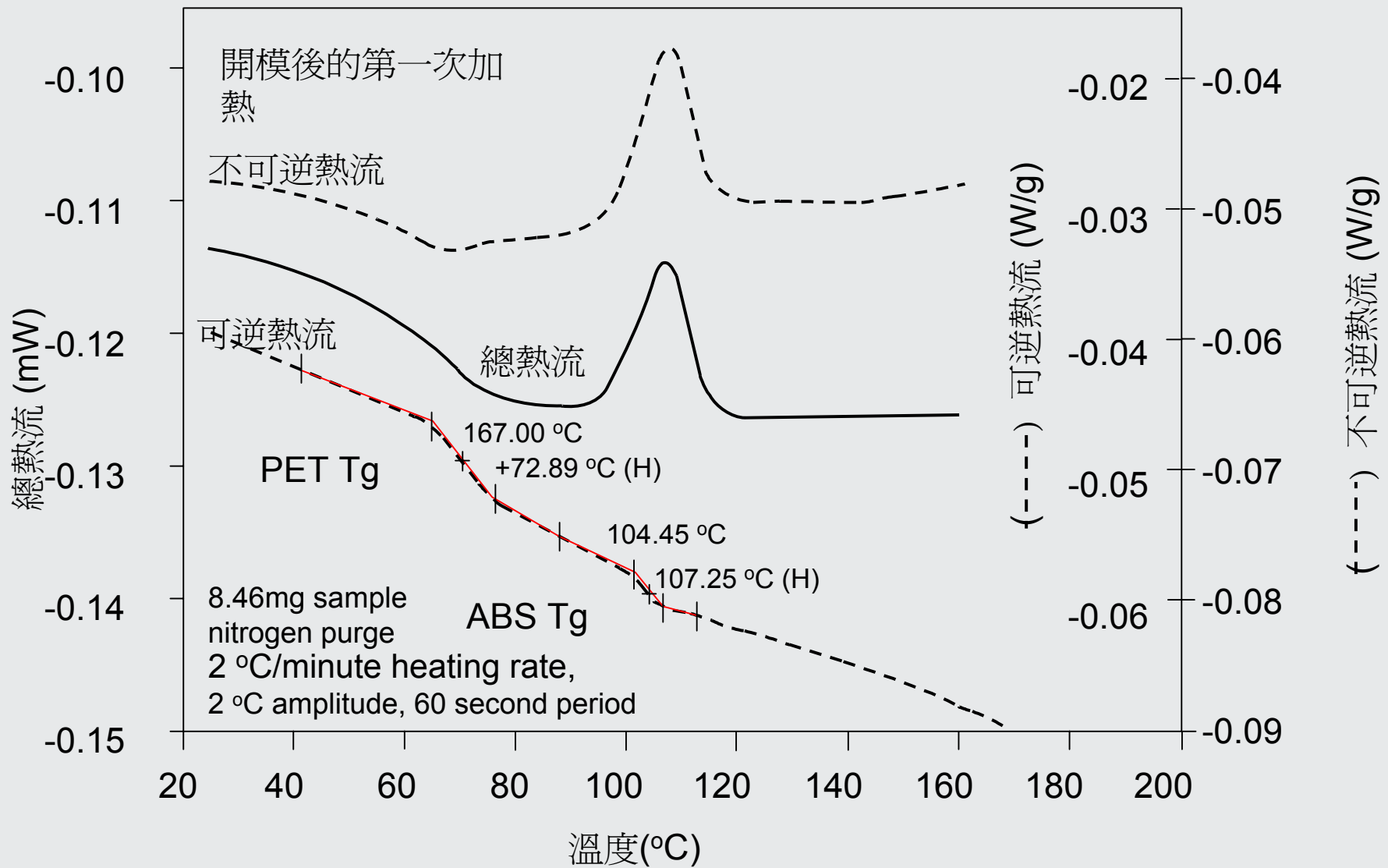
Figure 12. Tg IN POLYMER RESIN



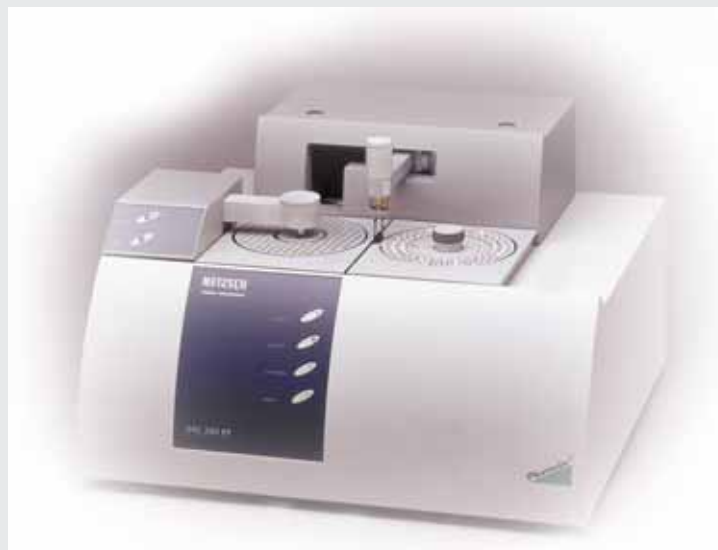
PET/ABS聚攪物 - 傳統DSC的作法



TM-DSC - PET/ABS聚攙物



The DSC 204 *F1 Phoenix* System



Flexible and robust

Optimized gas flow and cooling systems

***Proteus*[®] Software with innovative features**

Compliant with 21 CFR Part 11 (in 04/2006)